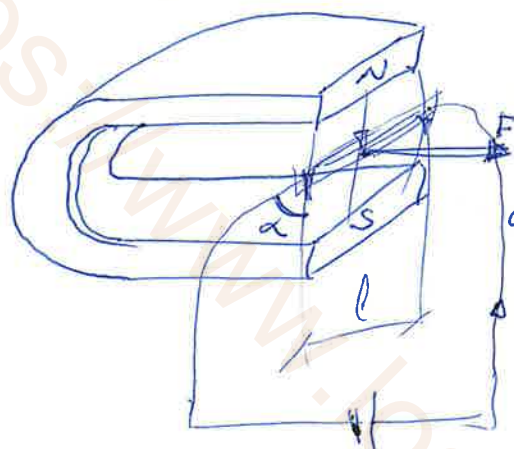


ELECTROTECNIA'

CADA CIERTO TIEMPO PARA APUNTES
en FOTOCOPIA DE LOS TEMAS QUE DÍA
en clase.

- Fuerza electromagnética de Laplace: en clase.
 cuando un conductor de longitud (l) se mueve rectilíneamente con una I cte. y este sumergido en un \vec{B} uniforme experimenta una F. de valor $F = B \cdot l \cdot I \sin\alpha$.

B = cte de proporcionalidad $\propto A$ llana ind. magnet.
 x = el angulo formado entre el conductor y la corriente.

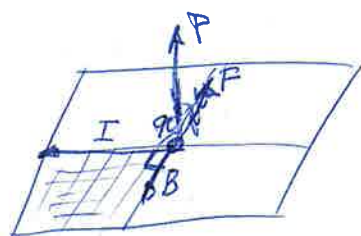


la linea del cap^o magn. van de Norte
a sur

Voy a sumergir un conductor recto, tiene una longitud l.

en neg. ded. se trabaja en
en aug. de 90^a

se va a desplazar entonces la F. de tracción. $F = B \cdot l \cdot I$

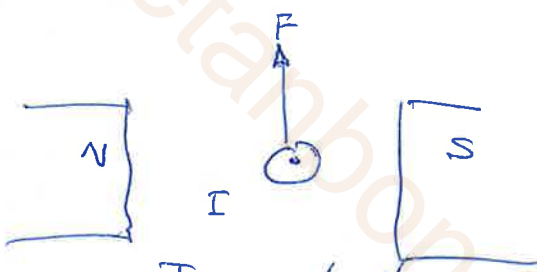
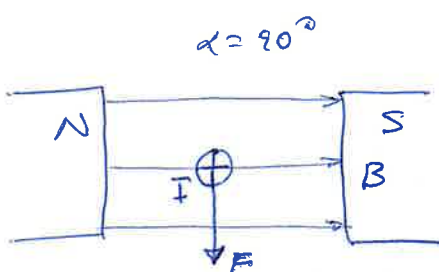


Se f. dedroug. seria normal al plazo.
con la mano izquierda.

medio → sentido de la corriente.

indice → " del campo

pulgur → " " desplazamiento



la corriente $\overset{\downarrow}{F}$ entra en sentido vertical. la J es saliente

también se puede poner en forma vectorial $\vec{F} = I \vec{e} \times \vec{B}$

cuedo $\alpha = 90^\circ$

S.I.

$$B = \frac{F}{EI}$$

$$1T = \frac{1\text{ Newton}}{1\text{ m} \cdot 1\text{ A}}$$

$T =$ cuando un candado de longitud de 1m

Gauss = " " " " " de locas recorridos para una $\vec{F} = 1 \text{ A}$

Se define el coulomb oersted $F = 1 \text{ N}$.

G.S.S

$$1 \text{ Gauss} = \frac{1 \text{ din} \cdot \text{cm}}{10 \text{ cm} \cdot 1 \text{ A}} = \frac{10^{-5} \text{ N}}{10 \cdot 10^{-2} \text{ m} \cdot 1 \text{ A}} = 10^{-4} \frac{1 \text{ N}}{1 \text{ m} \cdot 1 \text{ A}} = 10^{-4} \text{ T} = 10^{-4} \frac{\text{wb}}{\text{m}^2}$$

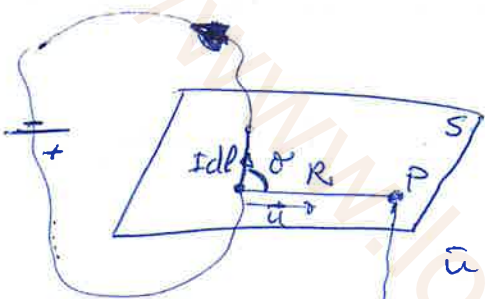
$$1 \text{ Gauss} = 1 \text{ Maxwell/cm}^2$$

Ex) Biot Savart

Si considerar una devorada de corriente.

forma vectorial

$$d\vec{B} = \frac{K}{R^2} I d\ell \perp \vec{u}$$



\vec{u} es un vect. unitario
 $d\vec{B}$ es normal al plano.

forma modular

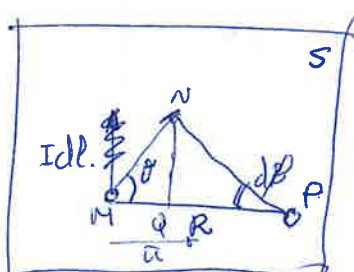
$$dB = \frac{K}{R^2} I d\ell \sin \alpha \quad dB = \frac{K}{R^2} I d\ell \sin \alpha$$

$\alpha = \theta$ es el ángulo form. por el elemento de I y el \vec{u} .

K es un cte de proporcionalidad y depende del medio

$K = \frac{\mu_0}{4\pi}$ μ_0 = permeabilidad magnética en el vacío.

$$\mu_0 = 4\pi \cdot 10^{-7} \left(\frac{N}{A} \right) (\text{SI})$$



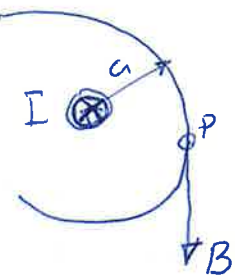
$$NQ = Rd\beta \quad NQ = d\ell \sin \alpha \quad \therefore Rd\beta = d\ell \sin \alpha$$

$$dB = \frac{K}{R^2} I (d\ell \sin \alpha)$$

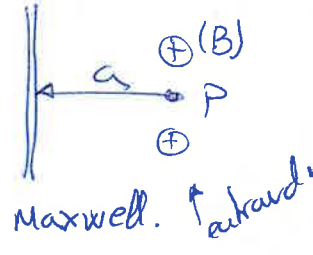
$$dB = \frac{K}{R^2} I d\beta$$

Ind. originado por un conduct. lineal (largo y recto)

$$B = \frac{\mu_0 I}{2\pi a}$$



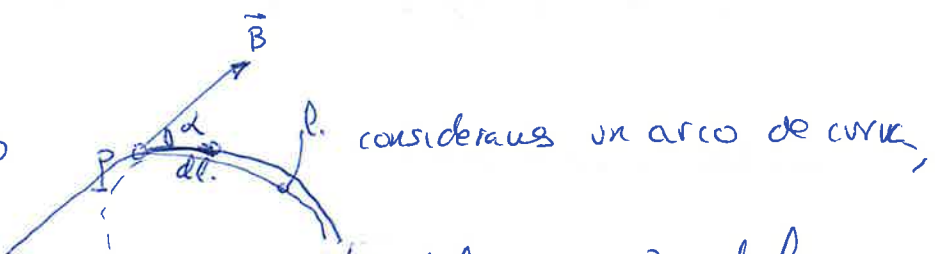
$I \otimes$ entrante



CIRCUITOS MAGNETICOS.

LEY DE AMPERE

punto p en el espacio



l. consideras un arco de curva,

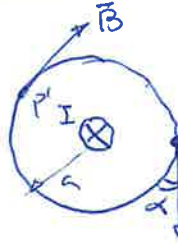
y sobre esa linea consideracion demarcado diferenciales. por def.

$$de = \vec{B} d\vec{l} = B dl \cos \alpha \quad C = \int_0^L \vec{B} d\vec{l}$$

↑ circulación

Si consideras una linea cerrada seria: $C = \int_0^L \vec{B} d\vec{l} = \oint \vec{B} d\vec{l}$

- conductor largo y recto.



: vector inducción
el campo magnético $B = \frac{\mu_0 I}{2\pi a}$

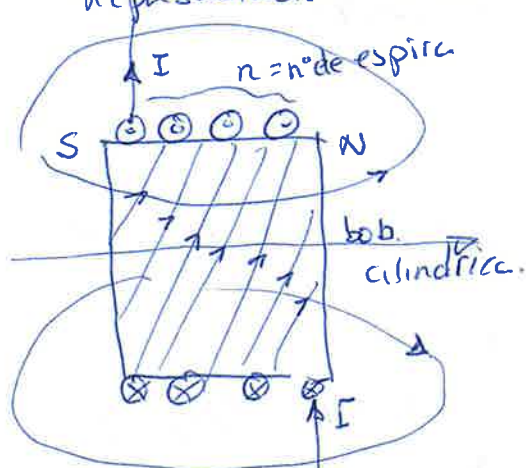
consid. un punto p en la linea de fuerza

el \vec{B} es tg al punto P de esa circunstancia.

$$\oint \vec{B} d\vec{l} = \int B dl = \int_0^{L=2\pi a} \frac{\mu_0 I}{2\pi a} dl = \frac{\mu_0 I}{2\pi a} [l]_0^{2\pi a} = \mu_0 I$$

sí la corriente no varia la $B = \text{cte.}$

Representación de una bobina

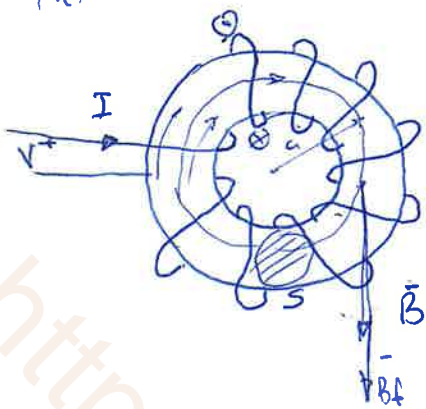


por la ley de Ampere

$$\oint \vec{B} d\vec{l} = \mu_0 n I$$

bobina anular, o toroidal.

(n)



Se distribuye un nº n de espiras sobre el anillo, esta bobina tiene la sección circular la alterante sobre $I = \text{cte}$ y un V . Las parte interior la I es entrante y la exterior saliente.

aplicando la ley de amperes: $\oint \vec{B} d\ell = \oint B d\ell = \mu_0 n I$ ① \Rightarrow

nº de espiras que trae el toroид.

tambien se puede poner

$$\oint B d\ell = B \int_0^{l=2\pi a} dl = B \cdot 2\pi a \quad ② \Rightarrow$$

$$\Rightarrow ① \quad \left\{ \begin{array}{l} B \cdot 2\pi a = \mu_0 n I \\ B = \frac{\mu_0 n I}{2\pi a} \end{array} \right.$$

μ_0 = permavilidad en el vacío.

$$\Rightarrow ② \quad \boxed{B = \frac{\mu_0 n I}{2\pi a}}$$

el vector inducción \vec{B} es tg a la linea media del anillo

Permeabilidad magnética relativa.

con una misma no varia ni la V ni la corriente ni tampoco la geometria de la bobina $B_f = \mu_r B$.

$B_f =$ nueva inducción y es mayor al B .

$$B_f = \mu_r B \rightarrow \mu$$

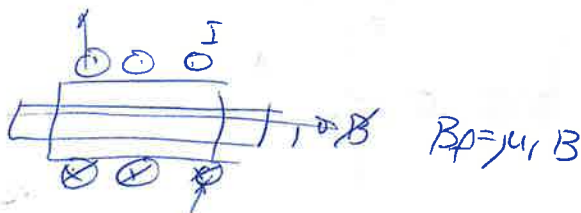
$$B_f = \mu_r \frac{\mu_0 n I}{2\pi a}$$

$$\Rightarrow B_f = \mu_r \frac{n I}{2\pi a}$$

$$\mu = \mu_0 \mu_r \rightarrow \text{perm. relativa del medio}$$

perm.
absoluto permavilidad
del medio del vacío $= 4\pi 10^{-7} \frac{H}{m}$

al introducirle en el anillo un metal entonces en vez de ser B es B_f



INTENSIDAD MAGNETICA: Excitación magnética.

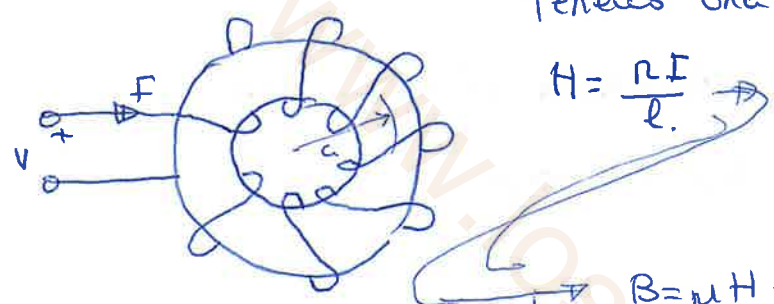
en una bobina toroidal la inducción es $B = \frac{\mu_0 n I}{2\pi a} = \frac{\mu_0 \mu_r n I}{2\pi a}$

dividir con μ los dos miembros de la ecuación

$$\frac{B}{\mu} = \frac{n I}{2\pi a} = H \quad \text{esta nueva mag. se le llama } H = \text{excit. magnética.}$$

$$B = \mu H = \mu_0 \mu_r H$$

Tenes una bobina de n espiras



$$H = \frac{n I}{l}$$

si supones que el núcleo de la bobina es el aire aparecerá una inducción

$$B = \mu H = \mu_0 \mu_r H \xrightarrow{\mu_r(1)} B_{air} = \mu_0 H \text{ (aire)}$$

considerando núcleo ferromagnético.

$$B_f = \mu H = \mu_0 \mu_r H \quad (\text{núcleo ferromagnético})$$

núcleo ferromagnético \Rightarrow que el del aire.

Imagnéticas

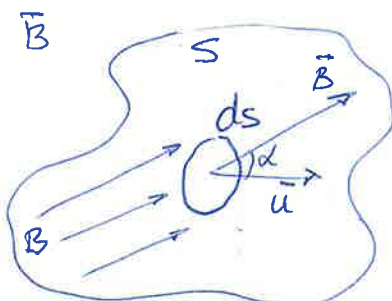
FLUJO MAGNÉTICO DE UN VECTOR

$$F = BlI \quad B = \frac{F}{lI}$$

Fuerza
electromag.

$$B \propto \frac{N}{mA} = \frac{Nm}{m^2 A} = \frac{J}{m^2 A} = \frac{VAs}{m^2 A} = \frac{Vs}{m^2}$$

El flujo del vector \vec{B} a través de una superficie viene dado como el producto de la densidad magnét. por la superficie



considerando una superf. ds , sea B el flujo de inducción, el flujo que atraviesa esa superf. elemental es:

$$d\phi = \vec{B} \cdot d\vec{s} = B \vec{u} \cdot d\vec{s} = B u d s \cos \alpha = B d s \cos \alpha$$

$$\phi = \iint_S \vec{B} \cdot d\vec{s}$$

Integral de
superf.

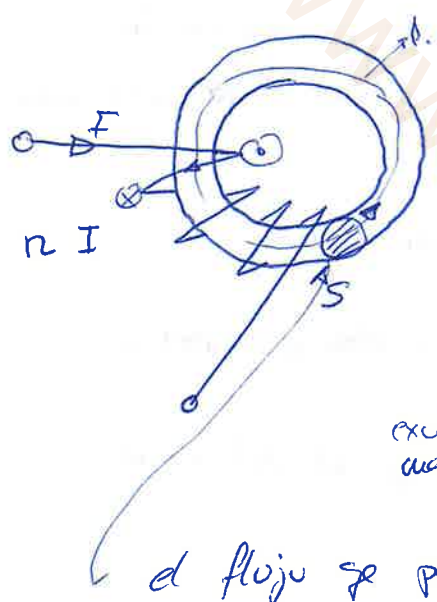
S.I. WEBER: el nº de líneas se atraviesa una superf. de un metro cuadrado situada a los lados de un campo de inducción de ~~sección~~

$$\text{c.s. } L_{\text{Maxwell}} = 1 \text{ Mx} = 1 \text{ Gaus} \cdot 1 \text{ cm}^2 = 10^{-4} \text{ T} \cdot 10^{-4} \text{ m}^2 = 10^{-4} \frac{\text{wb}}{\text{m}^2} \cdot 10^{-4} \text{ m}^2 = \\ = 10^{-8} \text{ wb}$$

Weber

CIRCUITO MAGNETICO.

considerar una bobina anular o toroidal.



todos están centralizados en el núcleo magn.

aplicando la ley de Ampere:

$$Hl = nI$$

$$H = \frac{nI}{l} \rightarrow B = \mu H = \frac{nI}{l} \Rightarrow$$

existencia
mag

d flujo se pasa por esa superficie $B = \frac{\Phi}{S}$

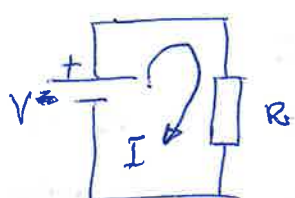
$$\Rightarrow \frac{\Phi}{S} = \frac{\mu n I}{l} \quad \Phi = \frac{\mu n I S}{l} = \frac{n I}{l / \mu_0 \mu_m S}$$

$$\underline{\Phi} = \frac{F}{R_m}$$

$F = \pi B I =$ Fuerza electromotriz

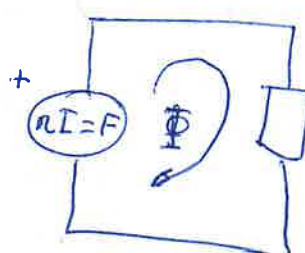
$$R_m = \frac{l}{\mu_0 \mu_s S} =$$
 Reductancia magnética.

l = hilo de constatar.
 l = resistividad de material



$$I = \frac{V}{R}$$

CIRC.
ELÉCTRICO



CIRCUITO
MAGNET.

$$R = l \frac{1}{\gamma S}$$

γ = permeab. eléctrica.

Diferencias en el circuito eléctrico $\gamma = \text{constante}$
cic. " " " magnético $\mu = \text{no constante}$.

$F = \text{Amperios} \cdot \text{vueltos}$.

$$H = \frac{nF}{l}$$

S.I. $\frac{\text{Amperios} \cdot \text{vuelto}}{m \text{ metros}}$
C.G.S $\frac{A \cdot \text{vuelto}}{cm.}$

$$R_m = \frac{l}{\mu s} \quad R \propto H^{-1}$$

$$R_m \propto \frac{m}{H \cdot m^2} = \frac{1}{H}$$

C.G.S

$$R_m = \frac{nI}{\Phi} \quad R_m \propto \frac{\text{Amperes}}{Mx}$$

Maxwell.

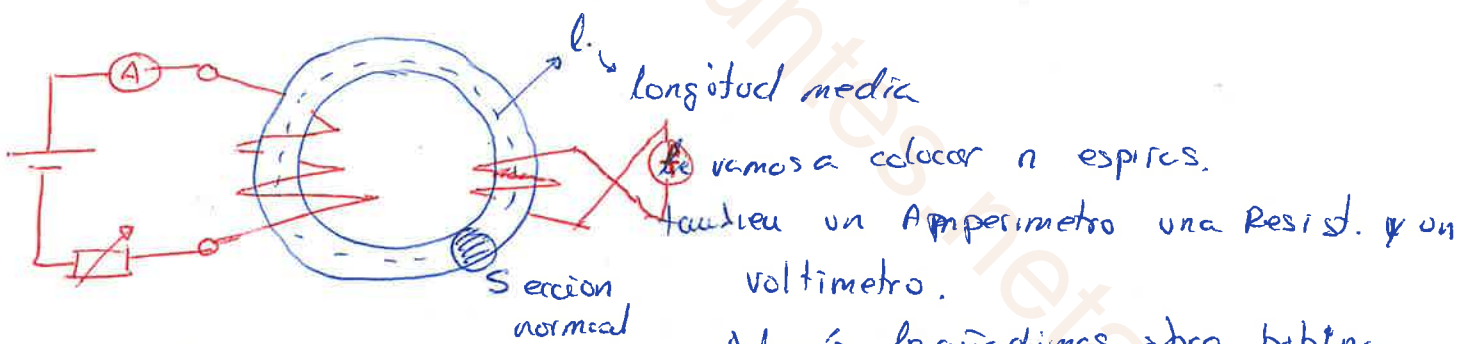
PARKER CAPIT. 3. (AMPO MAGNETICO)
FUERZA MAG.

CURVAS DE IMANACION

es la que va la excitación magnética de ese material.

la inducción $B = \mu_0 \mu_r H$.

se da normalmente en forma de anillo.



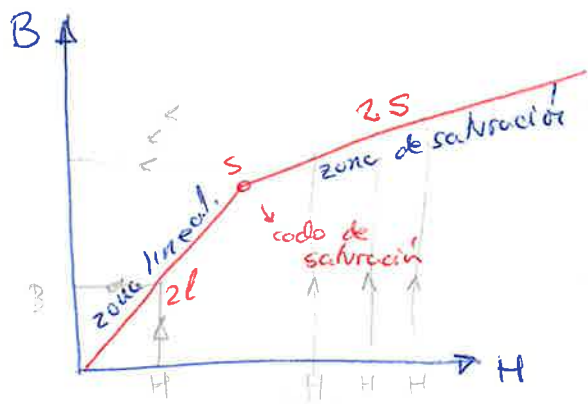
Además le añadimos otra bobina.

- Amperímetro : las variaciones de flujo se cruzan con el de banado que va conectado

$$\Phi = \boxed{B} \frac{Wb}{m^2}$$

si el flujo lo corta por S obtenemos la B $\Phi \times S = B$

$$I \cdot \frac{n}{l} = \boxed{H} \frac{A \cdot \text{vuelto}}{m}$$



$$\mu_r = \frac{B}{\mu_0 H}$$

permabilidad
relativa.

$$\mu_0 = 4\pi \cdot 10^{-7} \text{ Henrys}/\text{m}$$

$$\mu_0 = 4\pi \cdot 10^{-1} \frac{\text{Gcm}}{\text{A}} (\text{CGS})$$

el $\frac{B}{\mu_0 H} \rightarrow$ alto valor $\rightarrow \mu_r = \text{alto valor.}$

zona de saturación 2S $\frac{B}{\mu_0 H} = \text{bajo valor} \rightarrow \mu_r = \text{bajo valor.}$

AGRUPAMIENTOS DE REDUCTANCIAS EN SERIE

circuitos magnéticos de 3 elementos montados en serie.

caso 1: elemento 1:

consid. la long. media de l_1 .

" la μ_r de ese elemento.

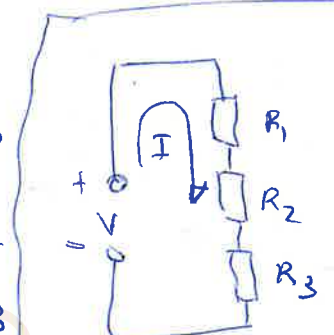
tiene n espiras y este recorrido por una

corr. de inducción I

$$nI = \phi [R_1 + R_2 + R_3] \Rightarrow$$

la reductancia va da lugar a un ϕ en la long. media de l_1 . $\Phi R_1 + \Phi R_2 + \Phi R_3 = V_1 + V_2 + V_3$

$$= \phi \left[\frac{l_1}{\mu_0 \mu_{r_1}(S_1)} + \frac{l_2}{\mu_0 \mu_{r_2}(S_2)} + \frac{l_3}{\mu_0 \mu_{r_3}(S_3)} \right] \Rightarrow$$



$$V = I(R_1 + R_2 + R_3)$$

$$V = V_1 + V_2 + V_3$$

$$B_1 = \frac{\phi}{S_1}$$

$$B_2 = \frac{\phi}{S_2}$$

$$B_3 = \frac{\phi}{S_3}$$

inducción del
primer
elemento

inducción
2º elem

inducción
3º elem.

$$\frac{H_1}{\mu_0 \mu_{r_1}} = \frac{B_1 l_1}{\mu_0 \mu_{r_1}}$$

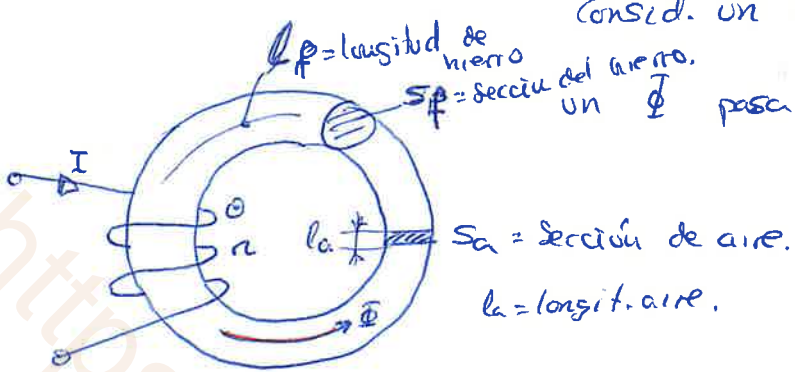
$$\frac{H_2}{\mu_0 \mu_{r_2}} = \frac{B_2 l_2}{\mu_0 \mu_{r_2}}$$

$$\frac{H_3}{\mu_0 \mu_{r_3}} = \frac{B_3 l_3}{\mu_0 \mu_{r_3}}$$

$$\frac{V_1}{l_1} + \frac{V_2}{l_2} + \frac{V_3}{l_3} = H_1 l_1 + H_2 l_2 + H_3 l_3 = V_1 + V_2 + V_3 = A V_1 + A V_2 + A V_3$$

amperio vuelta 1 + Amperio vuelta 2 - -

ENTREIERRRO



consid. un nucleo ferromagnético.

un Φ pasa por el nulo ferromagn.

$S_a = \text{sección de aire.}$

$l_a = \text{longit. aire.}$

$$n I = \Phi [R_a + R_f] = \Phi \left[\frac{l_a}{\mu_0 (1) S_a} + \frac{l_f}{\mu_0 \mu_{eff} S_f} \right] = \frac{\Phi}{S} \left[\frac{l_a}{\mu_0} + \frac{l_f}{\mu_0 \mu_{eff}} \right] =$$

como $S_a = S_f = S$

$H_f = \text{excitación del hierro}$

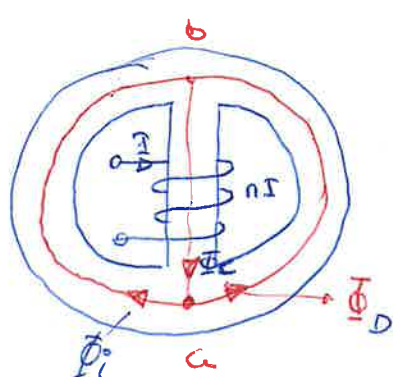
$$= \frac{B}{\mu_0} l_a + \frac{B}{\mu_0 \mu_r} l_f = H_a l_a + H_f l_f = A V_a + A V_f$$

amperio + Amperio vuelta
vuelta aire hierro,

como

$$A V_a > A V_f \Rightarrow n I \approx A V_a$$

AGRUP. DE REDUCTANCIAS EN PARALELO.



consid. una bobina toroidal.

$$\begin{cases} V_{ab} = R_i \phi_i = R_d \phi_d \\ \phi_c = \phi_i + \phi_d \end{cases}$$

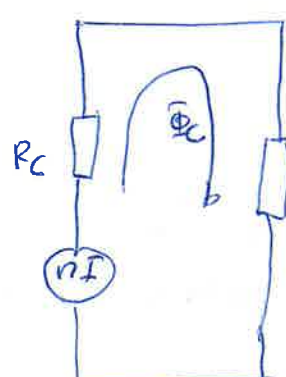
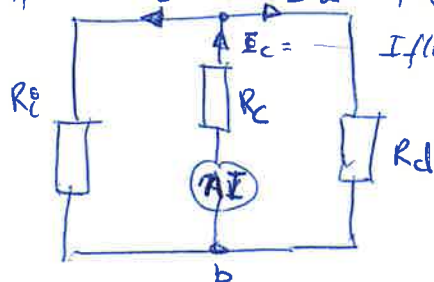
$$\phi_c = V_{ab} \left[\frac{1}{R_i} + \frac{1}{R_d} \right] = V_{ab} \left[\frac{R_i + R_d}{R_i R_d} \right] =$$

$$= \frac{V_{ab}}{R_{id}}$$

$$R_{id} = \frac{R_i R_d}{R_i + R_d}$$

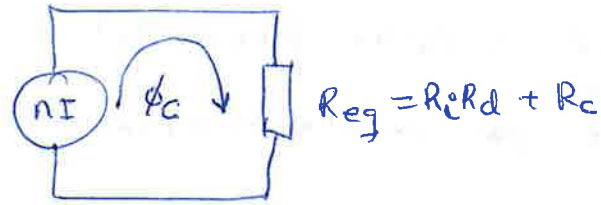
fluo izquierdo = Φ_i a Φ_d = flujo derecho

$E_c = - I / \text{flujo central.}$



$$R_i R_d = \frac{R_i R_d}{R_i + R_d}$$

$$nI = \phi_c [R_c + R_i R_d] \quad nI = \phi_c R_{\text{equiv.}}$$

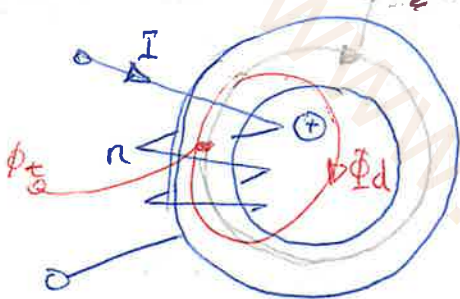


FUERZAS MAGNETICAS.

Φ_d = flujo de dispersión.

Φ_e = flujo común.

Φ_t = flujo total



$$\Phi_t = \Phi + \Phi_d.$$

$$\Phi_t = \Phi \left[1 + \frac{\Phi_d}{\Phi} \right] = V \cdot \Phi$$

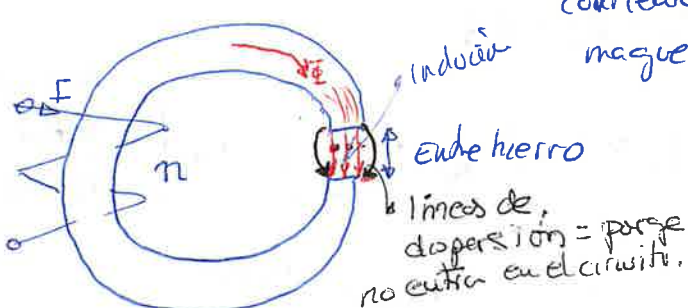
$$\Phi_t = V \cdot \Phi$$

$$V = 1 + \frac{\Phi_d}{\Phi} = \text{coef. Hopkinson}$$

el coef Hopkinson $\frac{\Phi_d}{\Phi} > 1$

Método práctico de cálculo de un circuito magnético.

En el diseño de mag. eléctricos se presenta este problema: terminar la corriente inducida, traer una inducción magnética en el entrehierro (B_a)



B_a = ind. magnét. entreh.

S_a = sección entrehierro

l_a = long. entreh.

V = coef. Hopkinson

S_f = sección núcleo ferromagn.

l_f = long. núcleo "

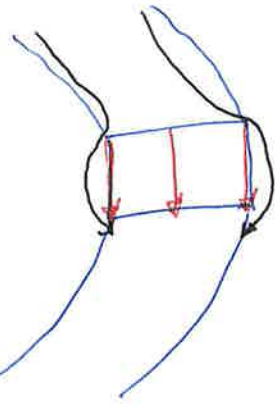
H_a = excit. magnét. entrehierro

$$H_a = \frac{B_a}{\mu_0 \cdot S_a \cdot l_a}$$

$$V_a = H_a l_a$$

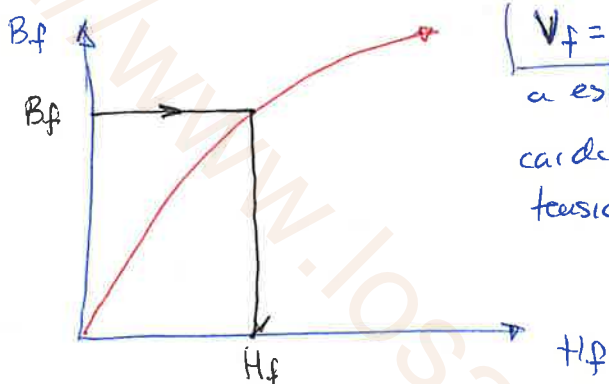
$$V = \frac{\text{flujo de entrehierro}}{\text{flujo nádeas ferromagn.}} = \frac{\Phi_e}{\Phi_a}$$

coef. Hopkinson



$\Phi_f > \Phi_a$
el coef de Hopkison es > a la unidad.

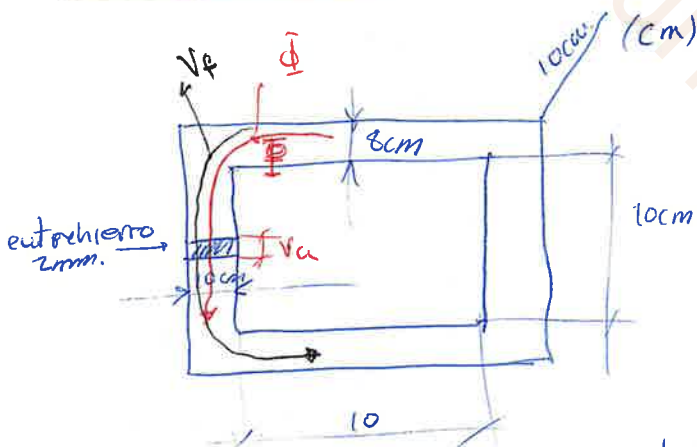
$$V = \frac{\Phi_f}{\Phi_a} = \frac{B_f \cdot S_f}{B_a \cdot S_a} \Rightarrow B_f = \frac{B_a S_a V}{S_f}$$



$V_f = H_f B_f$ La F. eletch total aplicado a este circuito electrováutico es igual a la caida de tensión del entrehierro + la caida de tensión del nucleo.

$$nI = \sum V = V_a + V_f$$

CAPITULO 3. PROBLEMA 9.



¿ Ha existido magnetismo en el entrehierro?

$$H_a = \frac{B_a}{\mu_0} = \frac{0.8}{4\pi \cdot 10^{-7}} = 636.620 \text{ A.U. vueltas/m.}$$

$$V_a = H_a l_a = (636.620) \cdot (2 \times 10^{-3}) = 1273 \text{ A.vueltas}$$

La reactancia del entrehierro = a la del aire. $\phi_a = \phi_f$

$$B_a = B_f \Rightarrow B_f = 0.8 \text{ Wb/cm}^2$$

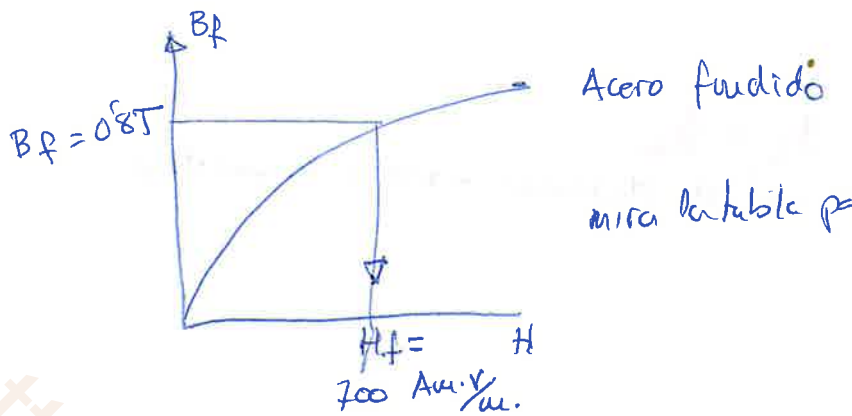
un electrováut de acero $l_a = 2\text{mm}$.

$$l_f = B_a c_a$$

$$\text{Hallar el n.º A vueltas necesarios para bajar una } B_a = 8000 \text{ lineas/cm}^2 = 8000 \text{ GAUSS} \\ = 8000 \text{ Mx/cm}^2 = 0.8 \text{ wb/cm}^2 = \\ = 0.8 \text{ T}$$

$$V = 1 \text{ coef. Hopkison.}$$

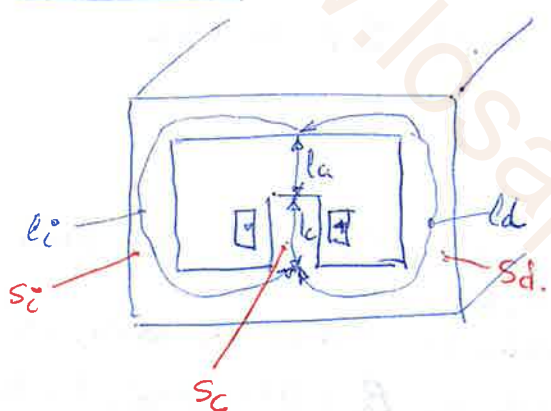
$V_f = \text{caida de tensión en el núcleo ferromagnético}$



$$H_f = H_f \cdot l_f = (200) (30 \cdot 10^{-2}) = 210 \text{ A.vueltas}$$

$$n I = V_a + V_f = 1273 + 210 = 1483 \text{ Amperes vueltas}$$

PROBLEMA



Def. la corriente inducida I en las 400 espiras de la bobina para obtener un Φ en el entierro de $500 \mu\text{Wb}$. La longitud del entierro es un l_m .

$$(I) \quad 400 = n^{\circ} \text{ espiras}$$

$$\Phi_a = 500 \mu\text{Wb}$$

$$l_m = 1 \text{ cm},$$

$$l_i = l_d = 30 \text{ cm}$$

$$S_i = S_d = 5 \text{ cm}^2$$

$$S_c = 6 \text{ cm}^2 \quad S_a = 6 \text{ cm}^2$$

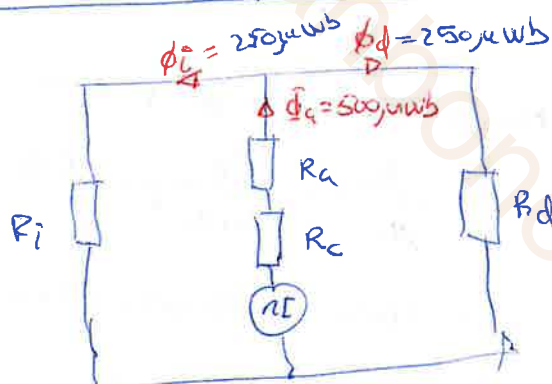
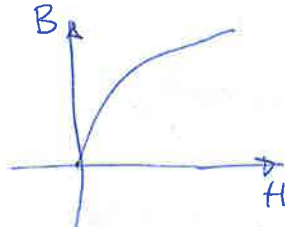
$V = \frac{1}{2}$
circuitos eléctricos equivalentes al magnético

polo Ecuación de FROELICH

$$B = \frac{a + H}{b + H}$$

$$a = 1.5 \text{ wb/m}^2$$

$$b = 100 \text{ A.vu./m}$$



$$\bullet \quad B_a = \frac{\Phi_a}{S_a} = \frac{500 \times 10^{-6}}{6 \times 10^{-4}} = 0.833 \text{ wb/cm}^2$$

$$\bullet \quad H_c = \frac{B_a}{\mu_0 M_z} = \frac{0.833}{4 \pi 10^{-7}} = 663.1456 \text{ A.vueltas/cm}$$

$L_{(1)}$

Como es simétrico $\phi_i = \phi_d = 2500 \mu\text{Wb}$

$$V_a = H_a l_a = (6631456) (1 \cdot 10^{-3}) = \underline{\underline{663 \text{ Amp. vueltas.}}}$$

caídas
de tensión
en el eje hierro

$$B_c = \frac{\phi_a}{S_c} = \underline{\underline{0'833 \text{ Wb/m}^2}}$$

$$B_c = \frac{aH_c}{b+H_c} = \frac{1'5H_c}{100+H_c} \quad 0'833 = \frac{1'5H_c}{100+H_c} \quad H_c = \underline{\underline{100 \text{ Amper/m.}}}$$

$$\boxed{V_c = H_c l_c = (100) (10 \cdot 10^{-2}) = \underline{\underline{10 \text{ Amp. vueltas.}}}}$$

$$\phi_i = 250 \mu \text{Wb}$$

$$B_i = \frac{\phi_i}{S_i} = \frac{250 \cdot 10^{-6}}{5 \cdot 10^{-4}} = 0'5 \text{ Wb/m}^2$$

se cumple la corriente
y se procede a calcular mediante
la fórmula de PROECKLE.

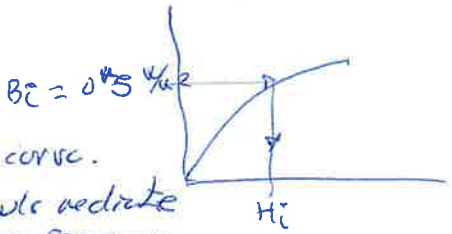
$$B_i = \frac{1'5 H_i}{100 + H_i} \Rightarrow H_i = 50 \text{ A.vuel./m.}$$

$$V_i = H_i l_i = (50)(30 \cdot 10^{-2}) = \underline{\underline{15 \text{ Amp. vueltas.}}}$$

la rama izquierda y la
derecha son iguales ya que
los datos son simétricos

$$\sum \text{Amp. vueltas} = V_a + V_c + V_i = 663 + 10 + 15 = 688 \text{ AV} = nI$$

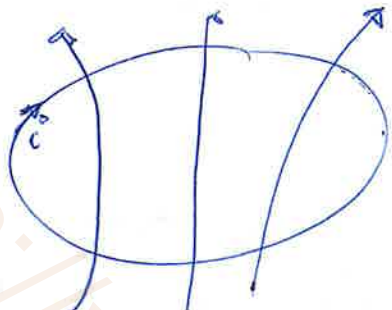
$$688 = 400 \cdot I \quad \boxed{I = 1'7 \text{ A}}$$



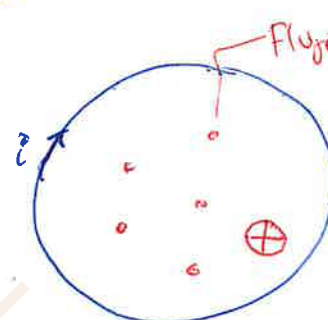
LEY LENZ PARADAY.

Un flujo variable atraviesa un circuito cerrado aparece una corriente. Es debido a que aparece una fuerza electromotriz.

La F electromotriz es proporcional $e = \frac{d\phi}{dt}$



Supongamos que espira si trae en el plano. Supongamos que las líneas son salientes del plano de la pizarra.



Aparece una corriente i origina mas líneas de campo entrando al plano de la pizarra. Este se opone al crecimiento.

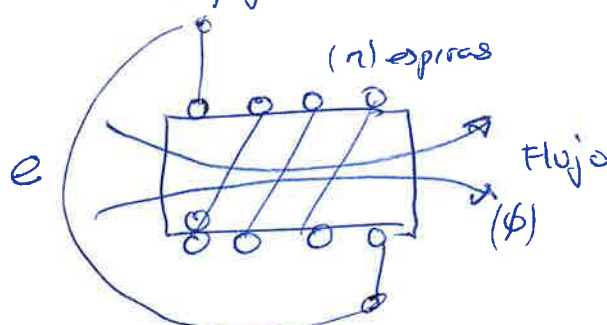


el sentido de i sera el contrario. Origina mas líneas campo salientes del plano de la pizarra. Se opone al decrecimiento.

$$e = -\frac{d\phi}{dt}$$

fuerza electromotriz

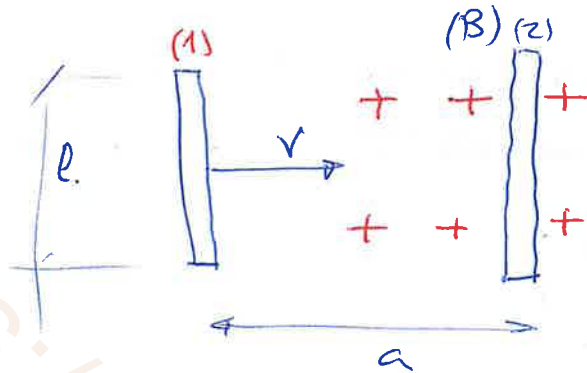
El ~~í~~ ~~í~~ este concatenado n veces con un flujo



$$e = -n \frac{d\phi}{dt}.$$

Fuerza ELECTROMOTRIZ DE TRASLACIÓN

considérese un conductor de longitud l , desplazándose normalmente y con velocidad v y un campo magnético de inducción B



El conduct. se desplace normalmente
a los líneas del campo

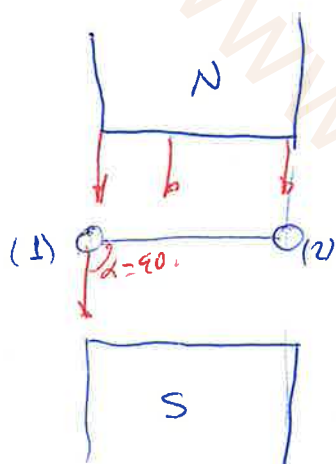
$$s = a \cdot l$$

$$\phi = B \cdot S = B \cdot a \cdot l$$

$$e = -\frac{d\phi}{dt} = -\frac{d}{dt} B \cdot a \cdot l = -Bl \frac{da}{dt} = \cancel{-Bl \frac{dv}{dt}}$$

fuerte
electromotriz

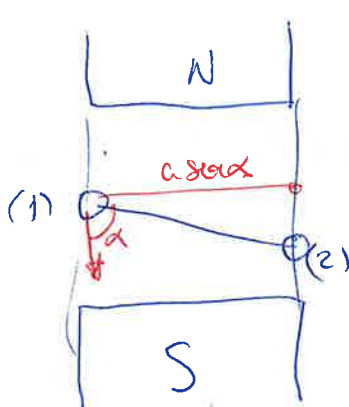
$$= \boxed{-Bl \cdot v}$$



Tenemos un campo inducido,

el conductor pasa de la posición (1) a la posición (2)

(2) entre las líneas con el desplaz. forman
un ángulo de 90° $\alpha = 90^\circ$
pero esto no ocurre siempre.



el conductor pasa de la posición (1) a la posición (2)

$$s = l \sin \alpha$$

$$\phi = BS = Bl \sin \alpha$$

$$e = -\frac{d\phi}{dt} = -Bl \sin \alpha \frac{ds}{dt} = -Bl V \sin \alpha$$

expresión vectorial de la F. electromotriz de traslación.

Una carga elemental dq se desplaza a velocidad \vec{v} en un campo magnético uniforme \vec{B} , y un elemento de corriente Idl .

$dq = Idt \Rightarrow$ la carga elemental transportada por I
 $dl = v \cdot dt \Rightarrow$ espacio de recorrido por (dq) en (dt)

$$dq = I \frac{dl}{dt} \rightarrow \boxed{Vdq = Idl.}$$

$$\bar{V}dq = I \bar{dl}$$

La fuerza electromagnética de Lapeyre

$$d\bar{F} = Idl \wedge \vec{B}$$

$$\boxed{d\bar{F} = \bar{V}dq \wedge \vec{B}}$$

Cuando una carga Q de valor grande se desplace por un campo magnético

$$\vec{B} \text{ sin } \bar{F} = \rho \bar{V} \wedge \vec{B} = \rho [\bar{V} \wedge \vec{B}]$$

$$\bar{E} = \frac{\bar{F}}{Q} = \bar{V} \wedge \vec{B}$$

Consideremos un elemento diferencial del conductor elemental.

$$de = \bar{E} dl$$

$$e = \int_0^l de = \int_0^l \bar{E} dl = \int_0^l (\bar{V} \wedge \vec{B}) dl = (\bar{V} \wedge \vec{B}) l.$$

Aplicamos la regla de Flemings.

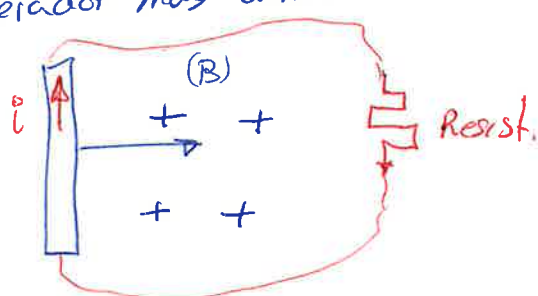
con la mano derecha:

medio \rightarrow sentido de la corriente

indice \rightarrow " del campo.

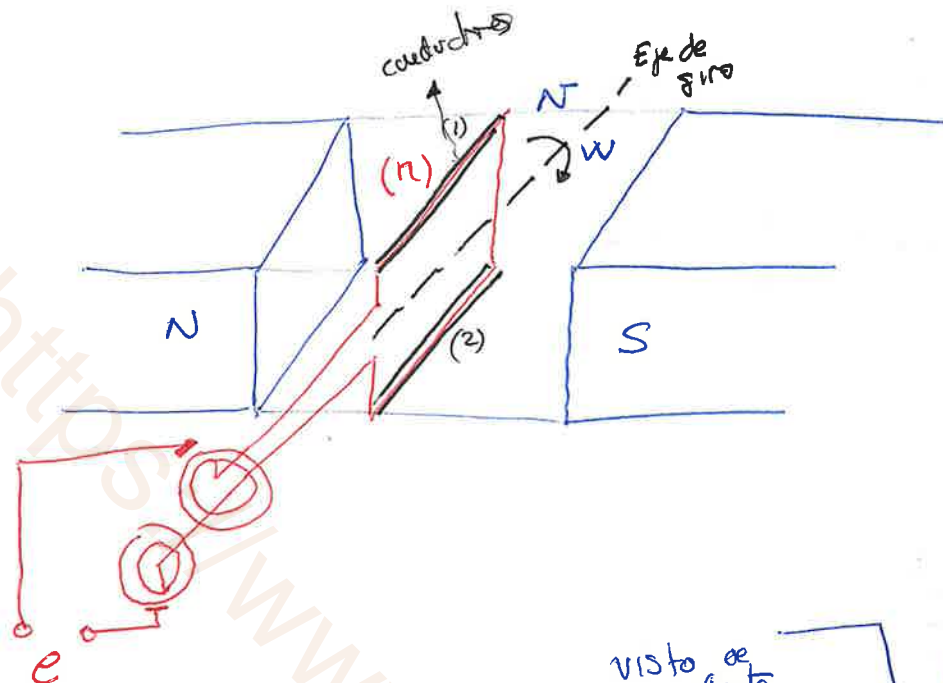
pulgar \rightarrow sentido del desplazamiento

generador mas elemental.



La corriente sale del conductor.

ALTERNADOR ELEMENTAL.



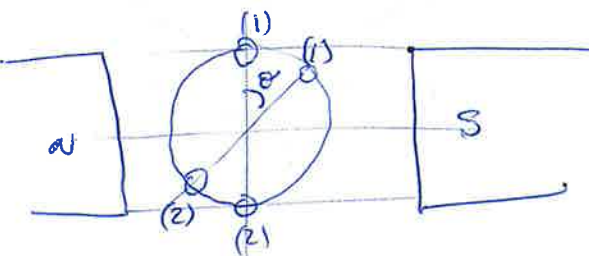
Dentro de ese cuadro voy a introducir una bobina giratoria.

Será la espira giro dentro del cuadro magnético

$$W = \frac{\text{Rad}}{\text{s}}$$

$$N = \text{RPS}$$

$$\text{t} = \text{O}$$



los conductores no cortan las líneas de fuerza

$$\text{Posición original } \phi_{mx} = BS$$

$$\text{tras un cierto tiempo } \phi = \phi_{mx} \cos \theta$$

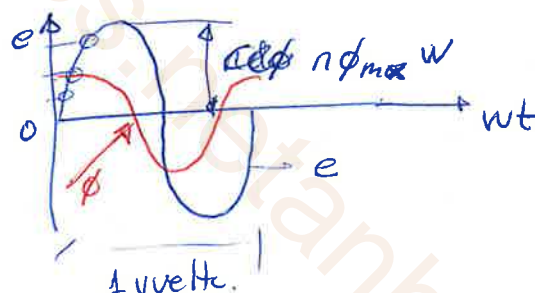
$$e = -n \frac{d\phi}{dt} = -n \frac{d}{dt} \phi_{mx} \cos \theta$$

$$\theta = \omega t$$

$$e = -n \phi_{mx} \frac{d}{dt} \cos \omega t$$

$$e = n \phi_{mx} W \sin \omega t$$

$$e = E_{max} \sin \omega t$$



$$\boxed{E_{ef} = E = \frac{E_{max}}{\sqrt{2}} = \frac{n \phi_{mx} W}{\sqrt{2}} = \frac{n \phi_{mx} \cdot 2\pi N}{\sqrt{2}} = \frac{444 n \phi_{mx} N}{\sqrt{2}}}$$

valor efectivo

$(W) = 2\pi N$

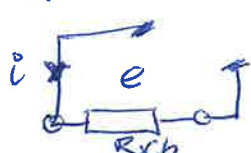
revoluciones
por segundo

el flujo va adelantando 90° sobre la fuerza electromotriz

Si colocamos un voltímetro en e nos va a indicar E_{ef} (valor efectivo)

en vez de colocar un voltímetro le colocas una resistencia

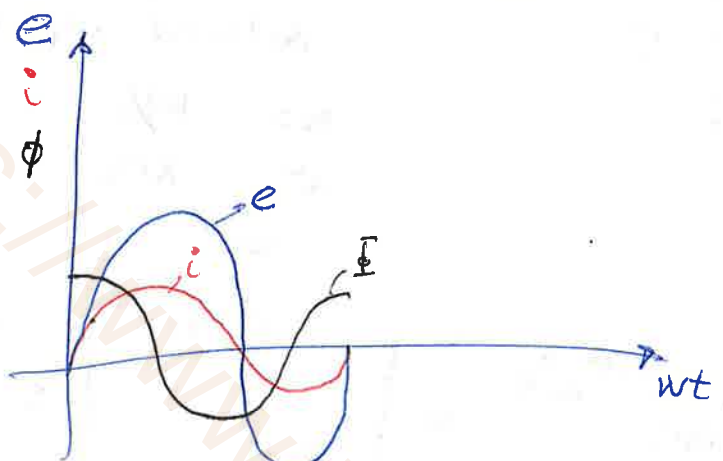
$$\text{aparecerá una corriente } i = \frac{e}{Rch}$$



La dif. de potencial entre los escobillas es fuerza electromotriz

$$i = \frac{E}{R_{ch}} = \frac{V}{R_{ch}} = \left(\frac{E_{mx}}{R_{ch}} \right) \sin \omega t = I_{mx} \sin \omega t$$

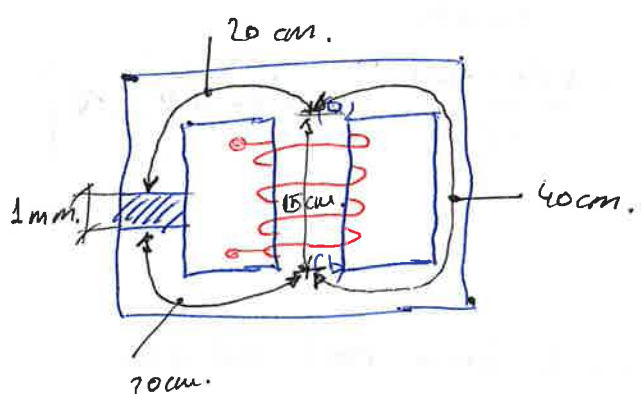
$$I_{mx} = \frac{E_{mx}}{R_{ch}} = \sqrt{Z} \cdot I$$



- Libro Hamill de problemas. La parte de maquinas. (continua, alterna)
 - Problemas de Ingeniería eléctrica.
 - Materias

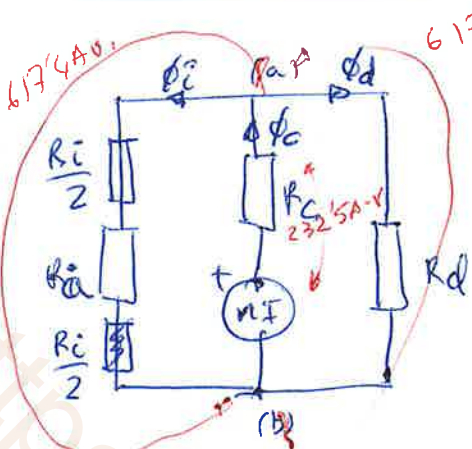
Problema del libro Hamill

Las sección recta de los nucleos laterales del co-negativo de la fig. es de 20 cm^2 y la central de 15 cm^2 , arrojado al núcleo central se encuentra una bobina de 600 espiras $n=500\text{ espr}$. despreciando la dispersión del flujo. Calcula la I necesaria para producir en el eartchierro un flujo de $\phi_a = 625\mu\text{wb}$.



$$B = \frac{1.5 \text{ H}}{100 + H}$$

Circuito eléctrico



$$\text{autotransf.}$$

$$B_a = \frac{\phi_a}{S_a} = \frac{625 \cdot 10^{-6}}{10 \cdot 10^{-4}} = 0'625 \text{ wb/u}^2$$

$$H_a = \frac{B_a}{\mu_0 j_{a\text{real}}} = \frac{0'625}{4 \pi \cdot 10^{-7}} = 497359 \text{ Amp. vueltas/u.}$$

$$V_a = H_a \cdot l_a = (497359) (1 \cdot 10^{-3}) = 497'4 \text{ A} \cdot \text{v}$$

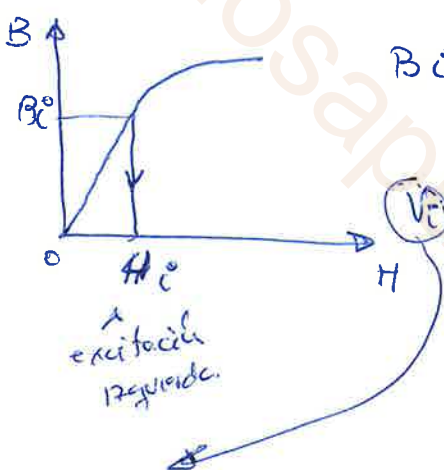
caída de tensión magnét. en el autotransf.

Si no hay dispersión en lazos, $\phi_i = \phi_a$ y tiene la misma forma:

$$\phi_i^o = \phi_a = 625 \cdot 10^{-6} \mu \text{ wb.}$$

Rama izquierd.

$$B_i^o = \frac{\phi_i^o}{S_i} = \frac{625}{10 \cdot 10^{-4}} = 0'625 \text{ wb/u}^2$$

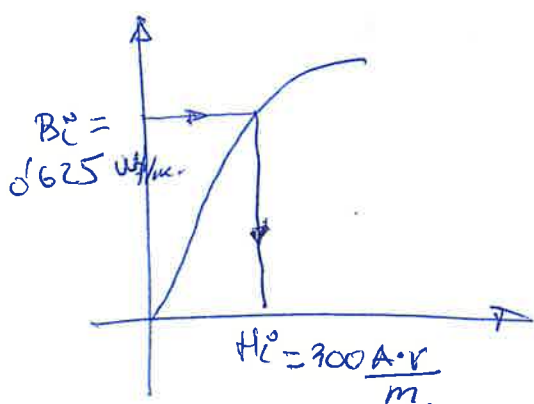


$$0'625 = \frac{1'5 H_i^o}{100 + H_i^o} \quad H_i^o = 704 \text{ A} \cdot \text{v/u.}$$

$$V_i^o = H_i^o l_i^o = 704 \text{ A} \cdot \text{v/u.} \cdot 40 \cdot 10^{-2} \text{ m.} = 28'6 \text{ A} \cdot \text{v.}$$

Fig 1 del Parker.

Hierro fundido, buscando en la tabla H_i^o sabiendo B_i^o

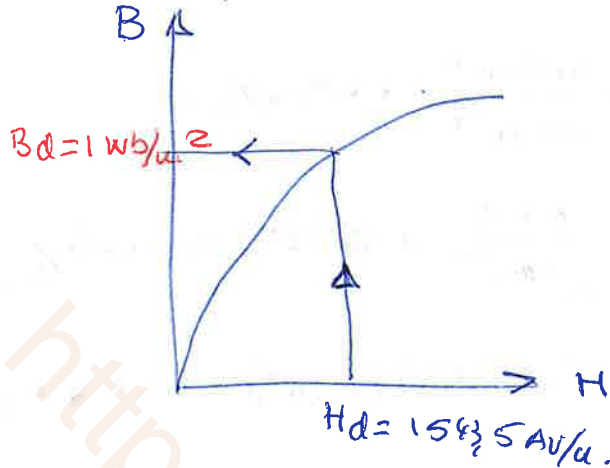


$$V_i^o = H_i^o l_i^o = (300) (40 \cdot 10^{-2}) = 120 \text{ A} \cdot \text{v}$$

Tensión magnética entre a y b es $V_{ab} = V_a + V_i^o = 497'4 + 120 = 617'4 \text{ A} \cdot \text{v}$

$$V_{ab} = H_d l_d = V_d \Rightarrow H_d = \frac{V_{ab}}{l_d} = \frac{617'4}{40 \cdot 10^{-2}} = 1543'5 \text{ A} \cdot \text{v/u.}$$

$B_d = \frac{H_d}{4 \pi \cdot 10^{-7}}$ pasando a la curva de H .



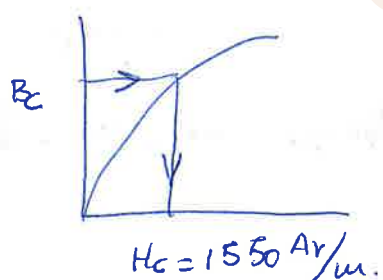
$$\phi_d = B_d \cdot S_d = (1 \text{ T}) (10 \cdot 10^{-4}) = 10 \cdot 10^{-4} \text{ Wb.}$$

$$\boxed{\phi_c = \phi_i + \phi_d = 625 \cdot 10^{-6} + 10 \cdot 10^{-4} = 1625 \mu \text{Wb.}}$$

Inducción de la ruta central.

$$B_c = \frac{\phi_c}{S_c} = \frac{1625 \cdot 10^{-6}}{15 \cdot 10^{-4}} = 1083 \text{ Wb/m}^2$$

Voy de nuevo a la curva para Hallar H_c .



$$H_c = B_c / \mu_0 A_{rc}$$

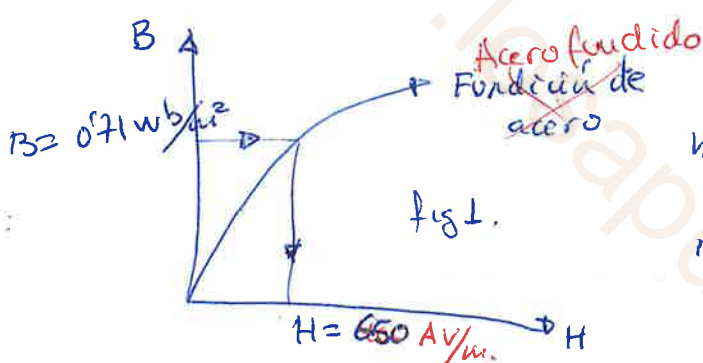
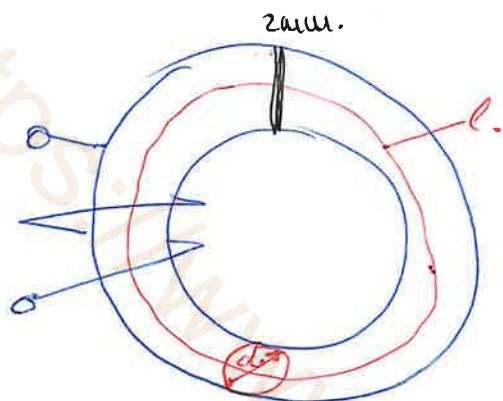
$$V_c = H_c \cdot l_c = (1550 \text{ A/V/m}) \cdot (15 \cdot 10^{-2}) = 232.5 \text{ A.V.}$$

$$\sum nI = V_d + V_c = V_i + V_a + V_c = 849.9 \text{ A.V.}$$

$$\overset{500 \text{ espiras}}{I} = \frac{849.9}{500} = \boxed{1.7 \text{ A}} \text{ de corriente continua d.c.}$$

Problema del Parker.

Un anillo de fundición de acero de $d=3\text{cm}$ y una circunferencia media $\ell=80\text{cm}$, $n=600$ espiras, estan la I necesaria para producir un flujo de $50,000$ líneas o 50 m^2 Maxwell. a) $0'89\text{A}$ [solar]



$$d = 3\text{cm}$$

$$\ell = 80\text{cm},$$

$$n = 600 \text{ espiras},$$

$$\phi = 0'5 \text{ Wb} = 50,000 \text{ l.}$$

$$nI = H \cdot \ell$$

$$n \cdot I = \frac{B}{\mu_0 \mu_r} \cdot \ell. \quad B = \frac{\phi}{S} = \frac{0'5 \cdot 10^{-3} \text{ Wb}}{\pi \frac{3^2}{4} \cdot 10^{-4}} = 0'707 \text{ Wb/m}^2$$

buscado en la tabla H.

$$nI = H \ell = (650) \text{ A/m} \cdot 80 \cdot 10^{-2} \text{ m} = 520 \text{ A.V.}$$

$$600 I = 520 \text{ Amp. vueta.}$$

$$I = \frac{520}{600} = 0'87 \text{ A}$$

b) Si se hace en el anillo un corte de sierra de zumo de acero.
Hollar el ϕ producido en la corriente en el aire.

$$H_a + H_f I_f = nI$$

$$H_a \cdot 2 \cdot 10^{-3} + (650)(80 \cdot 10^{-2} - 2 \cdot 10^{-3}) = 600 \cdot 0'87 = 520.$$

$$H_a =$$

$$B_a = \mu_0 \mu_r \cdot H_a = (4\pi \cdot 10^{-7}) \cdot (1) H_a.$$

$$H_{fa} + H_f l_f = nI$$

$$H_{fa} = \frac{nI - H_f l_f}{l_a}$$

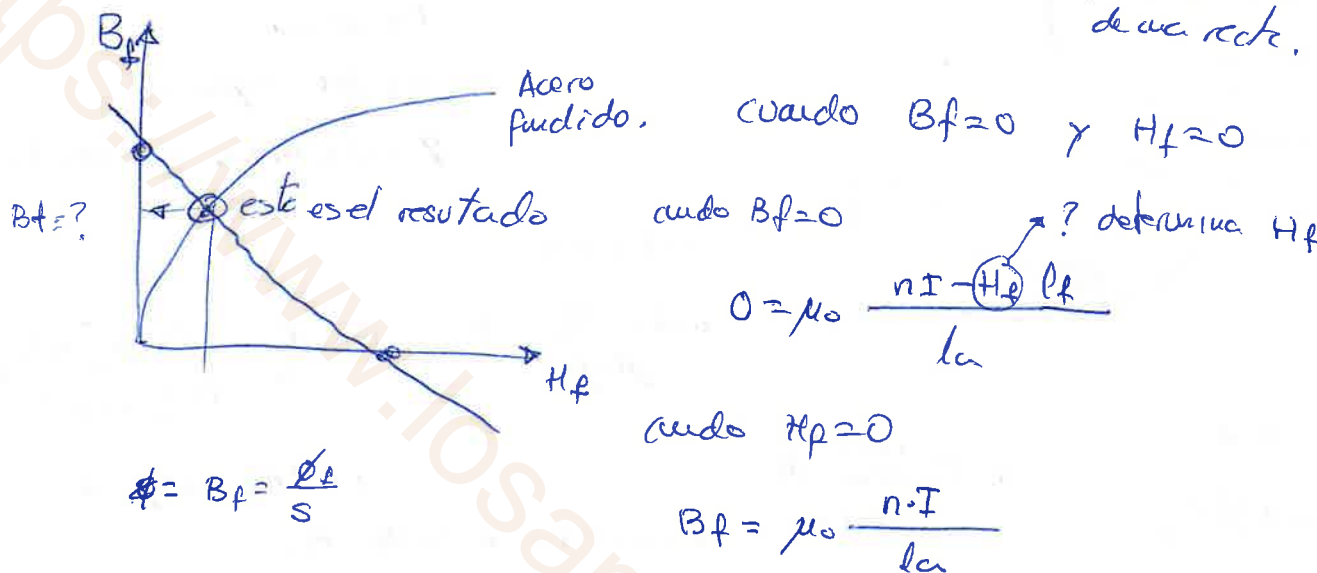
$$B_{fa} = \mu_0 \frac{nI - H_f l_f}{l_a}$$

$$B_a = \mu_0 H_{fa}$$

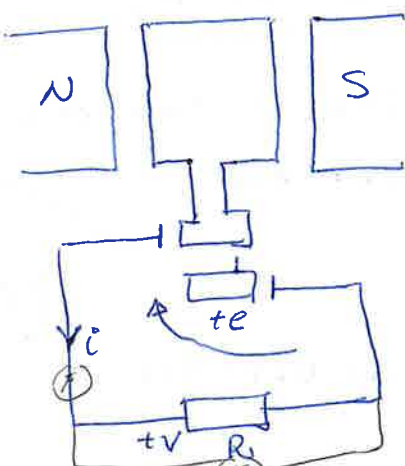
$$\phi_a = \Phi_f \quad S_a = S_f$$

$$B_f = \mu_0 \frac{nI - H_f l_f}{l_a}$$

este es la ecuación de la recta.



Valores eficaces de fuerza electromotriz de la corriente en el alternador.
con cargas resistivas.

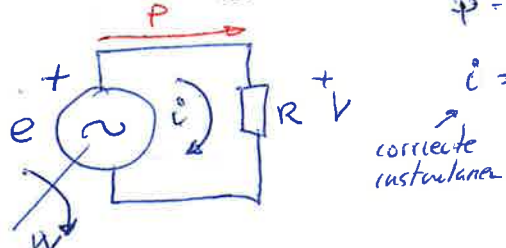


La resist. es un sumidero de la energía eléctrica.

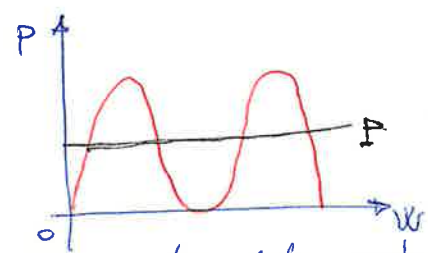
$$P = e_i i$$

potencia instantánea $e = v$

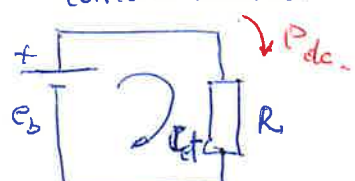
$$P = e_i i = (R i) i = R i^2 = R [I_{max} \sin \omega t]^2$$



$$i = I_{max} \sin \omega t$$



corriente continua.



la temperatura de la resistencia permanece constante.

La potencia en c.a es igual en corriente continua. $P = P_{dc}$

corriente continua.

$$P = \text{valor medio} (P) = \text{valor medio} (R i^2) = \text{valor medio} (R \sum I_{max}^2 \sin^2 \omega t) =$$
$$= \text{valor medio} (\sin^2 \omega t)$$

o sea $P = \frac{1}{\pi} \int_{wt=0}^{wt=\pi} R I^2 \sin^2 \omega t d(\omega t) = R I_{max}^2 \left[\frac{1}{\pi} \int_{wt=0}^{wt=\pi} \sin^2 \omega t d(\omega t) \right] =$

$$P = R I_{max}^2 \frac{1}{2}$$

en c. continua:

$$dc = R I^2_{ef}$$

igualando

$$I^2_{ef} = I_{max}^2 \frac{1}{2}$$
$$I_{ef} = \frac{I_{max}}{\sqrt{2}}$$

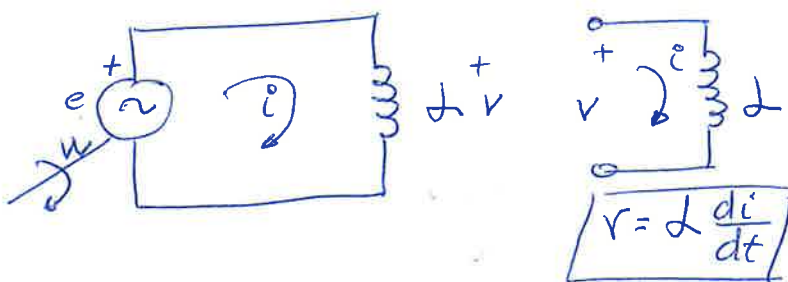
corriente eficaz

$$I_{max} = \frac{E_{max}}{R} \quad \text{dividiendo}$$
$$I_{ef} = \frac{E_{max}/R}{R} = \frac{E_{max}}{R^2}$$
$$I_{ef} = I_{RMS} = I$$
$$E_{ef} = \frac{E_{max}}{\sqrt{2}} = E_{RMS} = E$$

(los aparatos miden los valores eficaces.)

$$V = V_{ef} = V_{RMS}$$

Sustituyendo la resistencia por una bobina; presenta entre sus extremos un dif de potencial proporcional a la variación de la corriente con respecto al tiempo



$$V = L \frac{di}{dt}$$

vale para cualquier tipo de señal, (acotada, redonda, senoidal, triangular - - -)

$$i = I_{max} \sin \omega t$$

$$V = L \frac{d}{dt} I_{max} \sin \omega t$$

$$V = L \omega I_{max} \cos \omega t = L \omega I_{max} \sin \left(\omega t + \frac{\pi}{2} \right)$$

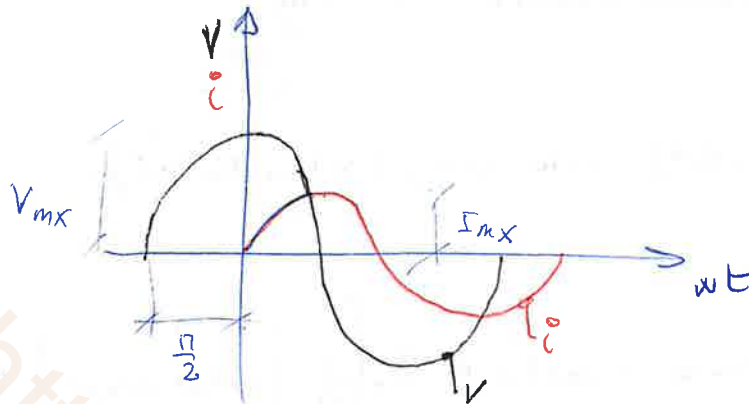
$V = V_{max} \sin \left(\omega t + \frac{\pi}{2} \right)$ existe un desfase de 90° entre la dif de potencial y la corriente.

$$V_{max} = L \omega I_{max}$$

$$V = L \omega I = X_L \cdot I$$

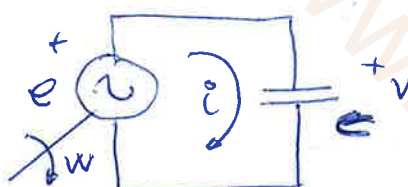
$$L \omega = \text{react. induct.} = X_L$$

$$\omega = 2 \pi f$$



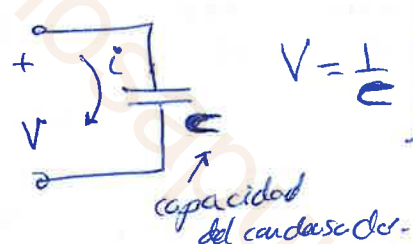
La tensión va en adelanto $\frac{\pi}{2}$ con respecto de la corriente.

CONDENSADOR.



el condensador no tiene ninguna carga inicial en sus bornes.

La dif. de potencial del condensador: entre sus placas



$$V = \frac{1}{C} \int_0^t i dt \rightarrow i = C \frac{dV}{dt}$$

$$i = C \frac{d}{dt} V_{max} \sin \omega t$$

$$V = V_{max} \sin \omega t$$

$$e = E_{max} \sin \omega t$$

$$\Rightarrow i = wC V_{max} \sin(\omega t + \frac{\pi}{2})$$

$$I_{max} = wC V_{max}$$

$$V_{max} = I_{max} \frac{1}{wC}$$

$$V = I \frac{1}{wC}$$

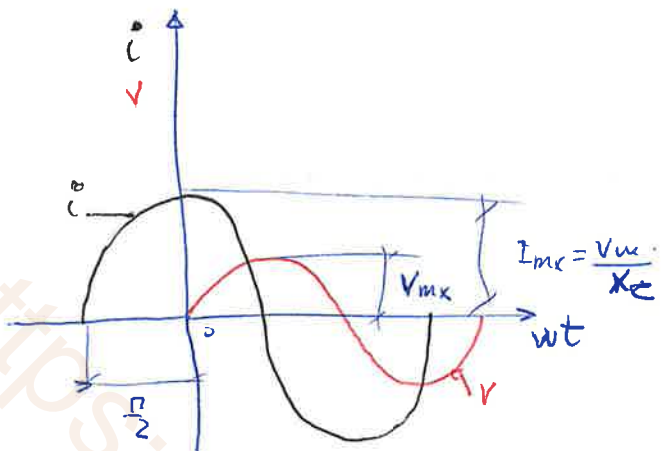
$$i = I \sqrt{2} \cos \omega t$$

La corriente va adelantado 90° con respecto de la tensión.

$$\frac{1}{wC} = x_C = \text{react. capacitativa} \quad wC = x_L$$

$$V = IX_C$$

GRAFICA



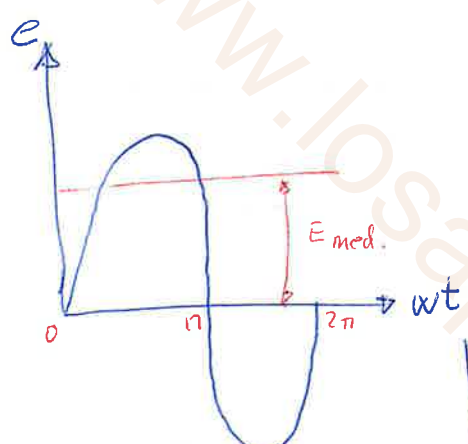
$$V_{max} = E_{max} = E\sqrt{2}$$

cte

$$E = 444 n N \frac{1}{d_{max}}$$

$$\begin{aligned} &\text{proporcional} \\ &E \propto n N \\ &E \propto N \\ &E \propto n \end{aligned}$$

Valor medio de la fuerza electromotriz inducida

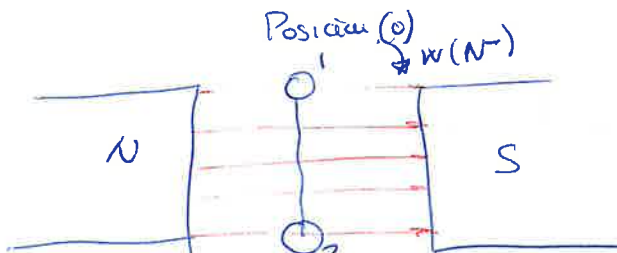


$$E_{med} = \frac{1}{\pi} \int_{wt=0}^{wt=\pi} E_{max} \sin wt d(wt)$$

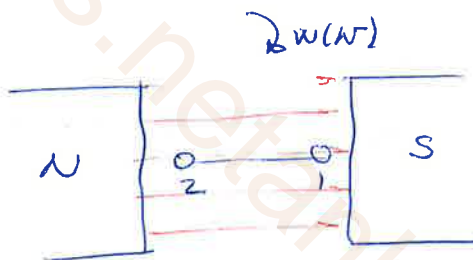
$$E_{med} = \frac{1}{\pi} E_{max} \left[\cos wt \right]_0^{\pi} = \frac{2}{\pi} E_{max}$$

$$E_{med} = \frac{2}{\pi} E_{max}$$

valor medio.



$\Phi = \Phi_{max}$
fuerza electromotriz inducida



$$\begin{cases} \Phi = 0 \\ \text{instantáneo} \\ e = E_{max} \end{cases}$$

La fuerza electromotriz media generada se puede poner $E_{med} = n \frac{\Delta \Phi}{\Delta t}$

$$\Delta \Phi = \Phi_{max}$$

$\frac{1}{N} = \text{tiempo de una vuelta}$

$\frac{1}{4N} = \text{tiempo de un cuarto de vuelta.}$

$$E_{med} = n \frac{\Phi_{max}}{1/4N} = 4Nn \Phi_{max}$$

$$E_{med} = 4N\pi \Phi_{max}$$

valor medio

Igualando el valor medio con el valor máximo $\frac{2}{\pi} E_{max} = 4N\pi \Phi_{max}$

$$E_{mx} = 2\pi N n \phi_{mx}$$

$$E = \frac{E_{mx}}{\sqrt{2}} = \frac{2\pi}{\sqrt{2}} N n \phi_{mx}$$

$$E = 4.44 n N \phi_{mx}$$

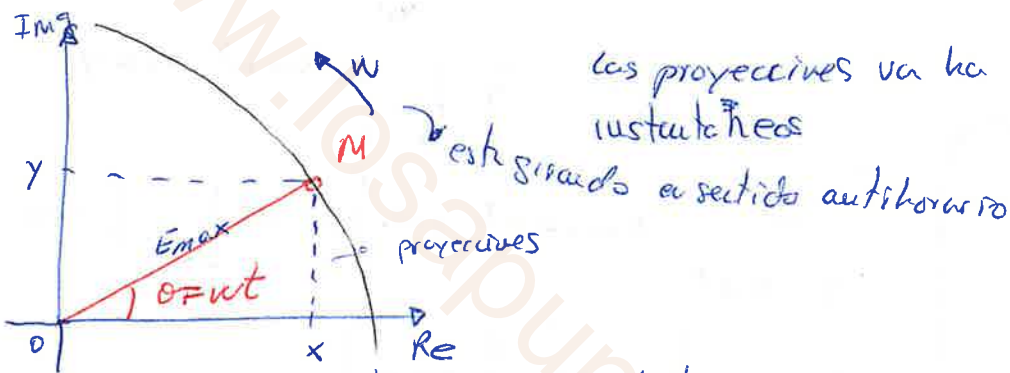
$f = N$ frecuencia con el nº de revoluciones por segundo coinciden.

$$E = 4.44 f n \phi_{mx}$$

Representación cinemática.

función sinus.

una linea fija en el plano. porque esta definida con el angulo o



las proyecciones van hacia los valores instantáneos

estimados en sentido antihorario

$$Oy = \text{Imag} \left[\vec{E}_{mx} e^{j\omega t} \right] = \text{Imag} \left[\vec{E}_{uv} \right] = E_{uy} \sin \omega t = e$$

valor instantáneo de la F. electrom.

componentes
imaginarias

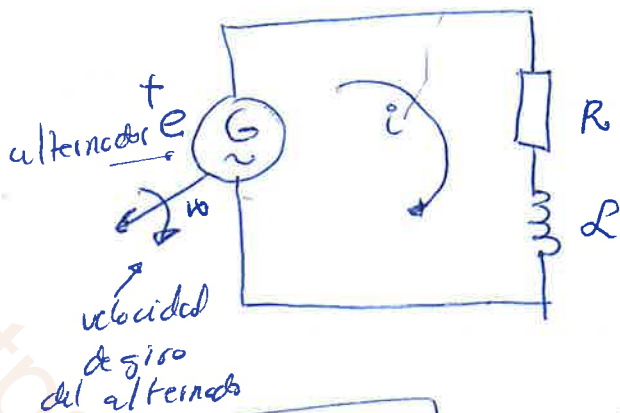
$$Ox = \text{Re} \left[\vec{E}_{mx} e^{j\omega t} \right] = \text{Re} \left[\vec{E}_{uv} \right] = E_{ux} \cos \omega t = e$$

Representación de un vector giratorio.

$$\text{puede ir representado como: } \bar{E}_{mx} = E_{mx} e^{j\omega t} = E_{mx} \angle \theta = w t =$$

$$= E_{ux} \cos \omega t + j E_{uy} \sin \omega t = \sqrt{x^2 + y^2} \angle \omega t = t_g^{-1} \frac{y}{x}$$

Carga RLE (Muy importante)



$$V = RI + L \frac{di}{dt} \quad (1)$$

$$i = I_{max} \sin(\omega t) \quad \text{Excitación}$$

$$V = V_{max} \sin(\omega t + \phi) \quad \text{y respuesta}$$

$$\begin{cases} i = I_{max} e^{j\omega t} \\ V = V_{max} e^{j(\omega t + \phi)} \end{cases} \quad \text{sustituyendo en (1)}$$

$$I_{mag} [V_{max} e^{j(\omega t + \phi)}] = R I_{mag} [I_{max} e^{j\omega t}] + L \frac{d}{dt} I_{mag} [I_{max} e^{j\omega t}]$$

$$I_{mag} [V_{max} e^{j(\omega t + \phi)}] = I_{mag} [R I_{max} e^{j\omega t}] + I_{mag} [L \frac{d}{dt} I_{max} e^{j\omega t}]$$

imaginario

$$I_{mag} [V_{max} e^{j(\omega t + \phi)}] = I_{mag} [R I_{max} e^{j\omega t}] + I_{mag} [j\omega L I_{max} e^{j\omega t}]$$

$$V_{max} e^{j(\omega t + \phi)} = [R + j\omega L] I_{max} e^{j\omega t}$$

$$\bar{V}_{max} = [R + j\omega L] \bar{I}_{max}$$

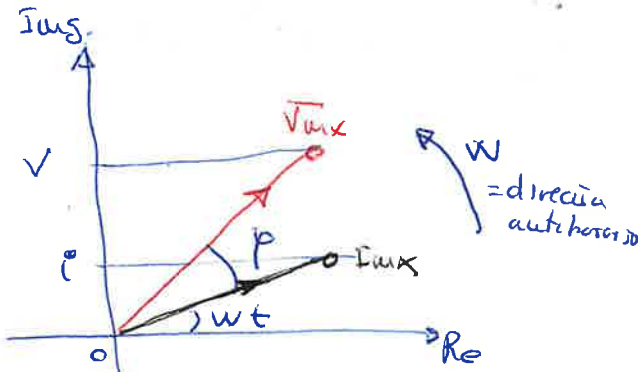
$$V = (R + j\omega L) I$$

Vale para cualquier tipo de señal.

La corriente sinusoidal es $i = I_{max} \sin(\omega t)$

$V = V_{max} \sin(\omega t + \phi)$ angulo de desfase.
a $V - I$

en el angulo de un RL que no sea 0° ni 90° .



sustituyendo en (1)

$$I_{mag} [V_{max} e^{j(\omega t + \phi)}] = R I_{mag} [I_{max} e^{j\omega t}] + L \frac{d}{dt} I_{mag} [I_{max} e^{j\omega t}]$$

$$I_{mag} [V_{max} e^{j(\omega t + \phi)}] = I_{mag} [R I_{max} e^{j\omega t}] + I_{mag} [L \frac{d}{dt} I_{max} e^{j\omega t}]$$

imaginario

$$I_{mag} [V_{max} e^{j(\omega t + \phi)}] = I_{mag} [R I_{max} e^{j\omega t}] + I_{mag} [j\omega L I_{max} e^{j\omega t}]$$

$$V_{max} e^{j(\omega t + \phi)} = [R + j\omega L] I_{max} e^{j\omega t}$$

$$\bar{V}_{max} = [R + j\omega L] \bar{I}_{max}$$

$$V = (R + j\omega L) I$$

Método Simbólico, o método de FRESNEL.

$$V_{mx} = [R + j\omega L] I_{mx} \xrightarrow{RL}$$

en forma exponencial. $V_{mx} e^{j(\omega t + \varphi)} = [R + j\omega L]$, • $I_{mx} e^{j\omega t}$

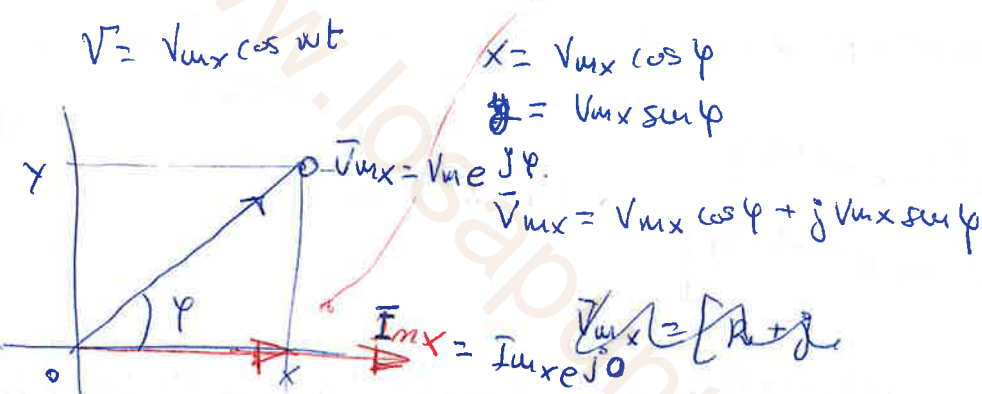
$$V_{mx} e^{j\varphi} e^{j\omega t} = [R + j\omega L] I_{mx} e^{j0^\circ} e^{j\omega t}$$

lo drido $e^{j\omega t}$

hac la
misma
función
que

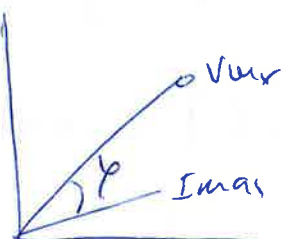
$$V_{mx} e^{j\varphi} = [R + j\omega L] e^{j\omega t}$$

rectores pasores o estacionarios.



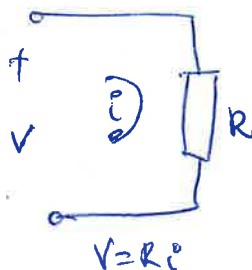
$$\bar{V}_{mx} = [R + j\omega L] \bar{I}_{mx} - \begin{cases} V_{mx} \angle \omega t + \varphi & \text{vectors giratorios} \\ V_{mx} \angle \varphi & \text{vector estacionario cuando se para.} \end{cases}$$

$\bar{V}_{mx} \angle \omega t + \varphi = [R + j\omega L] I_{mx} \angle \omega t$ son giratorios

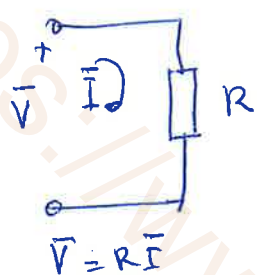


OPERADOR IMPEDANCIA $\Rightarrow Z$

$$\bar{Z} = \frac{\bar{V}}{\bar{I}}$$

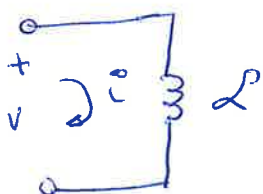
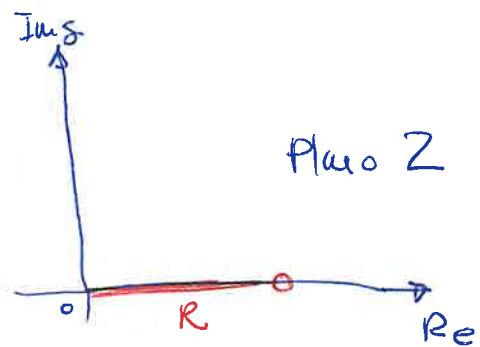


este modelo corresponde para cualquier tipo de señal

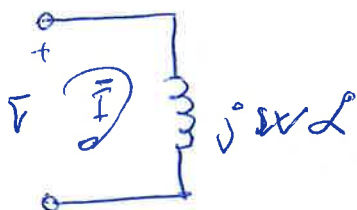


circuito para señales sinusoides

$$\bar{Z} = \frac{\bar{V}}{\bar{I}} = \frac{V \angle 0^\circ}{I \angle 0^\circ} = Z \angle 0^\circ = R + j0$$



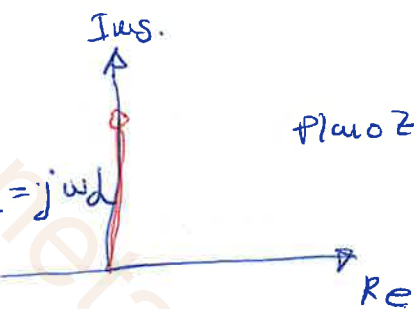
este modelo corresponde para cualquier tipo de señal.



circuito para señales sinusoidales

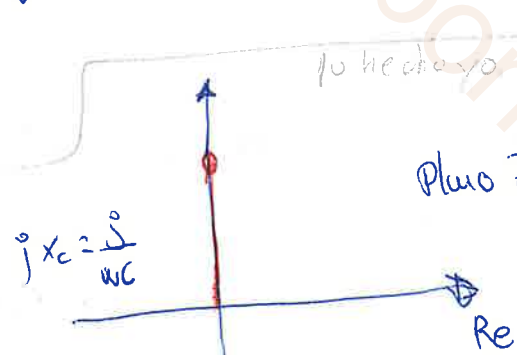
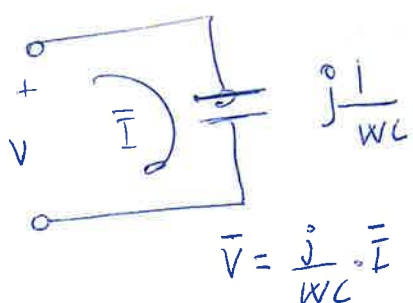
$$\bar{V} = j\omega L \bar{I}$$

$$\bar{Z} = \frac{\bar{V}}{\bar{I}} = \frac{V \angle 90^\circ}{I \angle 0^\circ} = Z \angle 90^\circ = j\omega L$$



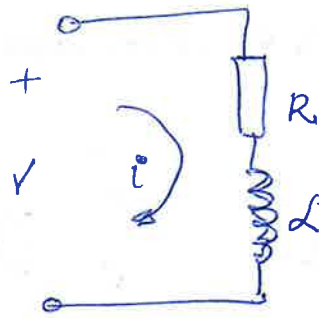
Para el condensador lo mismo,

condensador



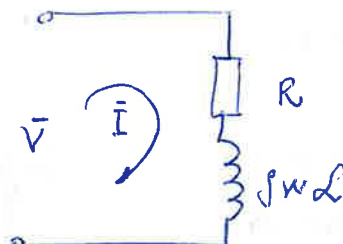
$$\bar{Z} = \frac{\bar{V}}{\bar{I}} = \frac{V \angle -90^\circ}{I \angle 0^\circ} = Z \angle -90^\circ = \frac{1}{j\omega C}$$

circuito RL para cualquier tipo de señales



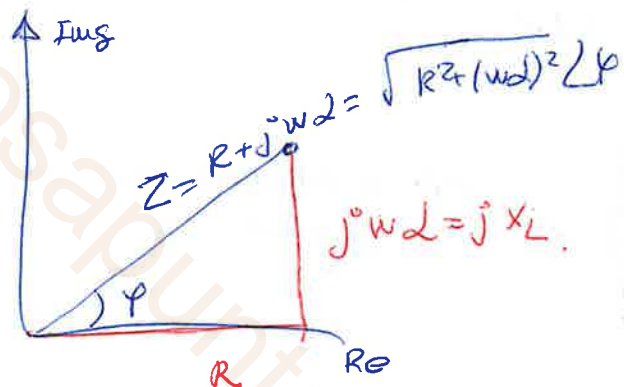
$$V = Ri + \omega \frac{di}{dt}$$

para señales
señales



$$\bar{V} = R\bar{i} + j\omega L\bar{I}$$

$$\bar{Z} = \frac{\bar{V}}{\bar{I}} = \frac{V \angle \varphi}{I \angle 0^\circ} = Z \angle \varphi = R + j\omega L = Z \cos \varphi + jZ \sin \varphi$$



Impedancia exponencial. tensiones en circuito RL

$$V = Ri + \omega \frac{di}{dt}$$

$$V = I e^{pt} [R + L_p]$$

$$i = I e^{pt}$$

$$V = I e^{pt} + \omega \frac{d}{dt} I e^{pt}$$

$$\frac{V}{i} = Z(p) = R + L_p$$

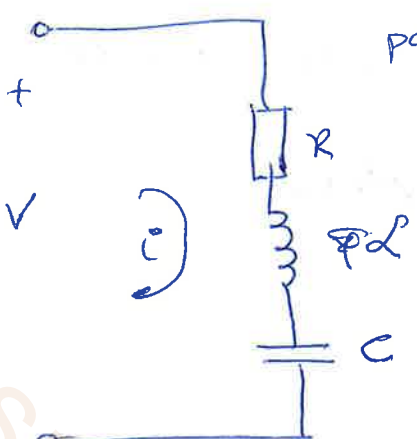
$$\text{como } e^{j\omega t} = \cos \omega t + j \sin \omega t$$

$$p = j\omega$$

$$Z(p) = R + L_p$$

$$Z(j\omega) = \bar{Z} = R + j\omega L$$

CIRCUITO RLC



para cualquier tipo de señal.

$$V = R i + L \frac{di}{dt} + \frac{1}{C} \int idt$$

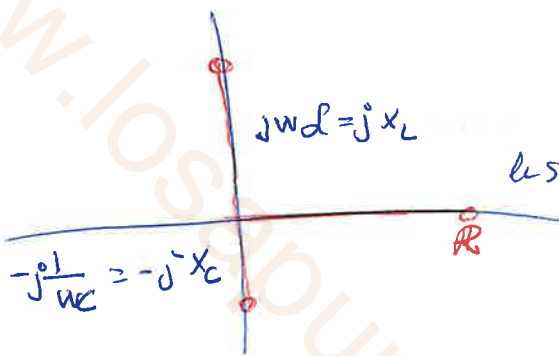
$$i = I e^{pt}$$

$$V = \left[I e^{pt} \right] \left[R + L_p + \frac{1}{C_p} \right]$$

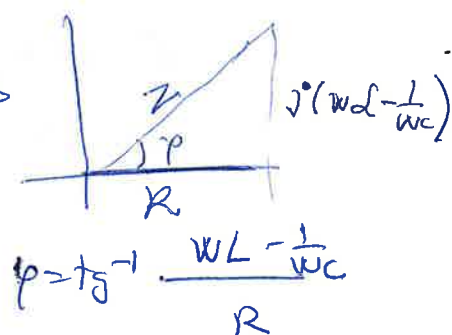
$$Z(p) = \frac{V}{I} = R + L_p + \frac{1}{C_p}$$

$$Z(j\omega) = R + j\omega L + \frac{1}{j\omega C} = R + j\omega \left[\omega L - \frac{1}{\omega C} \right]$$

grafica.

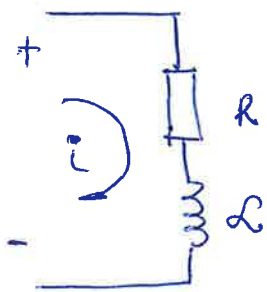


es una



$$p = j\omega L - \frac{1}{\omega C}$$

CIRCUITO RL



$$V = R i + L \frac{di}{dt} \quad \text{es para cualquier tipo de señal.}$$

$i = I_0 e^{pt}$ es forma exponencial.

$$V = R I_0 e^{pt} + L \frac{d}{dt} I_0 e^{pt}$$

$$V = (R + L_p) I_0 e^{pt}$$

$$V = (R + L_p) i$$

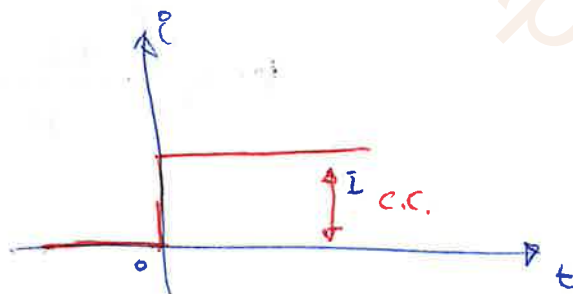
$$Z(p) = \frac{V}{i} = R + L_p$$

$$i = I_{max} \sin \omega t$$

es una
frecuencia
compleja

$$Z = Z(p=j\omega) = R + j\omega L$$

$$p = \sigma + j\omega$$



$$i = I$$

$$p = 0$$

$$i = I e^{\sigma t} = I$$

La función senoidal puede ir representada.

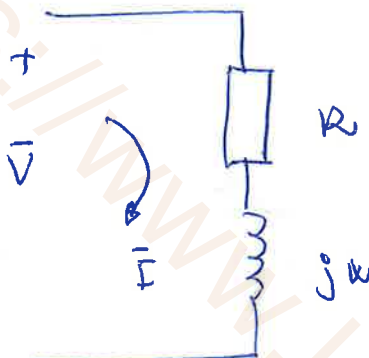
$$i = I_{max} \sin \omega t = I_{max} \left\{ \frac{1}{2} [e^{j\omega t} - e^{-j\omega t}] \right\}$$

sustitución de señales senoidales.

$$V = R_i + \omega \frac{di}{dt} \Rightarrow \text{es igual excedo } \frac{d}{dt} [] = j\omega$$

$$\int [] dt = \frac{1}{j\omega}$$

CIRCUITO EN FORMA SENOIDAL



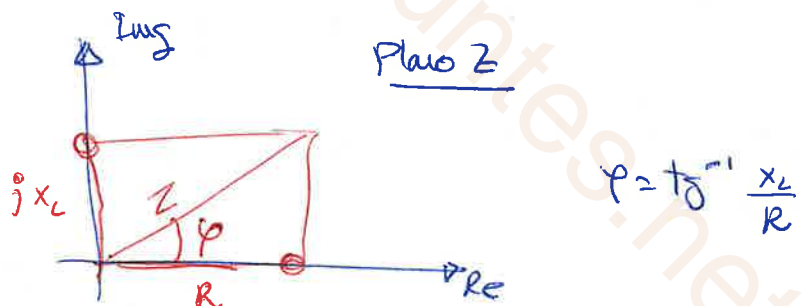
$$\bar{V} = \bar{I} [R + j\omega L]$$

$$\bar{V} = R\bar{I} + j\omega L\bar{I}$$

$$\bar{V} = (R + j\omega L)\bar{I} = \bar{Z}\bar{I}$$

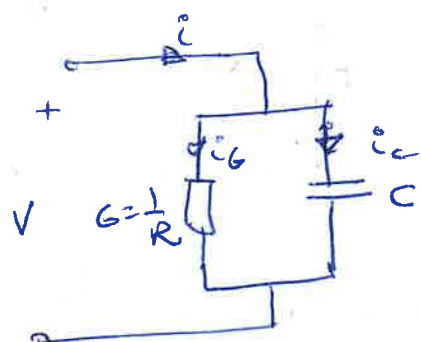
se emplean el cuadrante 1^{er} y 4^{er}

$$\bar{Z} = R + j\omega L = R + jX_L$$



$$\varphi = \tan^{-1} \frac{X_L}{R}$$

CIRCUITO RC paralelo. para cualquier tipo de señal.



$$G = \frac{1}{R} = \text{conductancia (Searies (s))}$$

$$\bar{i} = \bar{i}_G + \bar{i}_C$$

$$\bar{i}_G = G \cdot V$$

$$\bar{i}_C = C \frac{dV}{dt}$$

estos se calcula en los circuitos anteriores.

RL serie

$$V = RI + L \frac{di}{dt}$$

$$V = V_R + V_L$$

GC paralelo

$$i = i_G + i_C$$

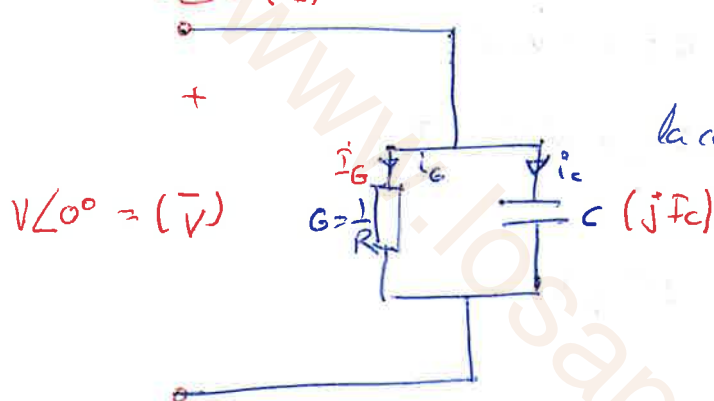
$$i = GV + C \frac{dv}{dt}$$

los circuitos son duales.

Para señales sinusoidales.

para pasarlo en señales sinusoidales
debe valer $i = \bar{I}$ y dada que
 $\bar{V} = \bar{V}$ y $\frac{dv}{dt} = j\omega \bar{V}$

$I(\alpha) (\bar{I})$



i_C en serie es $\frac{1}{j\omega C}$ pero al estar en paralelo es $\frac{1}{j\omega C} = jB_c$

la corriente del condensador va en adelantado 90°

$$\bar{I} = G\bar{V} + j\omega C\bar{V}$$

$$\bar{I} = G\bar{V} + j\omega C\bar{V}$$

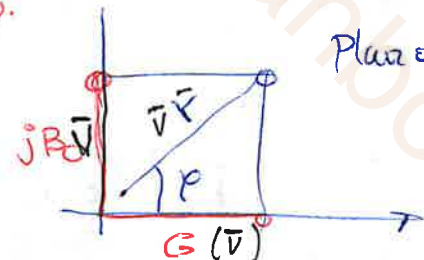
$$\bar{Y} = \bar{V} [G + j\omega C] \rightarrow$$

$$\Rightarrow \bar{I} = \bar{V} [G + jB_c] \quad \frac{\bar{I}}{\bar{V}} = \bar{Y}$$

$$\bar{Y} = \frac{1}{Z}$$

es inversa de impedancia

Plano Y

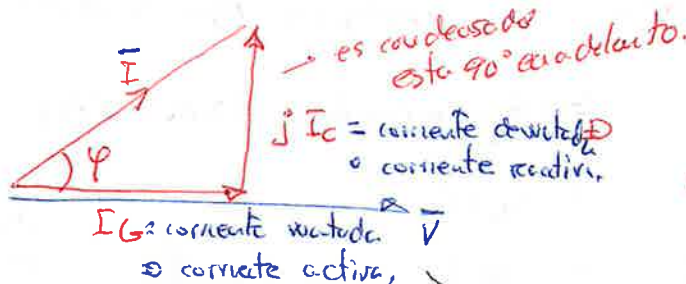


$j\omega C = \text{susceptancia capacitiva}$ ($s_{capacitiva}$) $= jB_c$

$G = \text{conductancia}$

$$G + j\omega C = G + jB_c = \bar{Y} \text{ (sistema)}$$

$\bar{Y} = \text{admitancia}$ ($s_{admitancia}$)



$$\bar{I} = I_N + jI_d \quad \text{corriente activa}$$

corriente directa

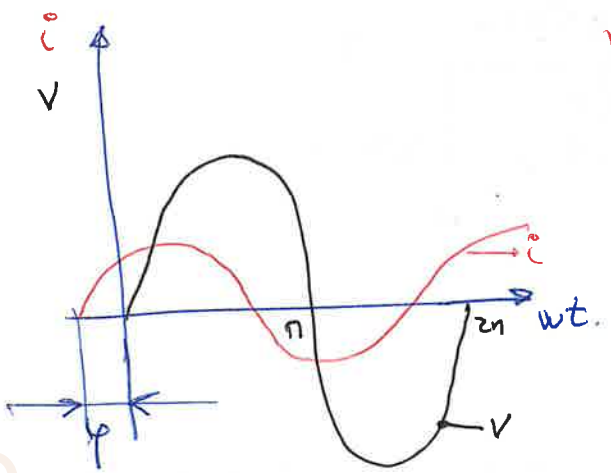
corriente directa.

se pasa multiplicando por \bar{Y}

$$I_G = G(\bar{V})$$

$$jI_C = jB_c \bar{V}$$

$$I = \bar{V} \bar{Y}$$

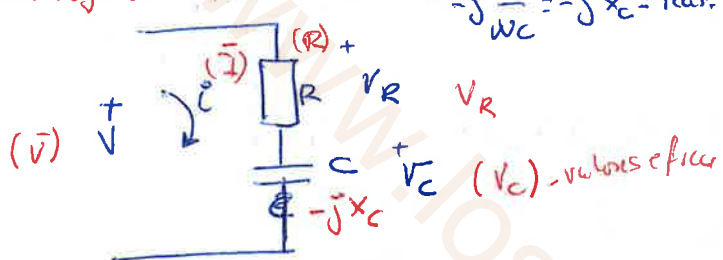


$$V = V_{\max} \sin \omega t$$

$$I = I_{\max} \sin(\omega t + \varphi)$$

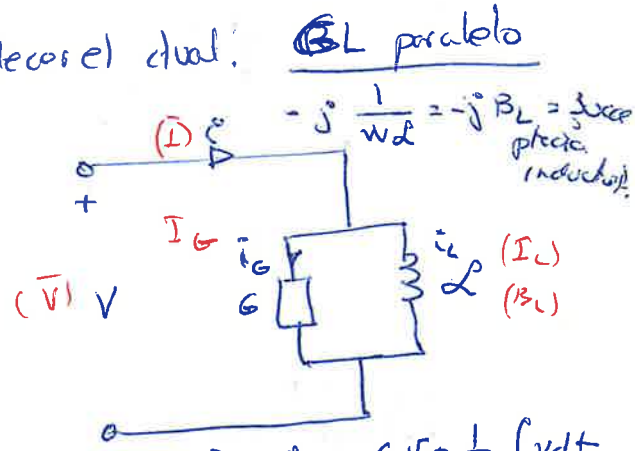
CIRCUITO RC SERIE. ~~para establecer el dual:~~ BL paralelo

(v) rojo es en forma seriada. $-j \frac{1}{\omega C} = -j X_C$ = react. capacit.



Ec. de la red. $V = R\bar{i} + \frac{1}{j} \int i dt = V_R + V_C$

Ec. vectorial $\bar{V} = R\bar{i} - j \frac{1}{\omega C} \bar{i} \quad \bar{i} = \bar{V}_R + \bar{V}_C$

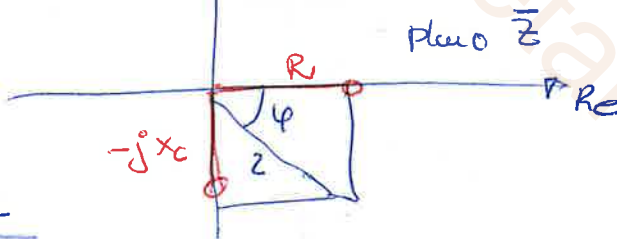


$$\bar{i} = \bar{i}_G + \bar{i}_L = G\bar{V} + \frac{1}{j\omega L} \int V dt$$

$$\bar{i} = G\bar{V} + \frac{1}{j\omega L} \bar{V} = G\bar{V} - j \frac{1}{\omega L} \bar{V} = \bar{i}_G + \bar{i}_L$$

SERIE RC

$$\bar{Z} = \frac{\bar{V}}{\bar{i}} = \frac{V \angle -\varphi}{I \angle 0} = Z \angle -\varphi = R - j X_C = R - j \frac{1}{\omega C} \quad (2)$$

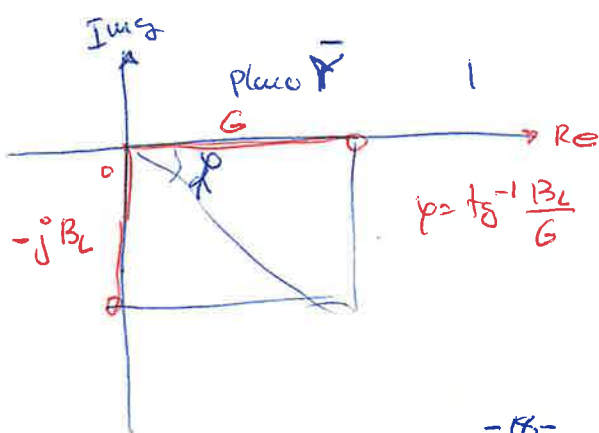


Paralelo GL

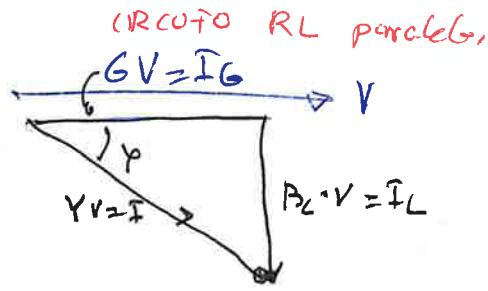
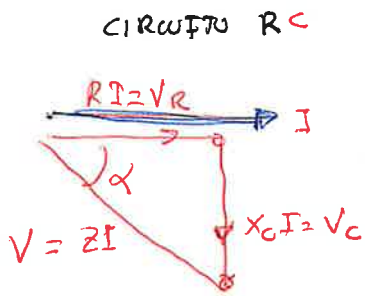
$$\rho = \tan^{-1} \frac{-X_C}{R}$$

To multiplicar por \bar{i}

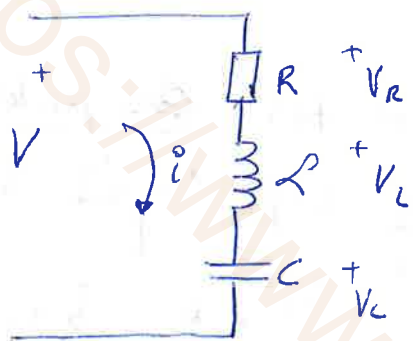
$$\bar{Y} = \frac{\bar{i}}{\bar{V}} = \frac{I \angle -\varphi}{V \angle 0} = Y \angle -\varphi = G - j \frac{1}{\omega L} = G - j B_L \quad (3)$$



multiplico por \bar{i} todos
los lados de las ~~gráficas~~
 γ
quedan \Downarrow



SERIE RLC



$$V = V_R + V_L + V_C = RI + L \frac{di}{dt} + \frac{1}{C} \int idt.$$

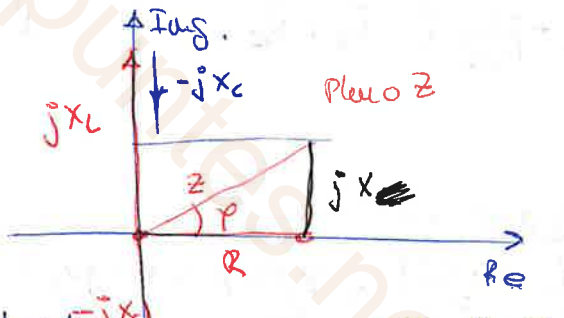
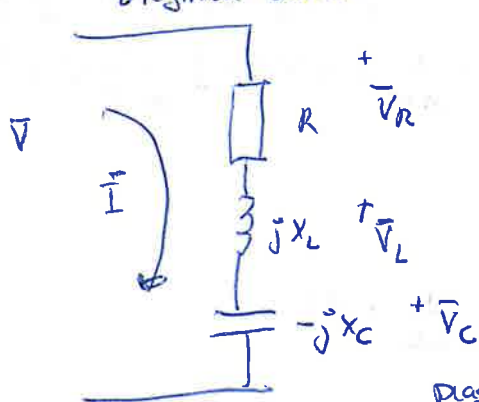
en forma vectorial

$\frac{-j}{\omega C}$ \rightarrow polar arriba negativo

$$\bar{V} = \bar{V}_R + \bar{V}_L + \bar{V}_C = R\bar{I} + j\omega L\bar{I} + \frac{1}{j\omega C}\bar{I}$$

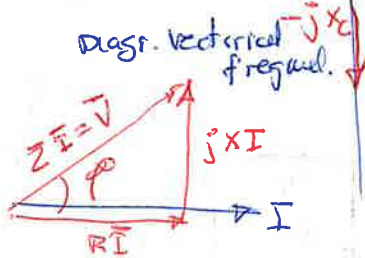
$$\bar{V} = [R + j\omega L - j\omega C]\bar{I} = (R + jX)\bar{I}$$

$$X = \omega L - \omega C \quad Z = \frac{\bar{V}}{\bar{I}} = \frac{V \angle \varphi}{I \angle 0^\circ} = \\ = Z \angle \varphi = R + j(\omega L - \omega C)$$



lo multiplica

por \bar{I}

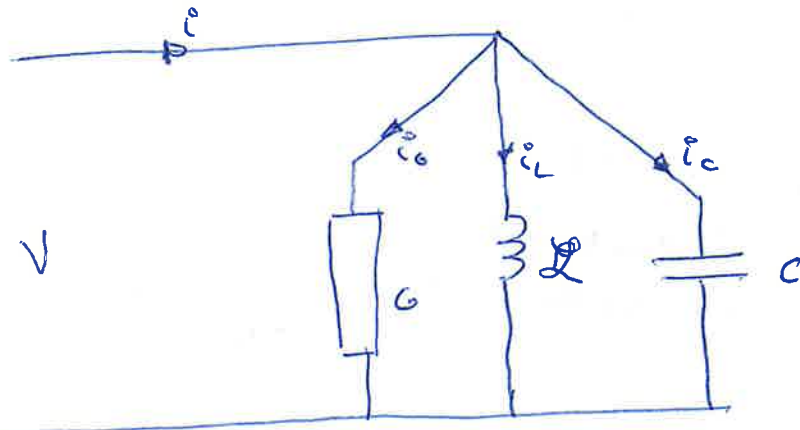


$$\varphi = \tan^{-1} \frac{\omega L - \omega C}{R}$$

$$\bar{V} = \bar{I} Z$$

$$V \angle \varphi = I \angle 0^\circ Z \angle \varphi$$

CIRCUITO RLC paralelo para cualquier tipo de señal.

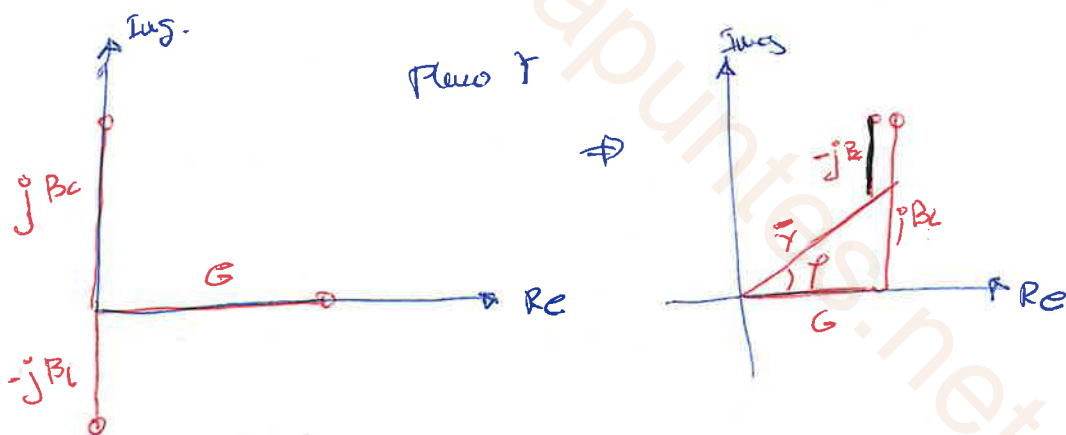


$$\bar{I} = \bar{I}_G + \bar{I}_L + \bar{I}_C = GV + \frac{1}{L} \int V dt + C \frac{dV}{dt}$$

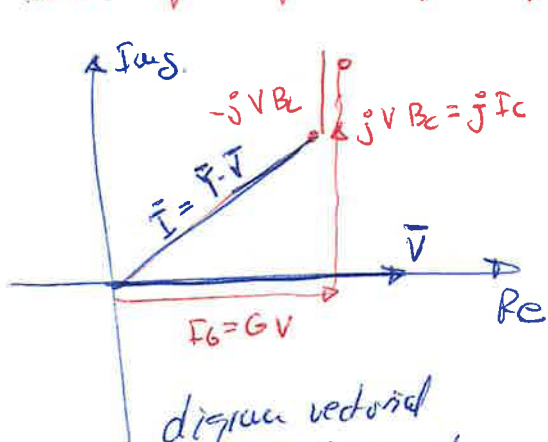
ecua. senoidal. $\bar{I} = \bar{I}_G + \bar{I}_L + \bar{I}_C = G\bar{V} + \frac{1}{j\omega L} \bar{V} + j\omega C \bar{V}$

$$\bar{I} = \bar{V} \left[G + j \left(\omega C - \frac{1}{\omega L} \right) \right]$$

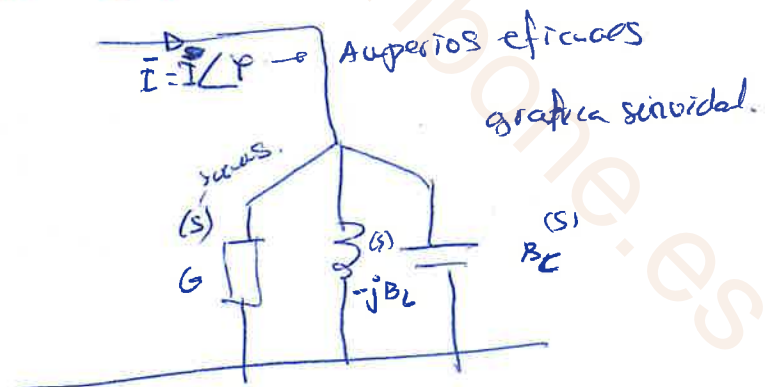
$$Y = \frac{\bar{I}}{\bar{V}} = \frac{IL^p}{V(0^\circ)} = \bar{Y} \angle p = G + j(B_C - B_L)$$



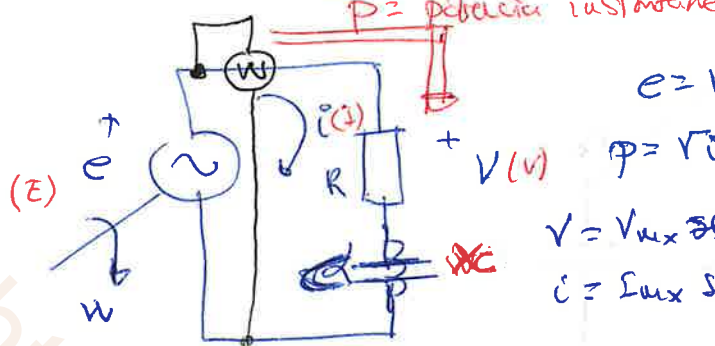
lo multiplico por V para poner la grafica en forma senoidal.



digram vectorial
de freguenc
los vectores estan estatico
es decir no giran.



Potencia de R.E. serie



$$/ \omega t + \varphi$$

$$\sin A \sin B = \frac{1}{2} [\cos(A-B) - \cos(A+B)]$$

$$P = [V_{\max} \sin(\omega t)] [I_{\max} \sin(\omega t + \varphi)]$$

$$P = V_{\max} I_{\max} (\sin(\omega t)) [\sin(\omega t + \varphi)]$$

$$P = V_{\max} I_{\max} \left[\frac{1}{2} (\cos \varphi) - \frac{1}{2} \cos(2\omega t + \varphi) \right] =$$

$$= V I [\cos \varphi - \cos(2\omega t + \varphi)]$$

$$P = \frac{1}{T} \int P dt = \frac{1}{T} \int_0^T V I \cos \varphi dt - \frac{1}{T} \int_0^T V I \cos(2\omega t + \varphi) dt$$

$$P = V \cdot I \cos \varphi + 0$$

$$\boxed{P = VI \cos \varphi}$$

potencia
media activa.

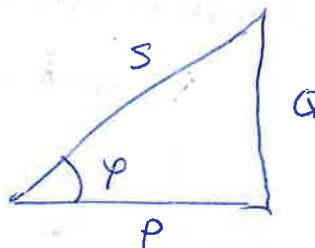
Se mide en
wattios.

y se coloca en el
circuito con indicador
el color negro y medir la
la potencia media activa.

$S = V \cdot I =$ potencia aparente (voltio x amperio ~~reactivo~~ VA)

$Q = V I \sin \varphi =$ reactiva (" " " " reactivo) (VAR), (~~VAR~~)

(MVAR.)



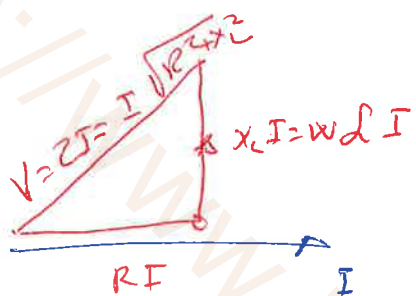
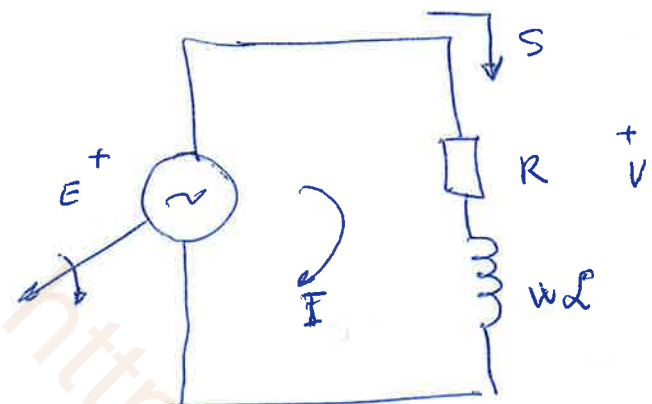
$$\varphi = \tan^{-1} \frac{Q}{P}$$

Región secundaria.

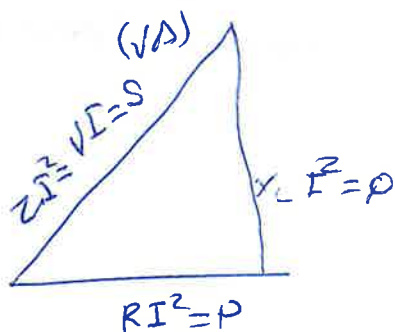
$$S = \sqrt{P^2 + Q^2} = \angle \varphi = P + j Q = S \angle \varphi$$

Potencia CIRCUITO RL

regresa senoidal.

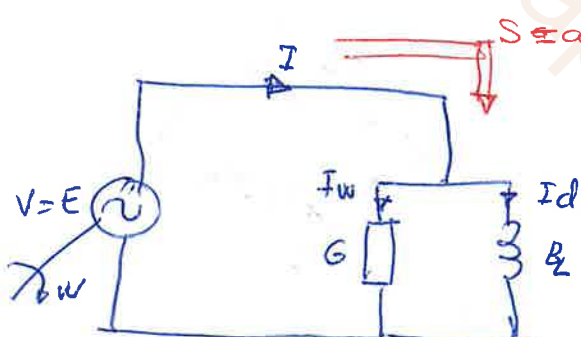


$$\text{multiplicando.} \\ \times I$$

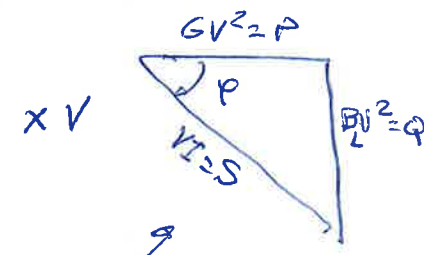
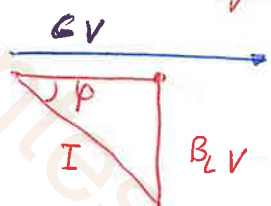


Sistema complejo

circuito RL paralelo.



$S = V \cdot I^*$ absorbe una potencia operante.



para leer la velocidad al triángulo.

$$S = V \cdot I^* \text{ compleja}$$

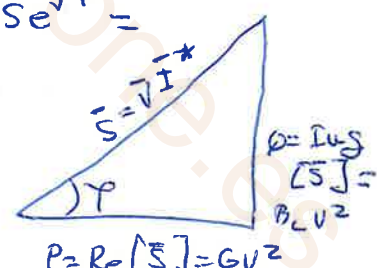
$$S = V \angle 0^\circ (I \angle -\varphi)^* =$$

$$= V \angle 0^\circ I \angle \varphi = V e^{j0^\circ} I e^{j\varphi} = S e^{j\varphi} =$$

$$= \sqrt{P^2 + Q^2} \angle \varphi = \sqrt{\frac{V^2}{G}} \angle \varphi = \frac{B_L V^2}{G}$$

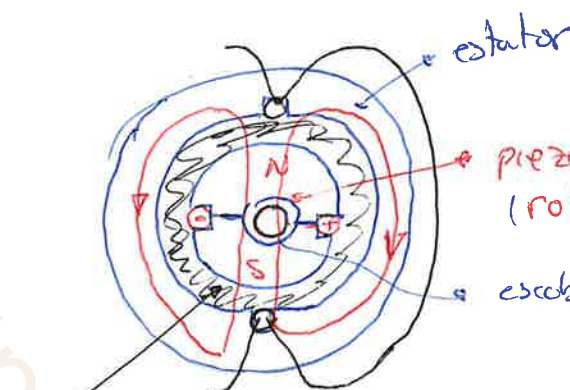
$$P = G V^2 = \operatorname{Re}[S]$$

$$Q = \operatorname{Imag}[S] = B_L V^2 \Rightarrow$$

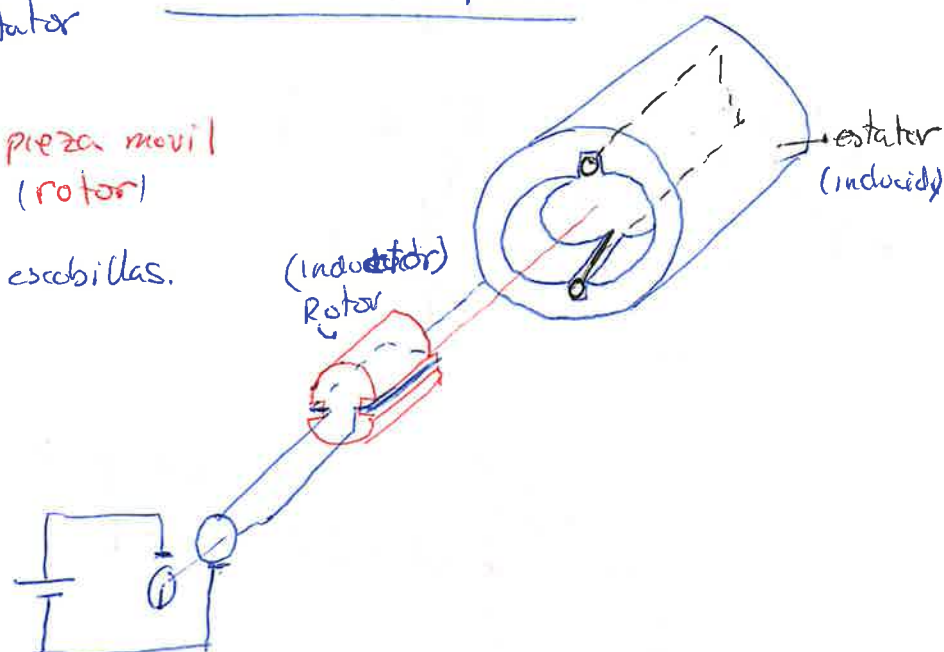


Alternador elemental en un campo magnético giratorio.

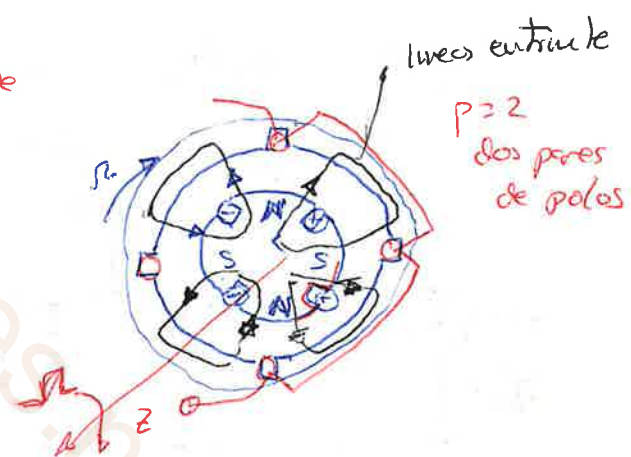
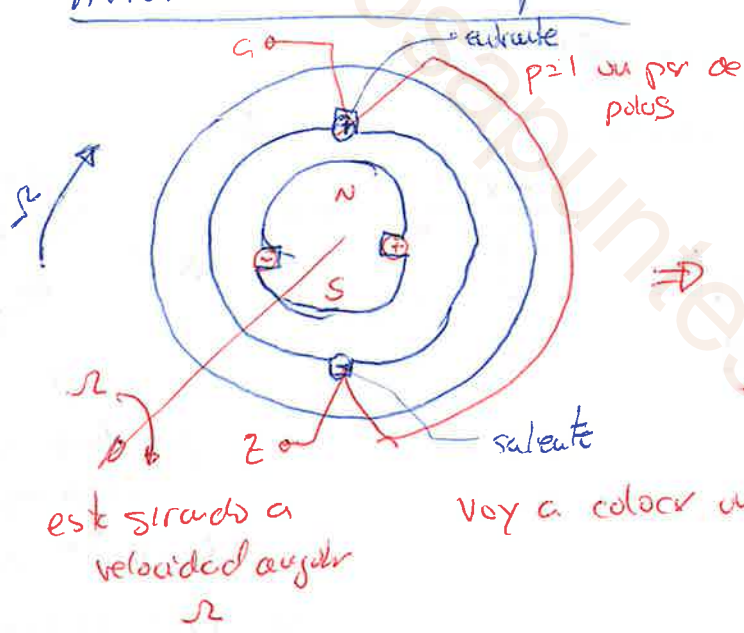
alternador bipolar.



este espacio de entrete es el entrehueso



Alternador ~~bipolar~~ hipolar.



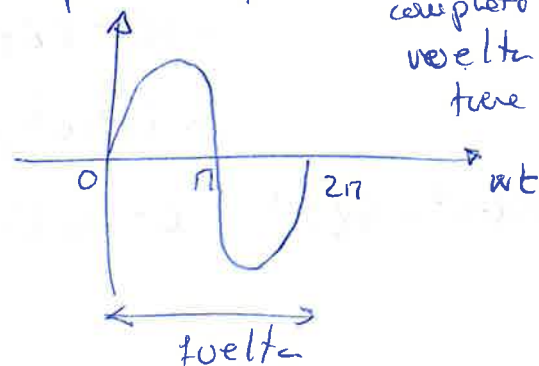
estirando a velocidad angular

voy a colocar un rotor tetrapolar.

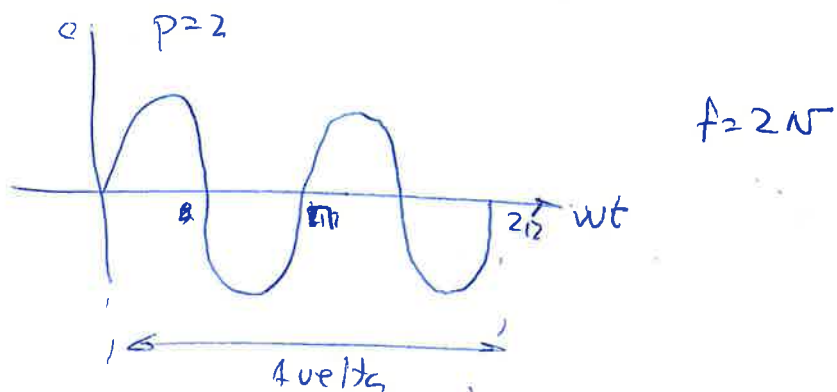
$$p=1 \quad N \text{ rps}$$

$$f=N$$

para la máquina bipolar, origina un periodo completo cuando hace una vuelta la máquina bipolar tiene una frecuencia $f=1$



los dos magnetos van a girar a las mismas velocidades por seg.



el análisis de un mag. tetrapolar de P pares de polos da
frecuencia originada en la máquina es $f = PN$.

Ausulo eléctrico } se puede poner un motor de ~~un~~ bipolar o
velocidad eléctrica } bipolar.

Si el mag. tetrapolar hace un ciclo completo con 180 interventos de
la máquina bipolar lo hace 360°

$$\theta_e = 2\theta_m$$

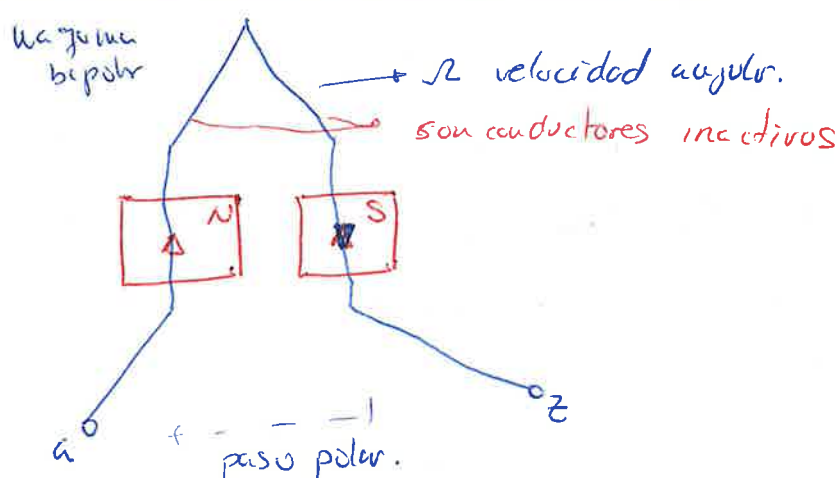
ausulo eléctrico ángulo recorrido

$$\text{con } P \text{ pares} \quad \boxed{\theta_e = P\theta_m}$$

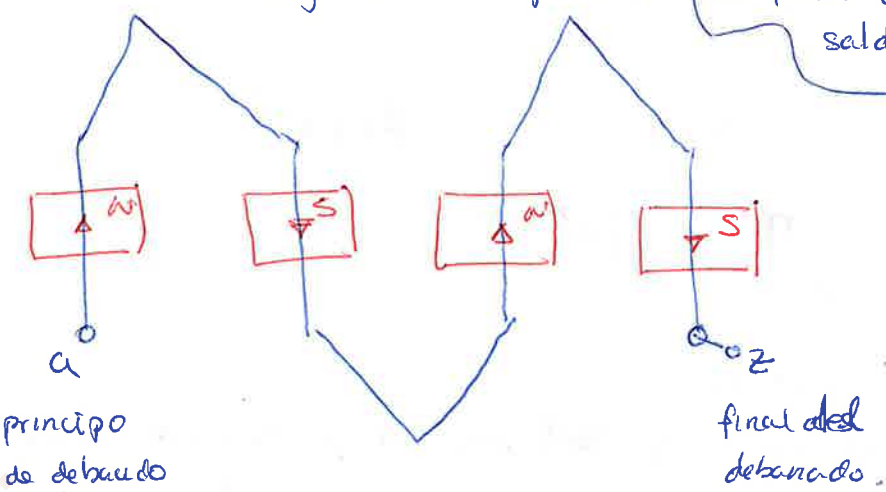
$$W = P \cdot S$$

velocidad recorrida.
velocidad eléctrica.

Representación geométrica del motor.



en el caso de un imán en forma tetrapolar. La fuerza electrostática inducida saldrá más baja: $E_{ux} =$

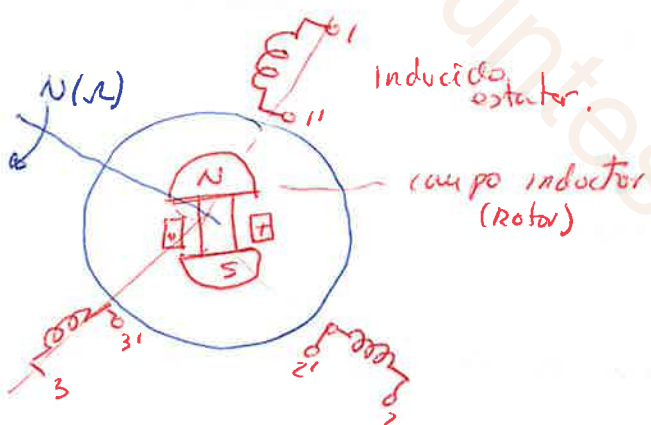


final del debanado.

ALTERNA DO R. trifásico bipolar

sist. trifásico bipolar es aquél que consta de 3 fuerzas electromotrices del mismo módulo, de misma frecuencia y cuyos valores están desplazados en el tiempo según el período.

Cuando 3 bobinas desplazadas 120° .



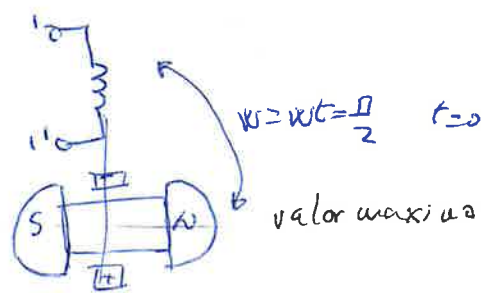
esta se produce al mismo flujo enductivo, el módulo de las tres F-elecr. $E_{1mx} = E_{2mx} = E_{3mx}$ por el giro de \vec{B} giratorio es igual $= n \Phi_{ux}$. Y como los tres son iguales / las llaman E_{mx} . velocidad angular, decíase

los valores eficaces son iguales en los tres bobines:

$$E_1 = E_2 = E_3 = E_{mx} = \frac{2\pi}{r^2} N \sin \phi_{mx} = 4'44 \text{ } N \pi \Phi_{ux}$$

$$\omega = \tau \quad p=1 \quad N=f. \quad = 4'44 \text{ } f \pi \Phi_{ux}$$

la rueda polar tiene que ocupar esta posición

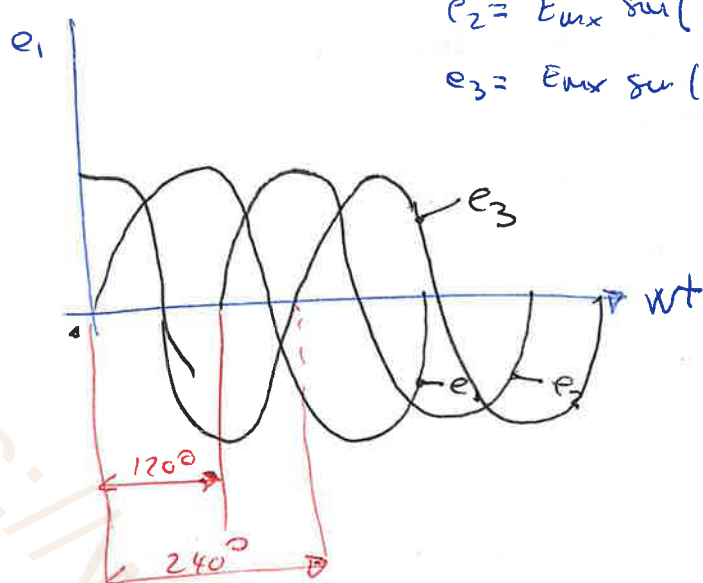


$$t=0 \quad e_1 = E_{mx}$$

$e_1 = E_{mx} \sin \omega t$ 1^{er} fase del vector trifásico

$$e_2 = E_{mx} \sin(\omega t - \frac{2\pi}{3}) \quad 2^{\text{da}} \text{ fase}$$

$$e_3 = E_{mx} \sin(\omega t - 240^\circ) \quad 3^{\text{er}} \text{ fase.}$$

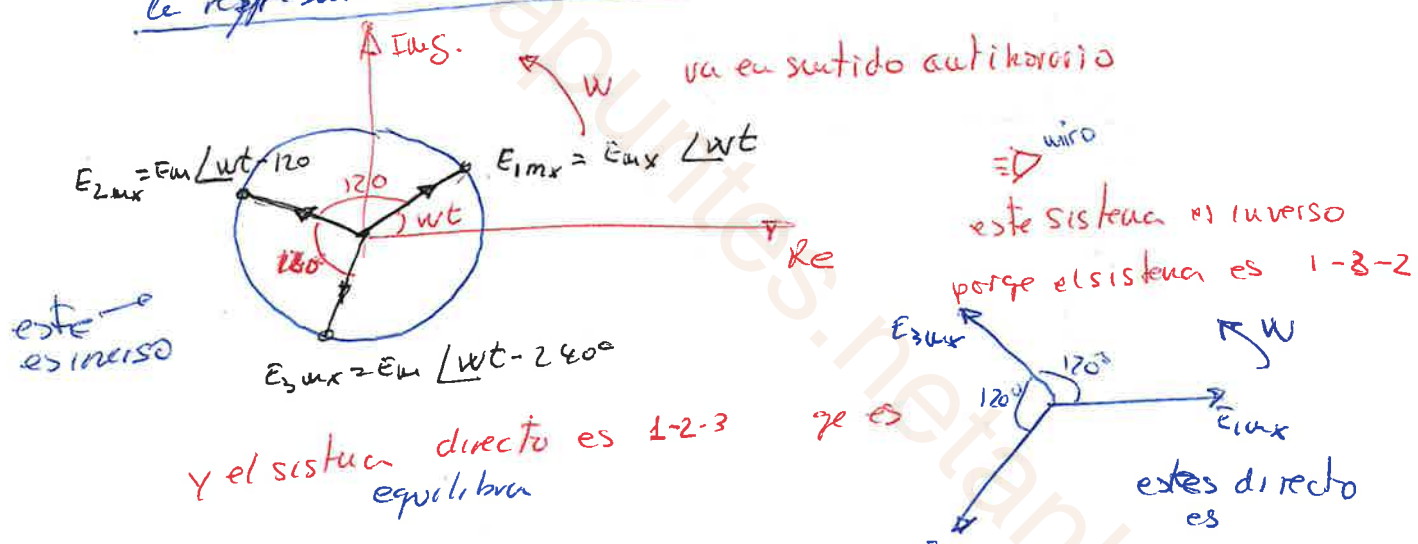


$$\bar{E}_1 = E \angle \omega t$$

$$\bar{E}_2 = E \angle \omega t - 120^\circ$$

$$\bar{E}_3 = E \angle \omega t - 240^\circ$$

la representación sistemática de los tres series.



valores eficaces $\bar{E}_1 = E \angle 0^\circ$

$$\bar{E}_2 = E \angle -120^\circ$$

$$\bar{E}_3 = E \angle -240^\circ$$

La red multipolar genera una frecuencia

severa de $f = \frac{PN}{60}$

En Europa se trabajan a 50 ciclos por segundo (50Hz)

$$f = \frac{PN}{60}$$

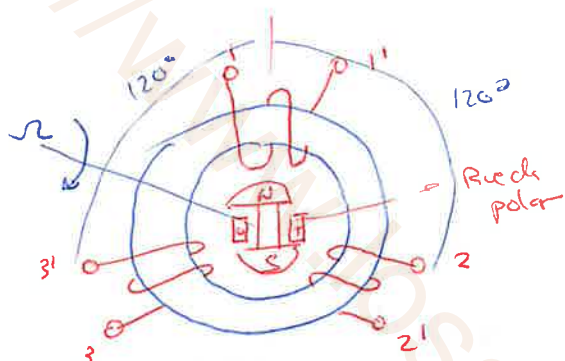
$N = \frac{60f}{P} = \frac{60 \cdot 50}{1} = 3.000 \text{ RPM.}$

$N = \frac{60 \cdot f}{P} = \frac{60 \cdot 50}{2} = 1500 \text{ RPM}$

$N = \frac{60 \cdot f}{P} = \frac{60 \cdot 50}{10} = 300 \text{ RPM}$

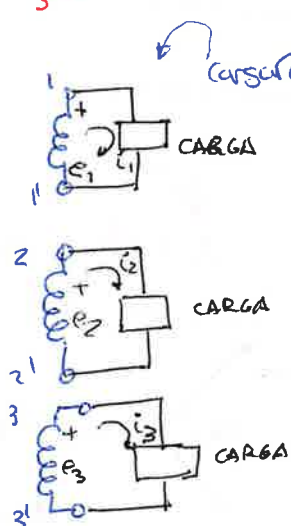
$P = 1$ un par de polos
 $P = 2$ dos pares de polos
 $P = 10$
 $P = n$ n pares de polos.

ALTERNAOTOR TRIFASICO BIPOAR.



& coloca tres bobinas a 120°

1 principio de fase 1 y 1' final de fase
 1.



cada una fase con una carga.

Lo que representa la carga:

E_{1x}

$E_1 = E_p \sqrt{2} \sin \omega t \rightarrow$

$E_2 = E \sqrt{2} \sin (\omega t - 120^\circ) \rightarrow$

$E_3 = E \sqrt{2} \sin (\omega t - 240^\circ) \rightarrow$

sistema de Fuerzas eléctricas equilibradas.

$$\rightarrow i_1 = I \sqrt{2} \sin(\omega t - \varphi)$$

$$I = \frac{E}{Z} = E Y$$

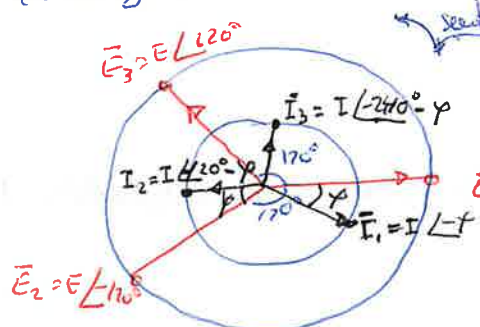
$$\rightarrow i_2 = I \sqrt{2} \sin(\omega t - 120^\circ - \varphi)$$

$$Y = \sqrt{G^2 + B^2}$$

$$\rightarrow i_3 = I \sqrt{2} \sin(\omega t - 240^\circ - \varphi)$$

$$B = \frac{1}{\omega d}$$

el diagrama de fasores sería:



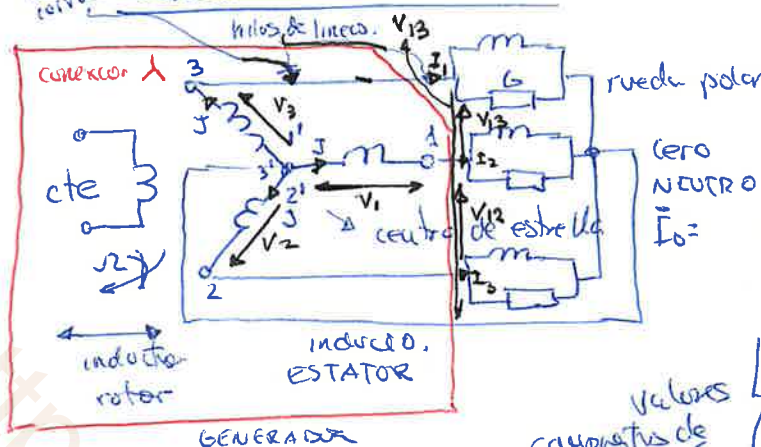
sentido antihorario

• mismo modo, mismo desplazamiento sistema trifásico equilibrado de corriente

$$E_1 = E \angle 0^\circ \quad \text{el angulo de fase es } \varphi = \tan^{-1} \frac{B}{G}$$

hilos de fase
corriente de fase

CONEXIÓN ESTRELLA. λ

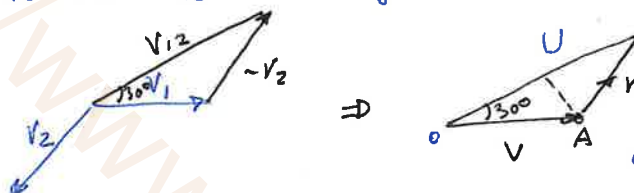


ruedas polares qe originan un campo cte. Le colocamos su carga en cada una.

en bornes de cada fase se lleva tensión simple V_1, V_2, V_3

entre los hilos 1 y 2 lo lleva V_{12}
" " hilos 3 y 2 lo lleva V_{23}
" " " " 1 y 3 " " V_{31} } el sentido convencional

La tensión V_{12} lo consigo:



$$\frac{U}{2} = V \cos 30^\circ$$

$$\frac{U}{2} = V \frac{\sqrt{3}}{2}$$

desde el círculo de A traza una recta normal.

$$U = \sqrt{3} V$$

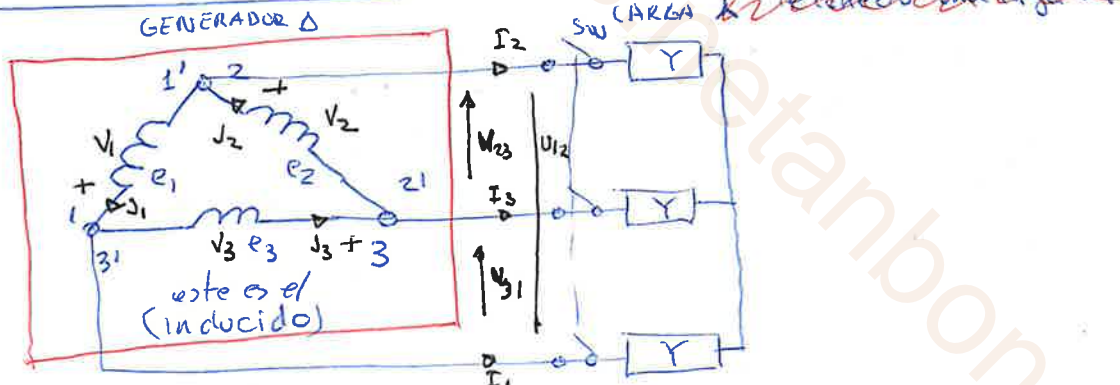
es tres veces mayor
 $\sqrt{3}$ veces.

$I_0 = I_1 + I_2 + I_3$ } la suma resultante tiene que ser cero porque este es el punto neutro

(esta que está en el exterior)
corriente de líneas = I } $I = J$
(corriente de fase = J
esta que está en el interior)

es sistema de transmisión de tres hilos.

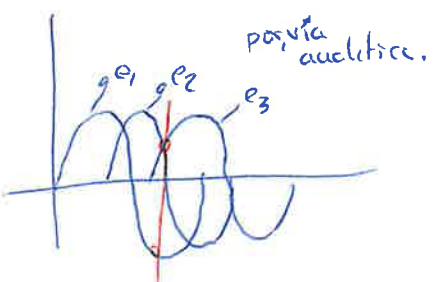
CONEXIÓN TRIÁNGULO Δ



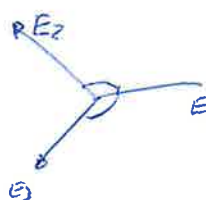
el interruptor SW lo considero abierto $SW=0$ (no hay corriente alguna)

$\sum e = e_1 + e_2 + e_3$ (para valores instantáneos se hace la suma algebraica)

$$\sum e = E\sqrt{2}\sin \omega t + E\sqrt{2}\sin(\omega t - 120^\circ) + E\sqrt{2}\sin(\omega t + 120^\circ) = 0$$



por la simetría.



Cuando el interruptor esté cerrado circulará corriente por el generador, entonces existirán tres tensiones V_1 , V_2 , V_3 . (valores simples de tensión)

Las tensiones simples y las tensiones compuestas coinciden $\Rightarrow U = V$
Las corrientes serán distintas,

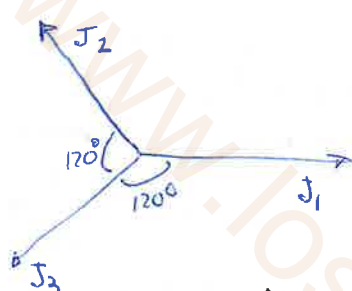
$$\text{nodo } ① \quad \bar{J}_1 = \bar{J}_3 + \bar{I}_1 \quad \rightarrow \quad \bar{I}_1 = \bar{J}_1 - \bar{J}_3$$

$$\text{nodo } ② \quad \bar{J}_2 = \bar{J}_1 + \bar{I}_2 \quad \rightarrow \quad \bar{I}_2 = \bar{J}_2 - \bar{J}_1$$

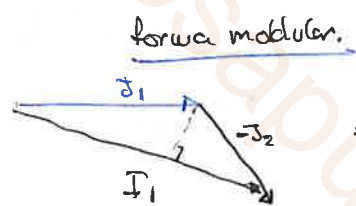
$$\text{nodo } ③ \quad \bar{J}_3 = \bar{J}_2 + \bar{I}_3 \quad \rightarrow \quad \bar{I}_3 = \bar{J}_3 - \bar{J}_2$$

Las intensidades de líneas

Intensidades de linea



Tres corrientes con mismo módulo es igual a cero



B

$$\frac{I}{2} = J \cos 30^\circ$$

$$|I| = \sqrt{3} |J|$$

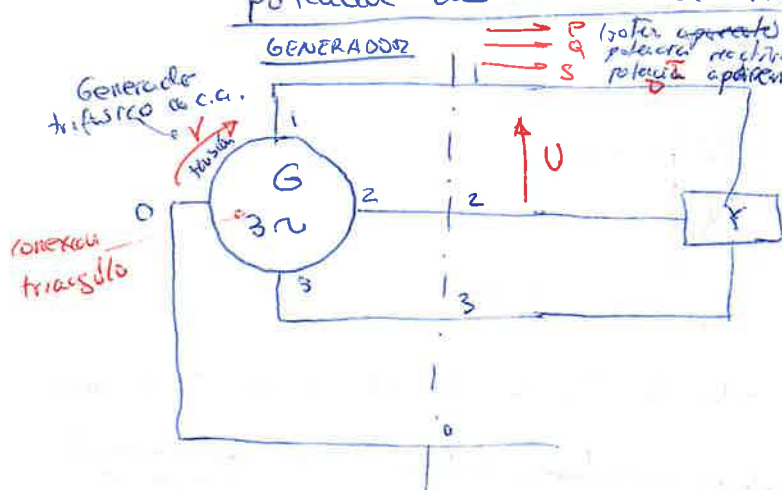
corriente de fase

la conexión Δ es tres veces la tensión de fase mayor a la tensión de fase

$$|I| = \sqrt{3} |J|$$

$$U = V$$

Potencia de un sistema trifásico.



GENERADORES

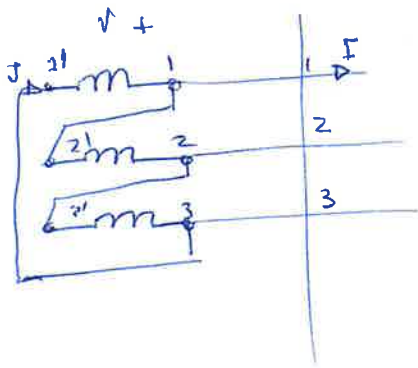
Potencia activa
potencia reactiva
potencia aparente

valor por fase
 $S_f = V \cdot I$

inductancia

$$S_f = V \cdot I = V \frac{I}{\sqrt{3}}$$

(el potencial por fase de A y B son iguales).

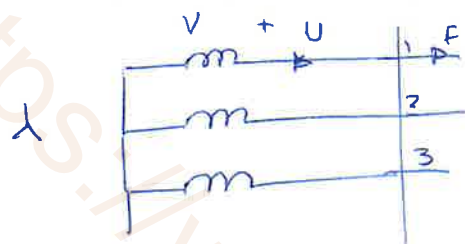


Δ

tres fases
S = $3 S_f = \text{pot. aparente trif.}$

$$\lambda = S = \frac{3 UI}{\sqrt{3}} = \sqrt{3} UI$$

$$A = S = \frac{3 UI_F}{\sqrt{3}} = \sqrt{3} UI$$



$$P_f = V I \cos \varphi \rightarrow P = 3 P_f = \frac{3 UI}{\sqrt{3}} \cos \varphi = \sqrt{3} UI \cos \varphi$$

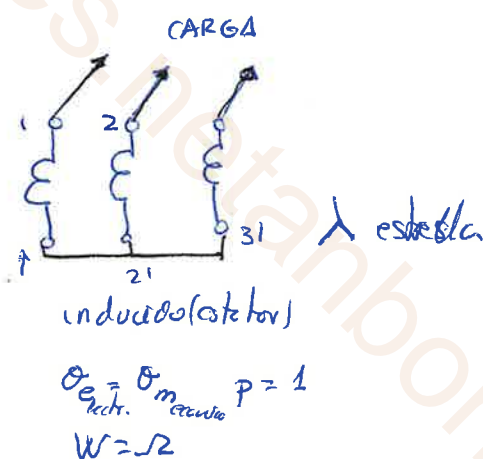
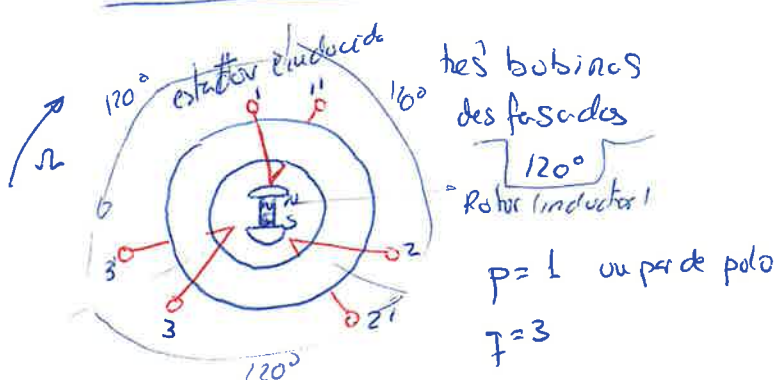
poteriu
de fase aparente

$$Q_f = V I \sin \varphi \rightarrow Q = 3 Q_f = \sqrt{3} UI \sin \varphi$$

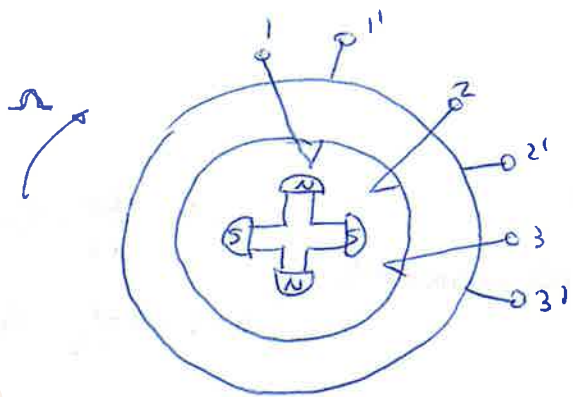
poteriu
reactiv
de fase.

GENERADOR TRIFASICO MULTIPOLAR.

Generador trifásico bipolar.

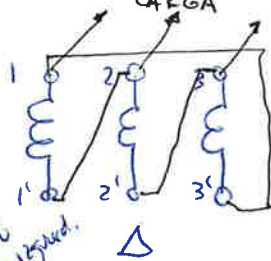


trifásica hexapolar.



$p=2$ (pares de polos)
 $q=3$ (nº de fases)

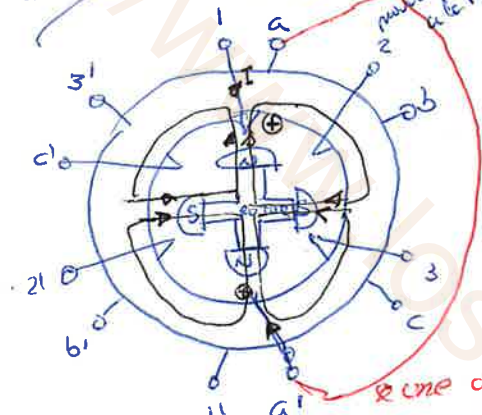
conex. triángulo



$$\theta_e = p \theta_m = 2\theta_m$$

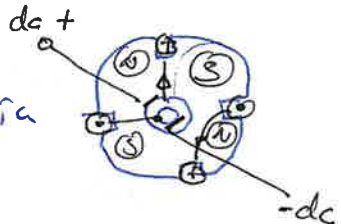
$$W = p \tau L = 2 \tau L$$

movimiento rotar
corriente entre el B norte crima el recto a la izquier.
1 2 3 1' 2' 3'

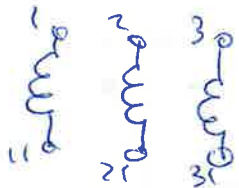


tiene dos bobinas por fases

el rotor del interior sería

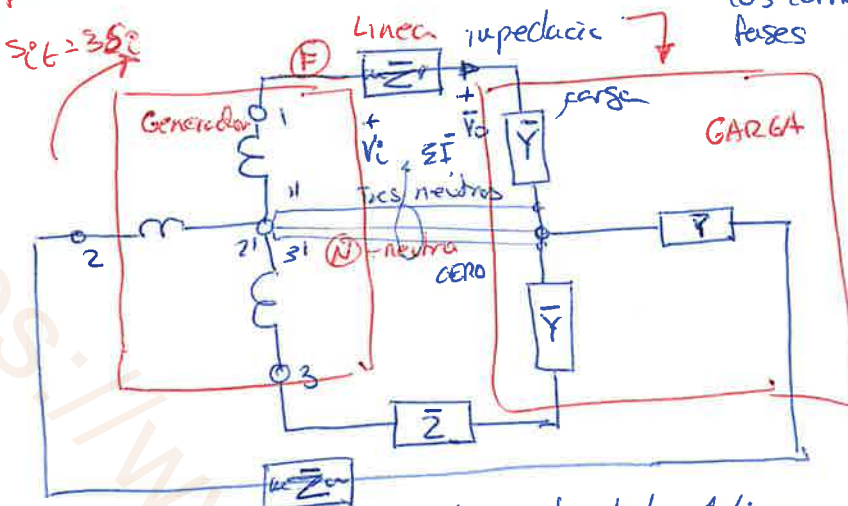


γ se daría



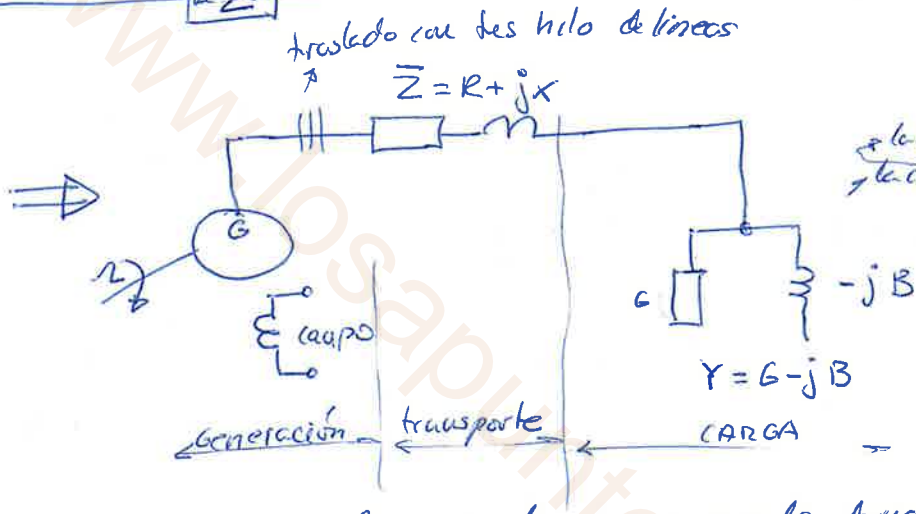
Análisis de un circuito trifásico equilibrado mediante un circuito monofásico equivalente

parte a) esat.

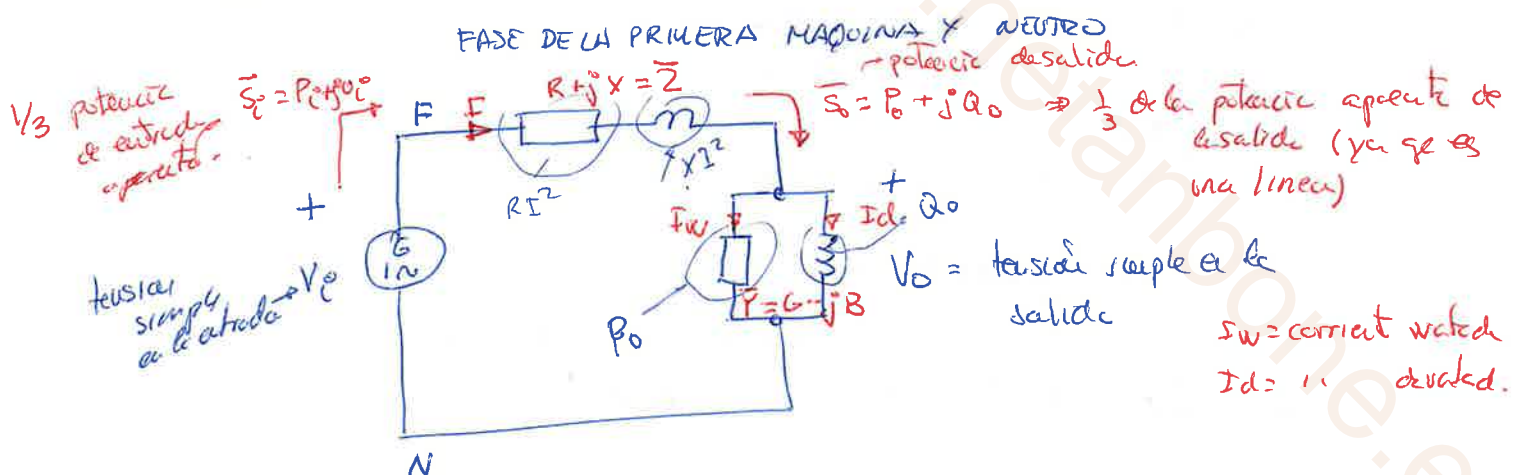


$S_{1f} = 3S_0$ los corrientes en las fases son iguales en magnitud pero desfasados 120°

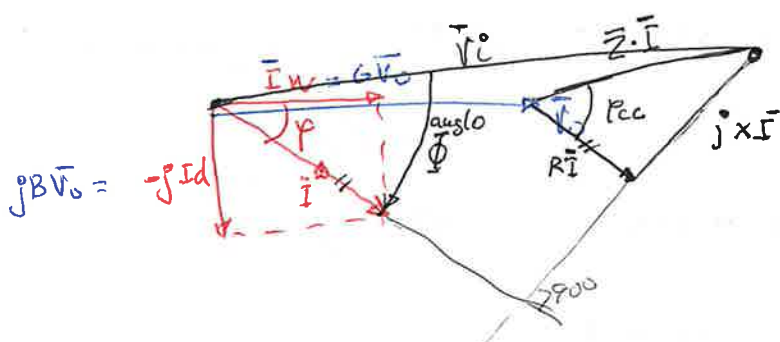
la corriente del neutro vale cero.



Lo que ocurre en una fase es lo mismo para las demás fases pero desfasado 120° una de otra.



$$p = \omega^{-1} \frac{B}{G}$$



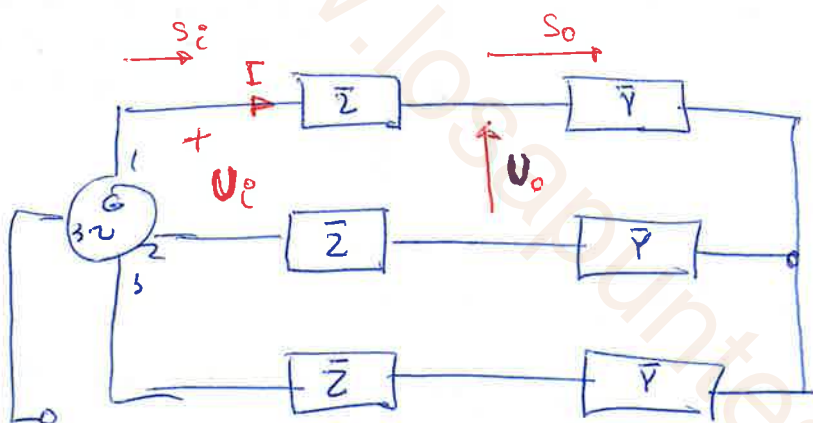
$$\bar{S}_o = P_o + jQ_o = \left[I_w^2 \frac{1}{G} \right] + j \left[I_d^2 \frac{1}{B} \right] = \left[(GV_o)^2 \frac{1}{G} \right] + j \left[(BV_o)^2 \frac{1}{B} \right] = \\ = (V_o^2 G) + j (V_o^2 B) = S \cos \varphi + j S \sin \varphi$$

(coste) linea

$P_i^o = P_o + RI^2$	d.e. resistencia
$Q_i^o = Q_o + XI^2$	d.e. bobina

potencia activa linea
reactiva de entrada es igual

Ejemplo



$$\bar{Z} = 3 + j4 \Omega$$

potencia de salida

$$V_o = 50 \text{ KV}$$

$$P_o = 1000 \text{ KW}$$

$$f_{dp} = \cos \varphi = 0.8 \text{ inductivo}$$

Determinar la $|U_i^o|$ en la entrada
y la potencia activa en la
entrada $[P_i^o]$

$$U_o = \frac{V_o}{\sqrt{3}} = \frac{50000}{\sqrt{3}} = 28867'51 \text{ V}$$

$$I = \frac{P_o}{\sqrt{3} V_o \cos \varphi} = \frac{1000 \text{ KW}}{\sqrt{3} 50 \text{ KV} \cdot 0.8} = 14'43 \text{ A}$$

$$\bar{V}_o = V_o \angle 0^\circ = 28867'51 \angle 0^\circ$$

es negativo al ser inductivo.

$$\bar{I} = I \angle \varphi = 14'43 \angle -36'87^\circ \quad \text{arcos } 0.8 = -36'87$$

$$\bar{Z} = 3 + j4 = 5 \angle 53'13^\circ$$

$$\bar{V}_i^o = \bar{V}_o + \bar{Z} \bar{I} = 28867'51 \angle 0^\circ + 5 \angle 53'13^\circ \cdot 14'43 \angle -36'87^\circ =$$

según la
grafica de afo

$$72'15 \angle 626^\circ \text{ forma binaria.}$$

$$28936'77 + j20'20 = 28936'78 \angle 0'08^\circ$$

$$69'26 + j20'20$$

$$U_i^o = \sqrt{3} V_i^o = \sqrt{3} 28936'78 = 50120 \text{ V}$$

Potencia

$$\text{activa de } P_i = P_0 + RI^2$$

$$\text{de entrada } \left[P_i = \frac{1000 \text{ kW}}{R} + (3)(0.443)^2 \cdot 10^3 = 333.96 \text{ kW} \right]$$

~~trifásico~~ se divide entre 3 porque estan en igualdad en la linea de fase.

$$P_{it} = 3 P_i = 1001.87 \text{ kW}$$

Potencia activa \rightarrow

trifásica total.

-o-

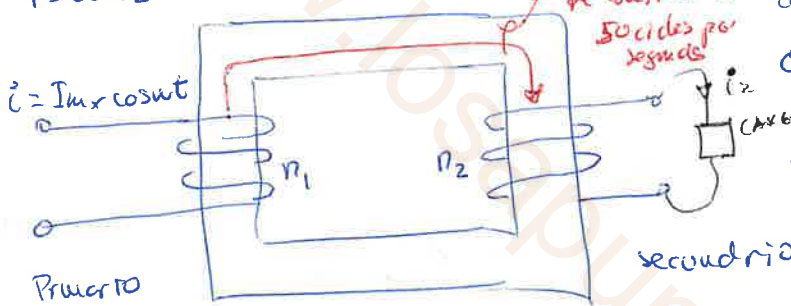
Término para poder resolver los problemas

Fuerza electromotriz de transformación transformadores.

$$W = 2\pi f = 100 \pi$$

TRANSFORMADORES

$$f = 50 \text{ Hz}$$



Sobre el nudo ferromagnético
actúan un devanado y circuito con
corriente $I = \text{Imx} \cos wt$

$$E = IV_2 \cos wt = \text{Imx} \cos wt$$

$$B = \mu H = \mu \frac{\text{Imx}}{l} \Rightarrow \mu \frac{n_1}{l} \text{Imx} \cos wt = B_{mx} \cos wt$$

$$= B_{mx} \cos wt$$

$$B_{mx} = \mu \frac{n_1}{l} \text{Imx}$$

flujo variable

$$B = BS \quad e = -n_2 \frac{d}{dt} \Phi$$

$$e = -n_2 \frac{d}{dt} SB_{mx} \cos wt$$

$$e = (n_2 B_{mx} w S) \sin wt$$

$$E_{mx} = n_2 B_{mx} w S \quad \Phi_{mx}$$

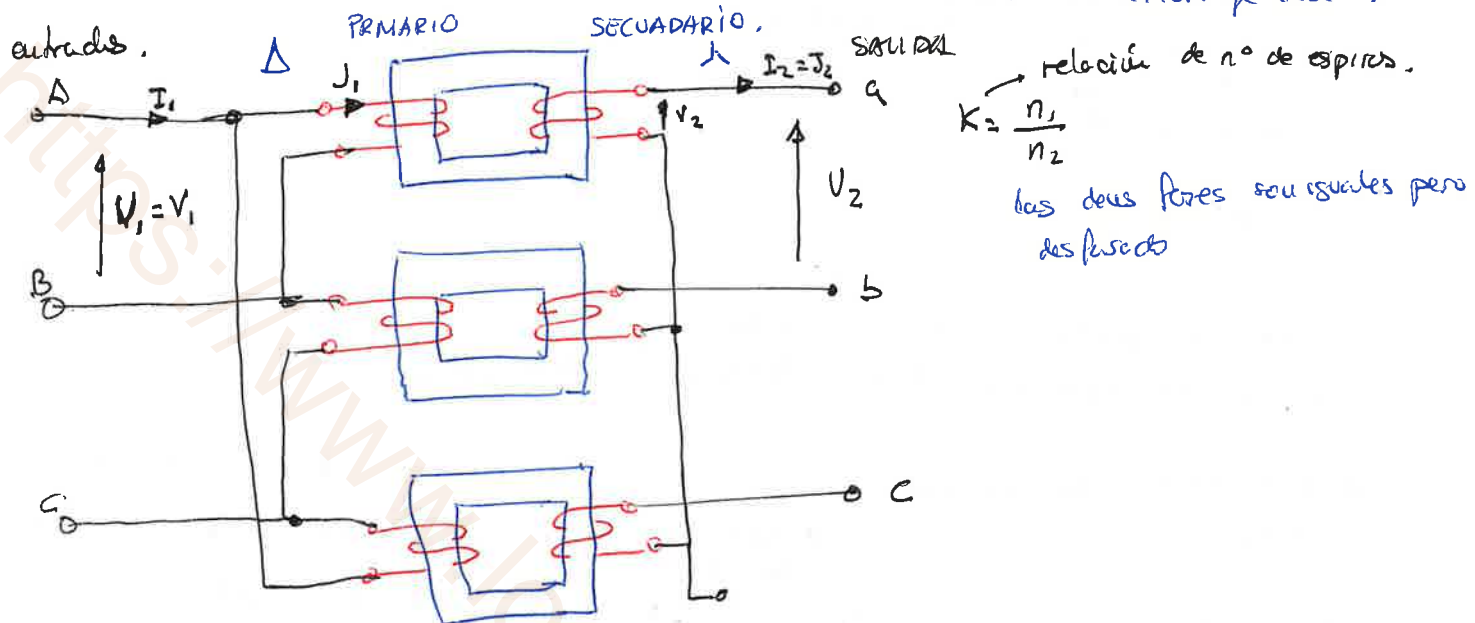
$$E = \frac{E_{mx}}{\sqrt{2}} = \frac{2\pi}{l} n_2 B_{mx} S f$$

$$E = 4.44 n_2 \Phi_{mx} f$$

TRANSFORMACION TRIFASICA

es aquella que sirve para transformar un sistema equilibrado de tensiones en otro sistema equilibrado de tensiones.

BANCO TRIFASICO DE TRANSFORMACION: este son las tres fases y puedo hacer la conexión que desee.



CAPITULO 7. ejercicio 105. PARKER.

calcular los componentes activos y reactivos de la corriente de la otra

en corriente de

$$fd_p = 0'8 = \cos \varphi_{\text{inductiva}} (\text{sin inducción})$$

$$V = 10000 \text{ V} \quad (\text{valor de tensión compuesta})$$

$$P_s = 5000 \text{ kW}$$

$$\star \quad fd_p = 0'9 = \cos \varphi'$$

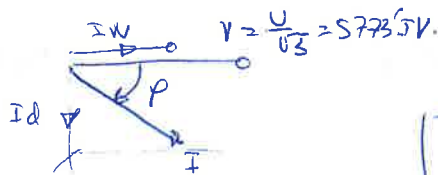
$$U = 10 \text{ KV}$$

$$P = 5 \text{ MW}$$

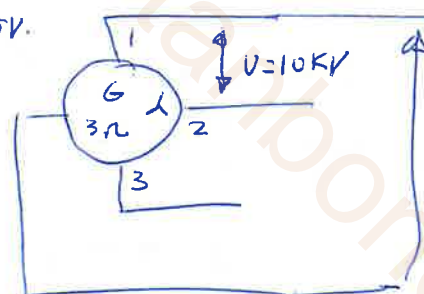
$$\bullet \quad I_W ? \quad I_d ?$$

$$P = \sqrt{3} \cdot U \cdot I \cos \varphi = \sqrt{3} \cdot U \cdot I_W =$$

$$I_W = I \cos \varphi$$



$$\frac{Q}{P} = \frac{X}{R}$$



$$V = \frac{U}{\sqrt{3}} = 5773.5 \text{ V}$$

corriente total

$$I_W = \frac{P}{\sqrt{3} \cdot U} = \frac{5000}{\sqrt{3} \cdot 10^3} = 288.68 \text{ A}$$

$$\cos \varphi = 0'8$$

$$Q = \sqrt{3} U \cdot \sin \varphi$$

$$36'8$$

$$833.3$$

$$\tan 36'8 = 0'75$$

$$\sin \varphi = 0'6$$

$$fd_p = 0'75 = \frac{I_d}{I_W}$$

$$\cot \varphi = \tan \varphi = 0'75$$

$$I_d = (0'75) / 288.68 = 216.51 \text{ A}$$

corriente de reactancia.

$$\text{la corriente total } \bar{I} = I_W - j I_d = \sqrt{I_W^2 + I_d^2} = \angle \varphi = -36'70^\circ \quad \bar{I} = 360'85 / 36'870$$

$$I' = I$$

$$\boxed{P' = \sqrt{3} U I' \cos \varphi' = \sqrt{3} (230)(13,28)(0,8) = 5625,06 \text{ kW}}$$

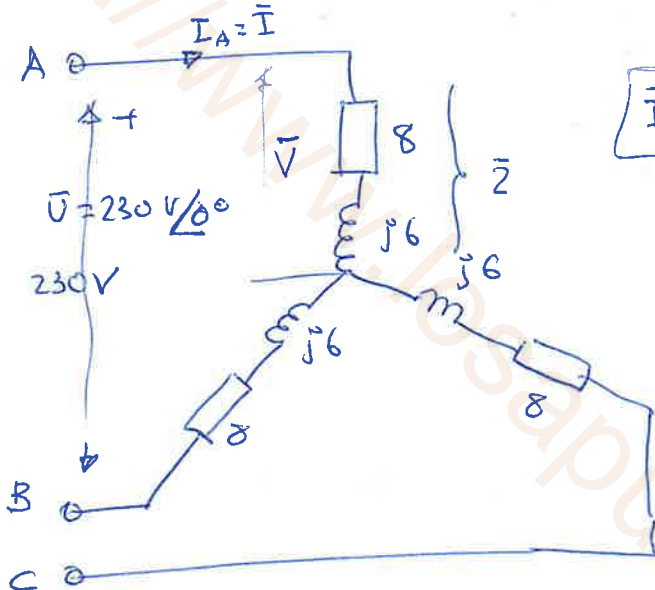
7. 106 PARKER.

Una cerca equil. conectada en ~~Δ~~ con valor $\bar{Z} = 8 + j6 \Omega$
 $U = 230 \text{ V}$

Hallar \bar{I} (corriente de fase), la potencia

¿ $[133 \text{ A}, 0,8, 4250 \text{ W}, 3180 \text{ VAR}, 5280 \text{ VA}]?$

I_A fdp Pactiva. Q_{reactiva} Q_{total}



$$\boxed{\bar{I}_A = \frac{\bar{V}}{\bar{Z}} = \frac{230}{8 + j6} = 13,28 \angle -36,87^\circ \text{ Aphas}}$$

$$\gamma = \tan^{-1} \frac{X}{R} = \tan^{-1} \frac{6}{8} = 0,75$$

$$\boxed{P_{\text{dp}} = \cos \varphi = \cos (-36,87) = 0,8}$$

$$\boxed{P = \sqrt{3} U I \cos \varphi = \sqrt{3} (230)(13,28)(0,8) = 4232 \text{ W.}}$$

$$\bar{S} = 3\bar{V}\bar{I}^* = P + jQ$$

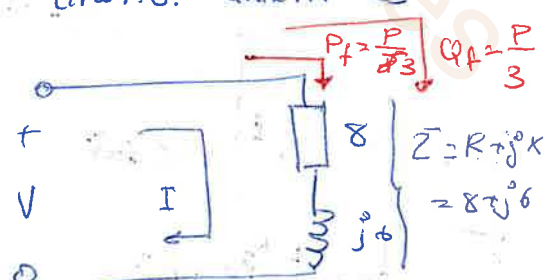
$$\boxed{Q = \sqrt{3} U I \sin \varphi = \sqrt{3} (230)(13,28) \times 0,6 = 3174,23 \text{ VARs}}$$

$$\sin \varphi = 0,6$$

$$\boxed{S = \sqrt{P^2 + Q^2} = 5290,14 \text{ VA}}$$

potencia
total

monofásico equivalente del
circuito. Escribir es



PROBLEMA

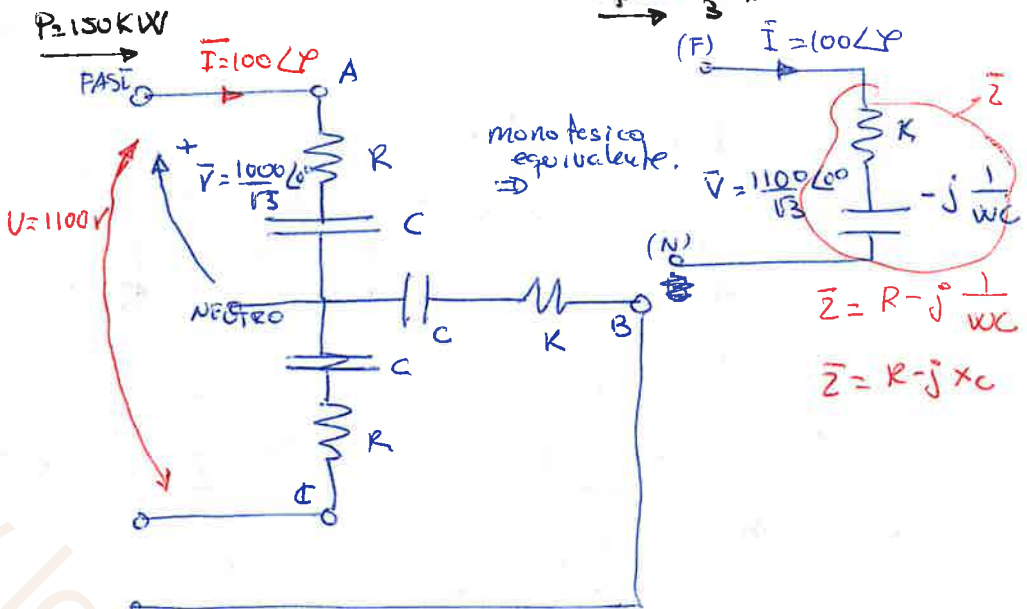
PARKER 7.107. Una carga trifásica equilibrada conect. en Δ de 150 kW tiene una corriente de adelanto de 100 $\angle \varphi^A = I_{\text{ca}}$ con una tensión de fase $U = 1100 \text{ V}$ $f = 50 \text{ Hz}$. Hallar la cte del circuito de carga por fase, los datos es R y XC

$$\left\{ \begin{array}{l} P = 150 \text{ kW} \\ 100 \angle \varphi^A = I \\ U = 1100 \text{ V} \\ f = 50 \text{ Hz} \end{array} \right.$$

Solución [$R = 5 \Omega$ $C = 810 \mu\text{F}$]

$$P_f = \frac{150}{3} \text{ kW}$$

$$(F) \rightarrow I = 100 \angle \varphi$$



Otra forma para hallar el cos φ

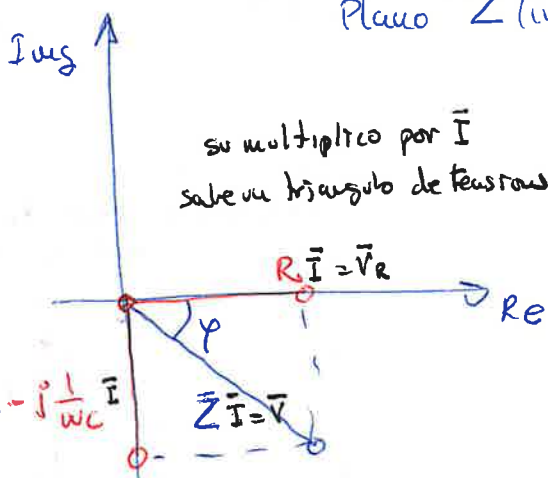
$$\left\{ \begin{array}{l} J = I \cos \varphi \\ P_f = V \sqrt{3} \cos \varphi = V \cdot I \cos \varphi \\ \frac{150 \cdot 10^3}{3} = \frac{1100}{\sqrt{3}} (100) \cos \varphi \Rightarrow \cos \varphi = 0.79 \quad | \tan \varphi = 0.79 \end{array} \right.$$

Otra forma para hallar el cursor φ

$$\left\{ \begin{array}{l} P = \sqrt{3} U I \cos \varphi \\ 150 \cdot 10^3 = \sqrt{3} (1100) (100) \cos \varphi \quad | \cos \varphi = 0.79 \end{array} \right.$$

anexo Representación gráfica de los elementos. R y C.

Plano Z (impedancia)



$$\bar{Z} = \frac{\bar{V}}{\bar{I}} = \frac{\sqrt{100}}{I \angle \varphi} = \frac{V}{I} \angle -\varphi = Z \angle -\varphi =$$

$$Z \cos \varphi - j Z \sin \varphi = R - j X_C$$

$$\bar{Z} = \frac{1100}{100} \angle -\varphi = \frac{1100}{\sqrt{3} \cdot 100} \angle -38.07^\circ =$$

$$\bar{Z} = 6.35 \angle -38.07^\circ \text{ la parte de fuerza binomial}$$

$$\bar{Z} = 5.00 - j 3.92 \text{ (Ω)}$$

entonces $R = 5 \Omega$
es decir en radianes y los multiplicar

$$X_C = 3.92 \Omega \quad X_C = \frac{1}{wC} = \frac{1}{2\pi f C} \quad 3.92 = \frac{1}{C} \quad 3.92 = 1 \quad 10^6 \text{ para que sea en } \mu\text{F} \quad C = 812.83 \mu\text{F}$$

Problema de conviencio λ - Δ

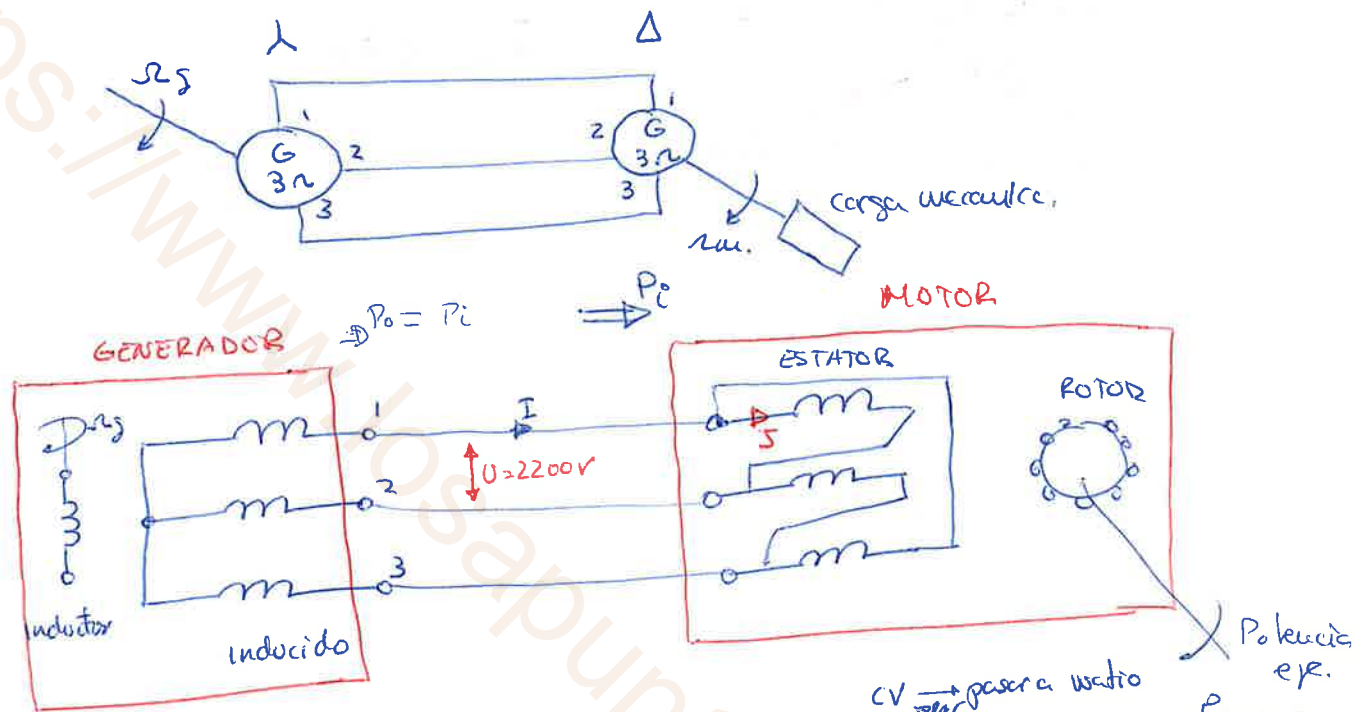
Parker 7.142.

Un alternador trifásico conectado en λ

λ Generador Δ motor. - 2000 CV fdp = 0'85 $r_e = 0'93$ $2200V$ tensión de linea.

a) solución [496A, 421A 262A])

b) [286A, 243A 151A])



$$P_i = \frac{P_{pe}}{2} = \frac{1492 \text{ kW}}{0'93} = 1604'30 \text{ kW}$$

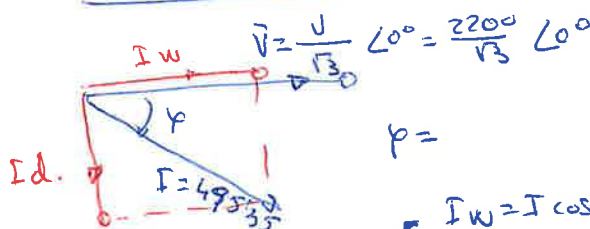
$$P_i = \sqrt{3} V I \cos \varphi = 10^3 \cdot 1604'30 = \sqrt{3} (2200) I (0'85)$$

$$P_{pe} = 2000 \frac{CV}{746} = (2000)(746)^W = 1492 \text{ kW}$$

$$I = 495'32 \text{ A}$$

corriente absorbida por el estator.

Diagrama vectorial



$$\varphi = \cos^{-1} 0'85 = 31'78$$

$$\sin 31'78 = 0'53$$

$$I_W = I \cos \varphi = (495'32)(0'85) = 421'02 \text{ A}$$

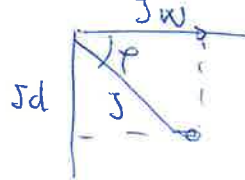
$$F_d = F \sin \varphi = (495'32)(0'53) = 260'93 \text{ N}$$

$$I_W = 421'02 \text{ A}$$

$$F_d = 260'93 \text{ N}$$

$$\text{Si } F = 495'32 \text{ A} \Rightarrow \text{la } J \text{ en el motor} \quad J = \frac{I}{\sqrt{3}} = \frac{495'32}{\sqrt{3}} = 285'97 \text{ A}$$

$$\text{en el conductor } \bar{V} = V \angle 0^\circ = 2200 \angle 0^\circ$$

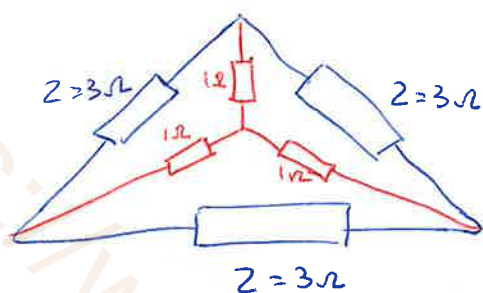


$$J_w = J \cos \varphi = (285'97) (0'85) = 243'08 A$$

$$J_d = J \sin \varphi = (285'97) (0'53) = 151 A$$

la corriente del motor Δ

conexion estrella triangulo



$$\bar{Z}_\Delta = \frac{1}{3} \bar{Z}_Y$$

PROBLEMA.

CIRCUITO PARALELO MONOFÁSICO. PARKER 7.42.

$$\bar{Z}_1 = 10 + j15 \text{ } (\Omega)$$

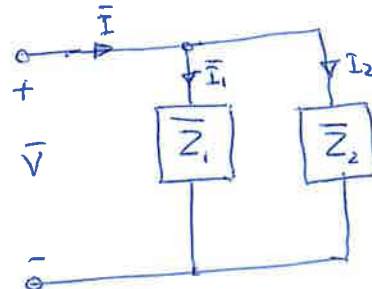
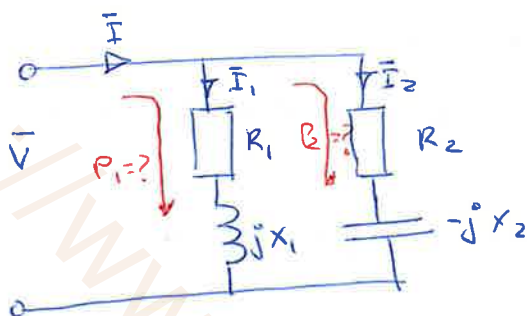
¿Cuál es la potencia absorbida por cada rama?

$$\bar{Z}_2 = 6 - j8 \text{ } (\Omega)$$

Solución [73.7W 1430W]

$$I = 15A$$

modelo de circuito



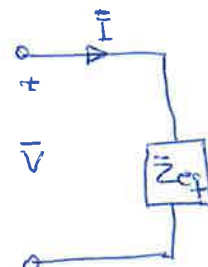
$$\bar{I}_1 = \frac{\bar{V}}{\bar{Z}_1}$$

$$\bar{I}_2 = \frac{\bar{V}}{\bar{Z}_2}$$

$$\bar{I} = \bar{I}_1 + \bar{I}_2$$

$$\bar{I} = \left[\frac{\bar{Z}_1 + \bar{Z}_2}{\bar{Z}_1 \bar{Z}_2} \right] \bar{V}$$

$$\bar{I} = \bar{V} \frac{1}{\left(\frac{\bar{Z}_1 \bar{Z}_2}{\bar{Z}_1 + \bar{Z}_2} \right)} = \frac{\bar{V}}{\bar{Z}_{eq}}$$



$$\text{como } \bar{V} = \bar{I}, \bar{Z}_1 = \bar{I}_1 \bar{Z}_1 = \bar{I}_1 \bar{Z}_2 = \bar{I} \bar{Z}_{eq} \quad (\text{vect.})$$

$$V = I_1 Z_1 = I_2 Z_2 = I Z_{eq}$$

$$\bar{Z}_1 = 10 + j15 = 18'03 \angle 56'31^\circ$$

$$\bar{Z}_2 = 6 - j8 = 10 \angle -53'13^\circ$$

$$\bar{Z}_1 \bar{Z}_2 = 180'3 \angle 3'18^\circ$$

$$\text{valor modular } I_1 = I \frac{Z_{eq}}{Z_1}$$

$$I_2 = I \frac{Z_{eq}}{Z_2}$$

$$\boxed{Z_{eq} = \frac{180'3 \angle 3'18^\circ}{(6 + j7) \angle 23'63^\circ} = 10'33 \angle -20'45^\circ}$$

Sabiendo I , Z_{eq} , Z_1 y Z_2
podemos calcular I_1 y I_2

$$\boxed{I_1 = I \frac{Z_{eq}}{Z_1} = 15 \cdot \frac{10'33}{18'03} = 8'59 \text{ A}} \quad \text{la potencia activa que se está desipando}$$

$$\text{sería } P_1 = K, I_1^2 = (10)(8'59)^2 = 8$$

$$\boxed{I_2 = I \frac{Z_{eq}}{Z_2} = 15 \cdot \frac{10'33}{10} = 15'5 \text{ A}}$$

$$\boxed{P_2 = 737'88 \text{ W}}$$

$$\boxed{P_2 = R_2 (I_2)^2 = (6)(15'5)^2 = 1441'50 \text{ W}}$$

Problema Parker 7-48. Circuito paralelo.

$$\left. \begin{array}{l} R_1 = 20 \Omega \\ L = 0.07 H \end{array} \right\}$$

Calcular la corriente de autoinducción y la

$$\left. \begin{array}{l} C = 60 \mu F \\ R_2 = 50 \Omega \end{array} \right\}$$

Solución [7.05 A 0.907 inductivo]

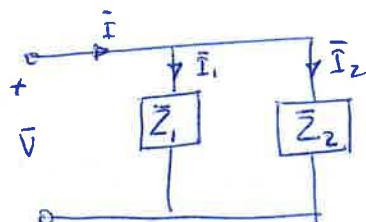
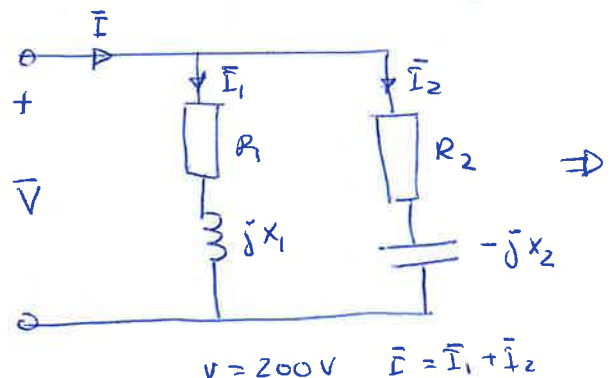
50 Hz 200 V

$$\text{RAMA 1: } X_1 = 2\pi f L = (2\pi 50)(0.07) = 22 \Omega$$

$$\text{RAMA 2: } X_2 = \frac{1}{\omega C} = \frac{10^6}{2\pi 50 \cdot 60} = 53.05 \Omega \quad \text{reactancia capacitiva}$$

para cualquier tipo de series

γ para régimen servido.



$$\left. \begin{array}{l} \bar{Z}_1 = 20 + j22 (\Omega) \\ \bar{Z}_2 = 50 - j53.05 (\Omega) \end{array} \right\} \quad \left. \begin{array}{l} Z_{eq} = \frac{\bar{Z}_1 \bar{Z}_2}{\bar{Z}_1 + \bar{Z}_2} \\ \bar{Y}_1 = G_1 - jB_1 \\ \bar{Y}_2 = G_2 - jB_2 \end{array} \right\}$$

$$\bar{I} = \bar{I}_1 + \bar{I}_2 = \bar{V} \frac{1}{\bar{Z}_1} + \bar{V} \frac{1}{\bar{Z}_2} \Rightarrow \bar{I} = \bar{V} \bar{Y}_1 + \bar{V} \bar{Y}_2 \quad \bar{I} = \bar{V} [\bar{Y}_1 + \bar{Y}_2]$$

$$\Rightarrow \bar{I} = \bar{V} \bar{Y}$$

$$\bar{Y} = \bar{Y}_1 + \bar{Y}_2$$

$$\bar{Y}_* = \frac{1}{Z_*} = \frac{1}{R + jX} = \frac{R - jX}{(R + jX)(R - jX)} = \frac{R - jX}{R^2 + X^2} = G - jB$$

otra forma de hacerlo:

$$G = \frac{R}{R^2 + X^2}$$

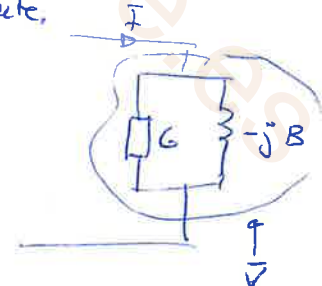
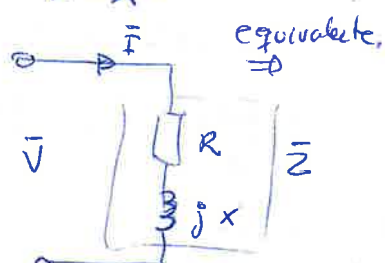
$$B = \frac{X}{R^2 + X^2}$$

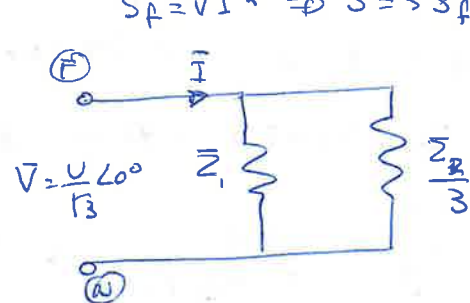
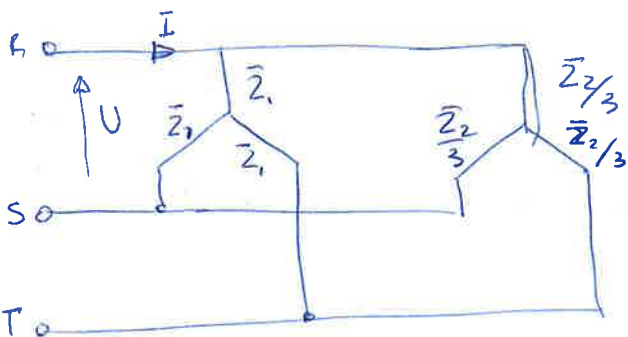
① Solución

$$\bar{I}_1 = \frac{\bar{V}}{\bar{Z}_1} = \frac{V \angle 0^\circ}{R_1 + jX_1} = \frac{V \angle 0^\circ}{Z_1} \quad \underline{Y_1 = G_1 - jB_1}$$

$$\bar{I}_2 = \frac{\bar{V}}{\bar{Z}_2} = \frac{V \angle 0^\circ}{R_2 - jX_2} = \frac{V \angle 0^\circ}{Z_2} \quad \underline{Y_2 = G_2 - jB_2}$$

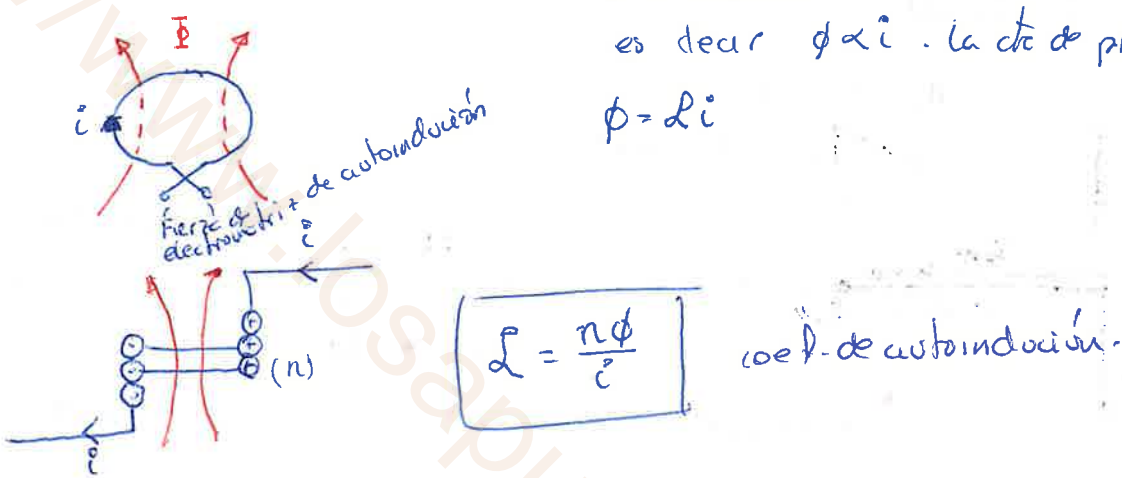
$$\bar{I} = \bar{I}_1 + \bar{I}_2 = I \angle \varphi$$





CUEF. DE AUTOINDUCCIÓN

Considera una espira situada en el vacío y recorrida por la corriente. Si la corriente es variable el flujo es variable. Es decir $\phi \propto i$. La constante de proporcionalidad es L .

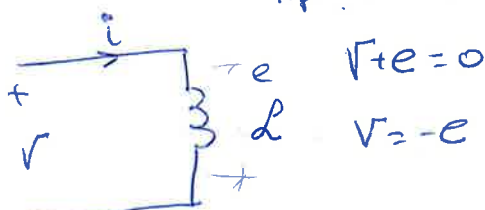


$$e = -n \frac{d\phi}{dt} \quad e = -\frac{d}{dt} n\phi = \boxed{e = -\frac{d}{dt} Li} \quad \text{expresión general.}$$

pero si $L = \text{cte}$ $\Rightarrow \boxed{e = -L \frac{di}{dt}}$

$$V = V_{\max} \sin \omega t$$

Apl. L-VK.



$-e$ fuerza contracorrente es cuando la e aparece de signo cambiado

$$-e = L \frac{di}{dt} \quad \text{f.c.e.m.}$$

fuerza contracorrente.

La diferencia de potencia en el bobinado es: $V = L \frac{di}{dt}$ $L = \frac{V}{di/dt}$ La unidad de abrumación del henrio.

Depende de la geometría y de permeabilidad del medio.

$$\bar{Z}_1 = 20 + j22 \Omega = 29'73 \angle 47'73^\circ$$

$$\bar{Z}_2 = 50 - j55'05 \Omega = 72'90 \angle -46'70^\circ$$

$$\bar{I}_1 = \frac{\bar{V}}{\bar{Z}_1} = \frac{200 \angle 0^\circ}{29'73 \angle 47'73^\circ} = 6'73 \angle -47'73^\circ = 4'52 - j4'98$$

$$R = 6'73 \cdot \cos 47'73^\circ = 4'52$$

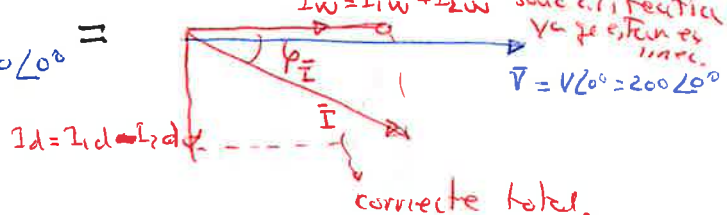
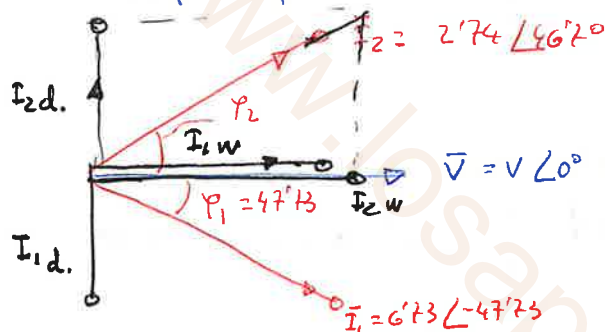
$$x = 6'73 \cdot \sin 47'73^\circ = 4'98$$

$$\bar{I}_2 = \frac{\bar{V}}{\bar{Z}_2} = \frac{200 \angle 0^\circ}{72'90 \angle -46'70^\circ} = 2'74 \angle 46'7^\circ = 1'88 + j2,00$$

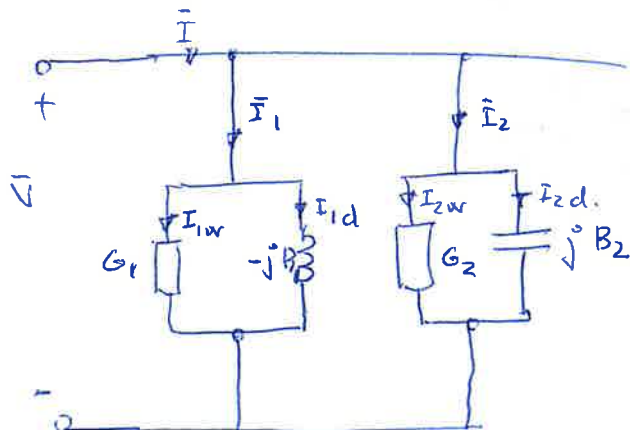
$$\bar{I}_1 = \bar{I}_1 + \bar{I}_2 = 6'40 - j2'98 = 7'06 \angle -24'97^\circ$$

$$I = 7'06 A$$

$$\cos \varphi = \text{fd} \varphi = 0'907.$$

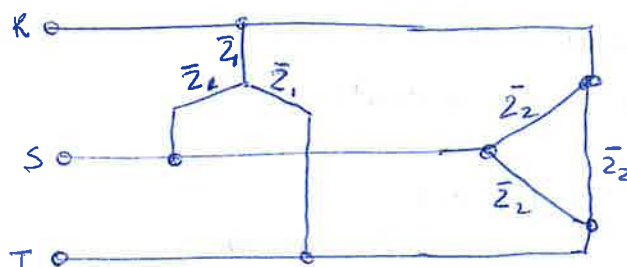


el circuito serie al pasarlo a paralelo seric.

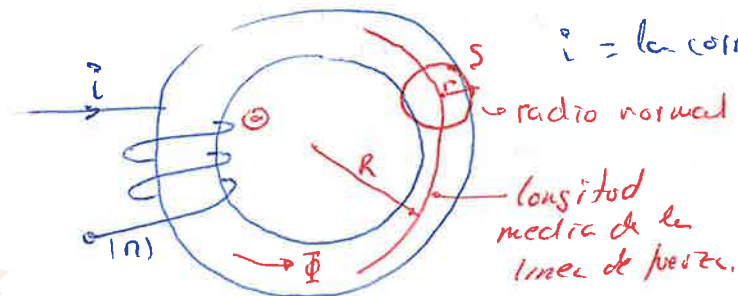


la suma de los corrientes rotadas y la suma de los corrientes deviadas es igual a la corriente \bar{I}

Hacer Parker 7-139. La carga triángulo pasarse a la carga estrella.



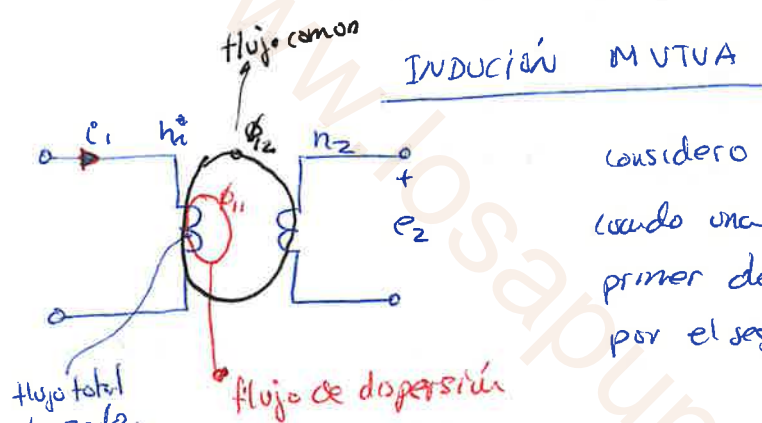
Supongamos una bobina toroidal:



i = la corriente variable de la bobina o continua.

$$\mathcal{L} = \frac{n\phi}{i} = \frac{nBS}{i} = \frac{\pi N_0 \mu_r H S}{i}$$

$$\Rightarrow H = \frac{ni}{l} \text{ sustituyendo} \\ \text{excitación} \Rightarrow \mathcal{L} = \frac{n^2 \mu_0 \mu_r S}{l} = \frac{\pi^2 \mu_0 \mu_r (N)^2}{2\pi R}$$



considero dos debanados.

cuando una fracción del flujo (lanzado por el primer debanado) es alcanzado o cortado por el segundo debanado.

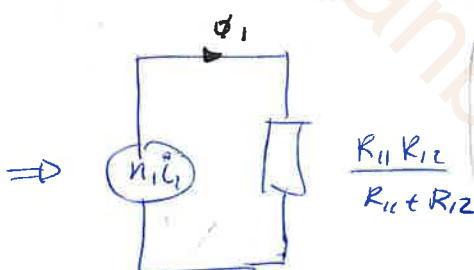
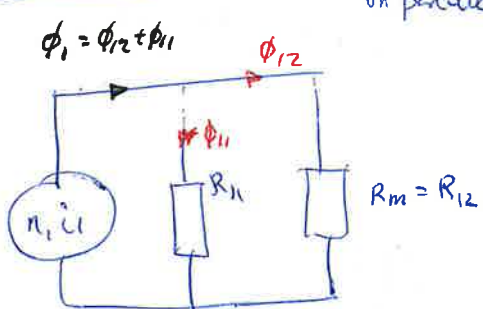
$$\phi_i = \phi_{12} + \phi_{11} \Rightarrow e_2 = -N_2 \frac{d\phi_{12}}{dt} \\ \phi_{12} = \frac{N_1 i_1}{R_m} = \text{cte.}$$

$$e_2 = -N_2 \frac{d}{dt} \frac{N_1 i_1}{R_m}$$

$$e_2 = -\frac{N_1 N_2}{R_m} \frac{di_1}{dt}$$

Reducción magnética y etc

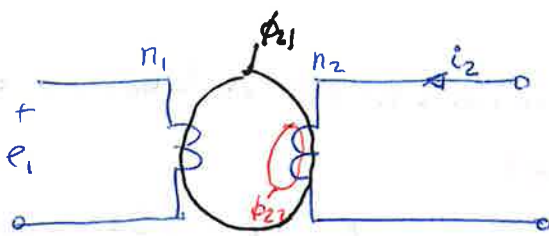
un parentesis .



La fuerza electromotriz e_2 es proporcional a $\frac{di_1}{dt}$ $e_2 \propto \frac{di_1}{dt}$

$$e_2 = -M_{12} \frac{di_1}{dt} \\ M_{12} \approx \frac{N_1 N_2}{R_m}$$

Cuando el transformador esté abierto o vacío.



$$e_1 = -N_1 \frac{d\phi_{21}}{dt}$$

$$\phi_{21} = \frac{N_2 i_2}{R_m} \quad R_m = \text{cte}$$

$$\left. \begin{aligned} e_1 &= -\frac{N_1 N_2}{R_m} \cdot \frac{di_2}{dt} \\ e_1 &= -m_{21} \frac{di_2}{dt} \end{aligned} \right\}$$

$$m_{21} = \frac{N_1 N_2}{R_m} \quad m_{12} = m_{21} = m$$

La unidad de coef. de autotinducción mutua viene medida en Henries.

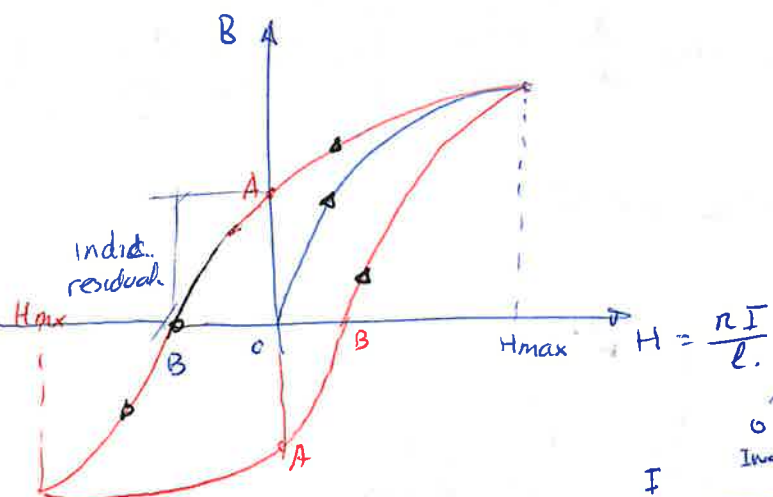
Henrio: cuando una variación de corriente de $1A \times 1s$ se ve debanado originaria en el segundo devanado une e de LV.

$$M = \frac{e_1}{di_2/dt} = \frac{e_2}{di_1/dt}$$

CICLO DE HISTERESIS.

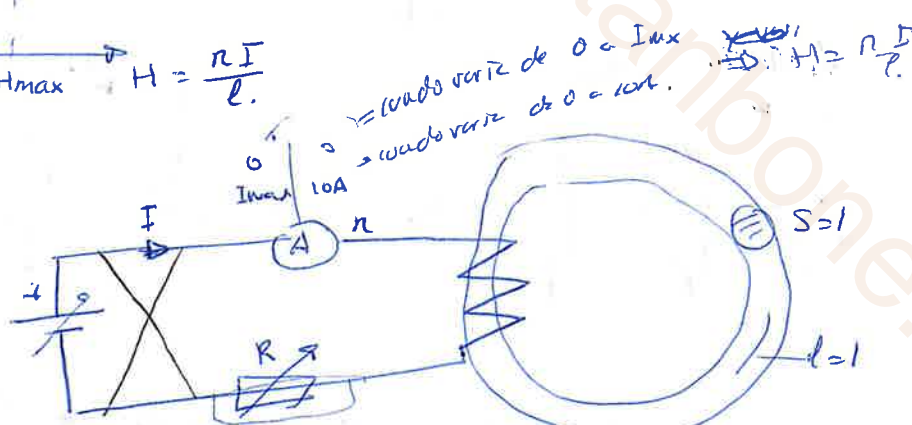
$$\mu = f(H)$$

con una corriente continua que va hacia arriba y disminuir es la curva de una bobina toroidal.

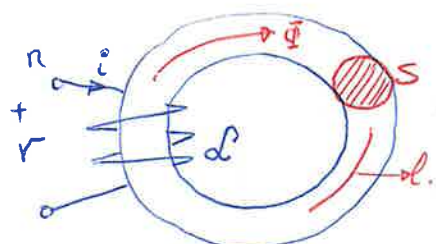


OA = es inducción residual

OB = es fuerza coercitiva.



- Una muestra de material ferromagnético sometido a un ciclo de histeresis se calienta.



La bobina presenta una resistencia ademas del coef. de autoinducción.

$$V = R_i + L \frac{di}{dt} = R_i + n \frac{d\phi}{dt}$$

multiplicando los dos miembros de idt :

$$Vi dt = R_i^2 dt + n d\phi^2$$

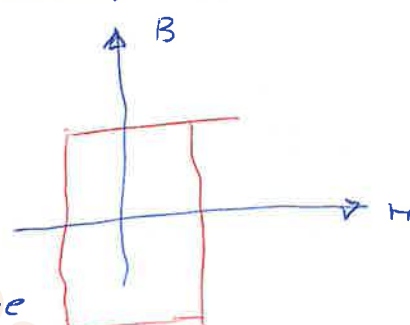
$$Vi dt = R_i^2 dt + n dB S i = R_i^2 dt + n i dBS$$

$i = \text{cte}$ la necesaria para producir un ciclo de histeresis.

$$Vi dt = R_i^2 dt + H l dBS \quad (-S = V(\text{volumen}))$$

$$Vi dt = R_i^2 dt + HV dB.$$

$$\int_C Vi dt = \int_C R_i^2 dt + V \int_{\text{volumen}} H dB$$



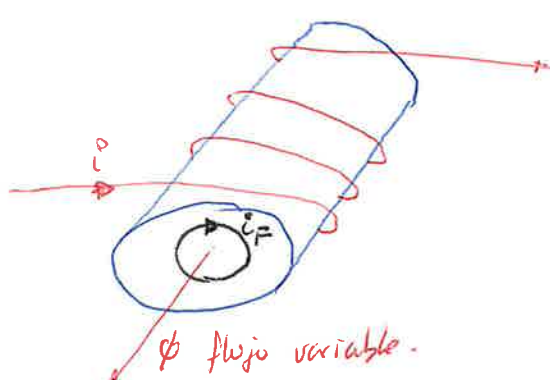
Energía eléctrica absorbida = Energía perdida Joule + Energía calorífica nulo.

$$V \int_e H dB = \text{Volumen} \times \text{Sup. ciclo H-B}$$

PERDIDAS POR EFECTOS DE CORRIENTES DE FOUCAULT.

$$P_h = \text{perdidas por histeresis} = K_h V f B_{mx}^2$$

considerando un núcleo ferromagnético y un devanado montado sobre el núcleo.



núcleo ferromagnético es un conductor para la electricidad.

si ϕ es creciente, produce una corriente i_F que se llama corriente de Foucault. (por la regla de Maxwell)

$$\phi \propto t$$

$$i = I_{mx} \sin \omega t$$

$$\phi = \phi_{mx} \sin \omega t$$

$$e_F = \frac{d\phi}{dt} = \frac{d}{dt} \phi_{mx} \sin \omega t$$

$$e_F = \phi_{mx} \omega \cos \omega t$$

$$i_F = \frac{e_F}{R} = \frac{\phi_{mx} \omega}{R} \cos \omega t$$

$$I_F = \frac{I_{Fmx}}{\sqrt{2}} = \frac{2\pi}{\sqrt{2}} f \frac{\phi_{mx}}{R}$$

$$P_F = R I^2 = R \left[\frac{2\pi}{\sqrt{2}} \right]^2 f^2 \frac{\phi_{mx}^2}{R^2}$$

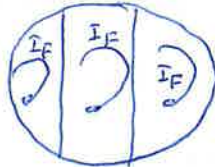
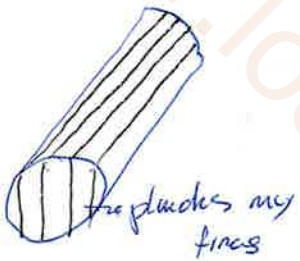
$$P_F \propto f^2 \phi_{mx}^2$$

$$P_F \propto f^2 B_{mx}^2$$

$$P_F = K_F f^2 B_{mx}^2 e^2$$

plancha.

Fractionando el n\'ucleo ferromagn\'etico como plancha muy fina

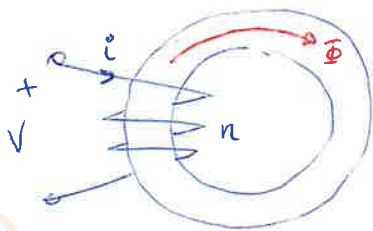


Le corriente de Foucault puede acomodarse.

Entonces las planchas aislante el\'ectrica, no magn\'etica.

TRANSFORMADOR.

- bobina ideal en régimen senoidal.



Intensidad que pasa por la bobina:

$$i = \frac{\sum e}{\sum R} = \frac{V + e}{R} \quad \text{fuerza electromotriz de autoinducción.}$$

bobina toroidal de n espiras, montado en un núcleo ferromagnético.

bucle de histeresis está reducido en la linea recta, es decir no tiene superficie

entonces $P_h = 0$

perdidas hister.

$P_F = 0$

f perdidas de Foucault.

$e = -n \frac{d\phi}{dt}$ f.cem. $-e = n \frac{d\phi}{dt} = f.c. \text{ electromotriz}$

* $V = I$ coef. Hookean $V = -e + Ri \Rightarrow V = -e$ f.c.e.m.

Someterlo en un régimen senoidal.

puedes tomar seno o coseno.

$V = V_{max} \cos \omega t$

$V = n \frac{d\phi}{dt}$ ya que $V = -e$

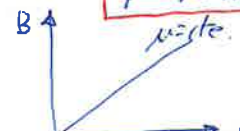
sustituyendo:

$$V_{max} \cos \omega t = n \frac{d\phi}{dt} \quad \phi = \frac{V_{max}}{n} \int \cos \omega t dt$$

$$\phi = \frac{V_{max}}{n \omega} \sin \omega t$$

en 90° se da el punto sobre la f.e.m. de inducción.

$$\text{seno } \phi_{max} = \frac{V_{max}}{n \omega}$$



$$e = -n \frac{d\phi}{dt} = -n \frac{d}{dt} \frac{n i}{R_m}$$

$$\phi = \frac{n i}{R_m} \quad R_m = \text{cte}$$

$$e = -\frac{n^2}{R_m} \frac{di}{dt} = -L \frac{di}{dt}$$

$$L = \frac{n \phi}{i}$$

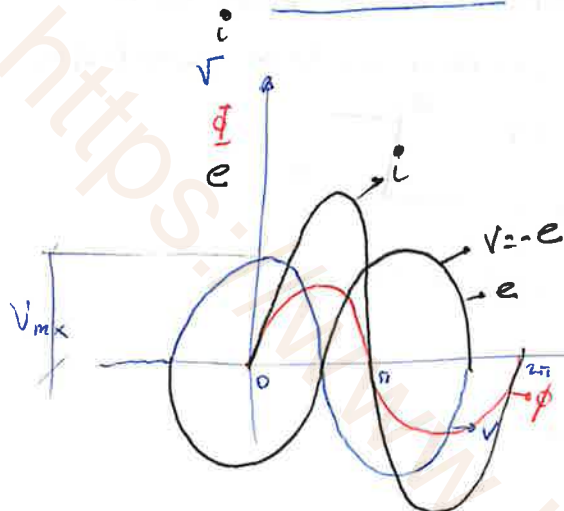
$$i = \frac{n \phi}{L} = \left(\frac{n}{L} \phi_{max} \right) \sin \omega t \xrightarrow{\phi_{max}} f_{max} \sin \omega t$$

$$I_{max} = \frac{n \phi_{max}}{L}$$

$$e = -n \frac{d}{dt} \phi_{mx} \sin \omega t = -n \omega \phi_{mx} \cos \omega t = -n \omega \phi_{mx} \sin(\omega t + \frac{\pi}{2})$$

$$e = n \omega \phi_{mx} \sin(\omega t - \frac{\pi}{2})$$

GRÁFICAMENTE.



$$V = n \frac{d\phi}{dt}$$

$$\bar{V}_{mx} = j \omega n \bar{\phi}_{mx} \text{ dividendo } \sqrt{2}$$

$$V = \frac{V_{mx}}{\sqrt{2}}$$

$$| \bar{V} = j \omega n \frac{\bar{\phi}_{mx}}{\sqrt{2}} |$$

$$e = -L \frac{di}{dt}$$

$$\bar{E} = -j \omega L \bar{I}$$

$$v = -j \omega n \frac{\bar{\phi}_{mx}}{\sqrt{2}}$$

$$\dot{I} = \frac{n\phi}{L}$$

$$\bar{I}_{mx} = \frac{n \bar{\phi}_{mx}}{L} \quad | \bar{I} = \frac{n}{L} \frac{\bar{\phi}_{mx}}{\sqrt{2}} |$$

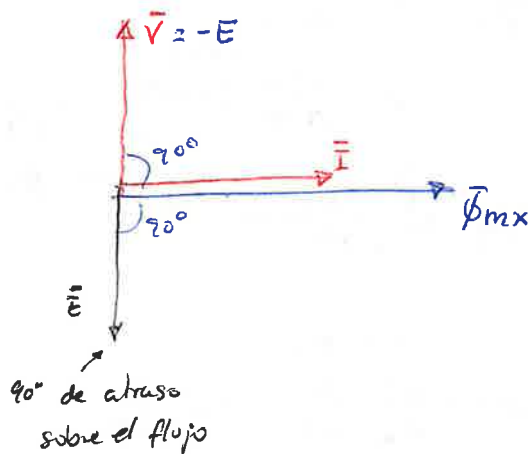
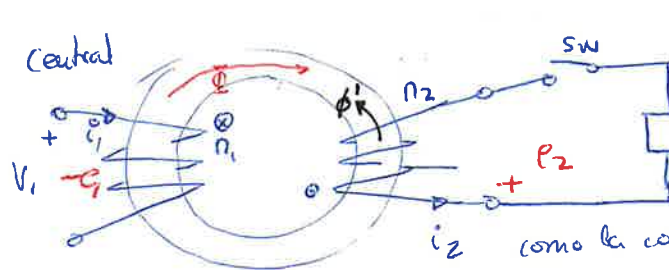


diagrama vectorial de la bobina. ideal

TRANSFORMADOR. ESTÁTICO IDEAL



Ahora tenemos dos debanados
este transformador no tiene perdidas de histeresis ni perdidas de Foucault. el coeficiente de μ = flujo del secundario.
HACKSON. $V_1=1$ $V_2=1$ $K_1=0$ $R_2=0$

Vacio cuando $SW=abierta$

$$i_o = I_{0m} \sin \omega t$$

corriente de vacío
F. el. primaria en el vacío (multiplicado por n_1)

$$n_1 i_o = n_1 I_{0m} \sin \omega t \quad \phi_{aux}$$

$$\phi = \frac{n_1 i_o}{R_m} = \frac{n_1 I_{0m} \sin \omega t}{R_m}$$

$$e_1 = -n_1 \frac{d\phi}{dt} = -n_1 \frac{d}{dt} \phi_{aux} \sin \omega t$$

$$e_1 = -n_1 w \phi_{aux} \cos \omega t$$

$$e_2 = -n_2 \frac{d\phi}{dt} = (n_2 w \phi_{aux}) \cos \omega t$$

$\downarrow \bar{e}_{2mx}$

$$E = \frac{E_{0m}}{\sqrt{2}}$$

$$E_{1mx} = n_1 w \phi_{aux} \quad \bar{E}_1 = \frac{w}{\sqrt{2}} n_1 \phi_{aux} = \frac{2\pi}{\sqrt{2}} f n_1 \phi_{aux}$$

$$E_{2mx} = n_2 w \phi_{aux} \quad \bar{E}_2 = \frac{w}{\sqrt{2}} n_2 \phi_{aux} = \frac{2\pi}{\sqrt{2}} f n_2 \phi_{aux}$$

$$V = -E$$

$$V_1 = -E_1 \quad V_1 = -\bar{E}_1$$

como $V_1 = -E_1$
 $\Rightarrow V_1 = -\frac{2\pi}{\sqrt{2}} f n_1 \phi_{aux}$ } la transformadora es una máquina de flujo cte

$\phi_{aux} = cte$ + condición

$$E_1 = \frac{w}{r_2} n_1 \phi_{aux} = \frac{2\pi}{\sqrt{2}} f n_1 \phi_{aux}$$

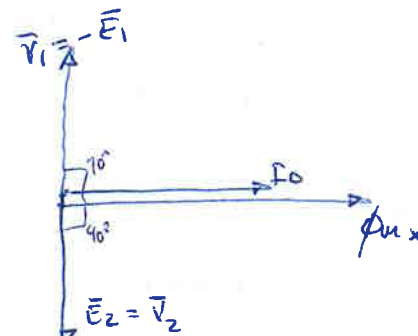
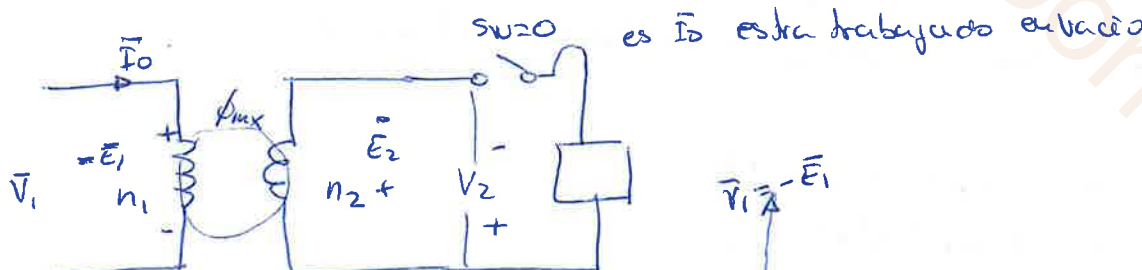
$$E_2 = \frac{w}{r_2} f n_2 \phi_{aux}$$

KAPP

2do cond.

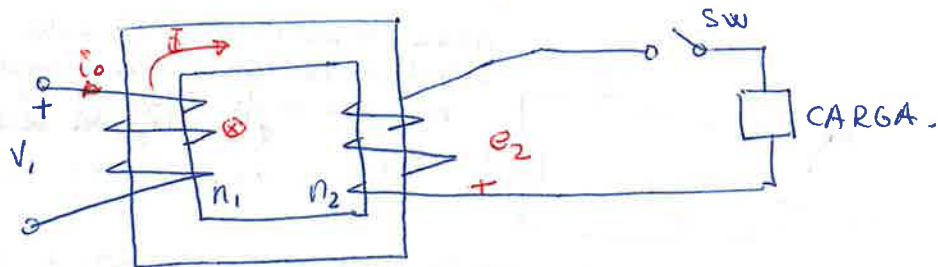
$$\frac{E_1}{E_2} = \frac{n_1}{n_2} = \frac{V_1}{V_2} = K$$

relación de transformación K.



TRANSFORMADOR ESTÁTICO IDEAL.

son valores instantáneos cuando $S_{W=1}$ en vez de $\dot{\phi}$ es ϕ ,



los considero primero en vacío cuando $S_{W=0}$ Marcha en vacío.

$$i_0 = I_{omx} \sin \omega t$$

$n_1 \cdot i_0 = f.m.m$ fuerza magnética primaria vario

$$\phi = \frac{n_1 i_0}{R_m} \quad R_m = \text{cte}$$

Fluxo instantaneo

$$\left. \begin{array}{l} \phi = \frac{n_1}{R_m} I_{omx} \sin \omega t \\ \phi_{mx} \end{array} \right\}$$

$$\phi_{mx} = \frac{n_1}{R_m} I_{omx}$$

Primerio

$$\left. \begin{array}{l} e_1 = -n_1 \frac{d\phi}{dt} \\ e_1 = -n_1 \frac{d}{dt} \phi_{mx} \sin \omega t \\ e_1 = -n_1 \phi_{mx} \omega \cos \omega t \\ e_1 = n_1 \phi_{mx} \omega \sin \left(\omega t - \frac{\pi}{2} \right) \quad \text{la onda } e_1 \text{ va atraso } 90^\circ \text{ sobre el } \phi \end{array} \right\} e_{1mx}$$

secundario.

$$\left. \begin{array}{l} e_2 = -n_2 \frac{d\phi}{dt} \\ e_2 = -n_2 \frac{d}{dt} \phi_{mx} \sin \omega t \\ e_2 = -n_2 \phi_{mx} \omega \cos \omega t \\ e_2 = n_2 \phi_{mx} \omega \sin \left(\omega t - \frac{\pi}{2} \right) \quad \text{la onda } e_2 \text{ va atraso } 90^\circ \text{ sobre el } \phi \end{array} \right\} e_{2mx}$$

los valores máximos de las fuerzas electromotrices.

$$e_1 = E_{1mx} \sin \left(\omega t - \frac{\pi}{2} \right)$$

$$e_2 = E_{2mx} \sin \left(\omega t - \frac{\pi}{2} \right)$$

$$E_{1mx} = n_1 \omega \phi_{mx} \rightarrow E_1 = \frac{E_{1mx}}{\sqrt{2}} = \frac{n_1 \omega \phi_{mx}}{\sqrt{2}}$$

$$E_{2mx} = n_2 \omega \phi_{mx} \rightarrow E_2 = \frac{E_{2mx}}{\sqrt{2}} = \frac{n_2 \omega \phi_{mx}}{\sqrt{2}}$$

$$\left. \begin{array}{l} \frac{E_1}{E_2} = \frac{n_1}{n_2} = k = \text{relación del transformador.} \end{array} \right\}$$

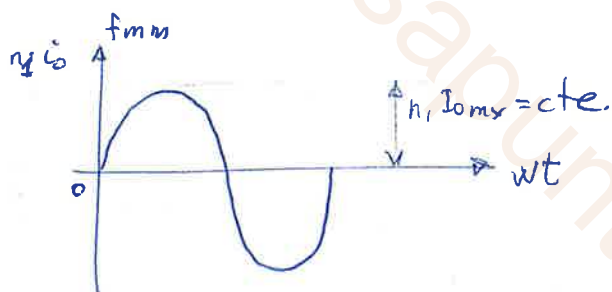
$$\left\{ \begin{array}{l} V_1 = -e_1 \quad \text{ec. para valores instantáneos} \quad \text{cuando } R_f = 0 \\ V_1 = -E_1 = \frac{-n_1 \omega_{aux}}{\sqrt{2}}, \text{ ec. " " eficaces.} \\ w = 2\pi f \quad V_1 = \text{cte} \quad f = \text{cte} \quad n_1 = \text{cte} \quad w = \text{cte} \quad \text{entonces } \phi_{aux} = \text{cte} \\ \text{entonces es una magnitud de } \phi = \text{cte} \end{array} \right.$$

$n_1 i_o = R_m \phi$ si $R_m = \text{cte}$ y $\phi_{aux} = \text{cte}$ el producto de n^o de vueltas por amperios por vuelta es constante.

$$n_1 I_o = R_m \frac{\phi_{aux}}{\sqrt{2}} \quad \text{modularmente.}$$

$$n_1 \circ \bar{I}_o = R_m \frac{\phi_{aux}}{\sqrt{2}} \quad \text{vectorialmente}$$

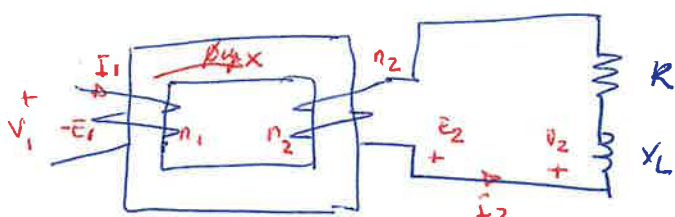
f_{mm} instantánea puede representar en el tiempo en la siguiente manera:



Marcha en carga. Cuando el transformador tiene carga.

Cuando $S_w = 1$ el interruptor está cerrado.

valores senoidales.

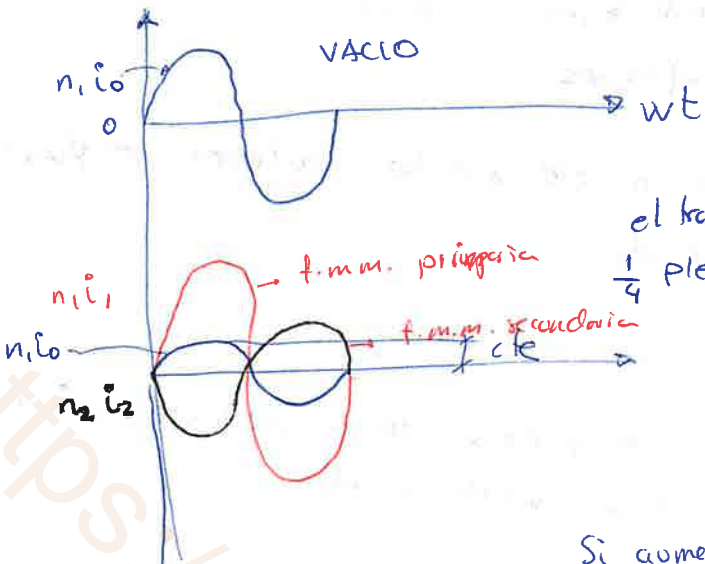


Como la magnitud es de flujo cte. $n_1 \bar{I}_1 + n_2 \bar{I}_2 = R_m \frac{\phi_{aux}}{\sqrt{2}}$

$$R_m \frac{\phi_{aux}}{\sqrt{2}} = n_1 \bar{I}_o \quad \left. \begin{array}{l} n_1 \bar{I}_1 + n_2 \bar{I}_2 = n_1 \bar{I}_o \\ \text{suma geométrica.} \\ \text{suma vectoriales} \\ \text{suma valores eficaces} \\ \text{senoidales.} \end{array} \right\}$$

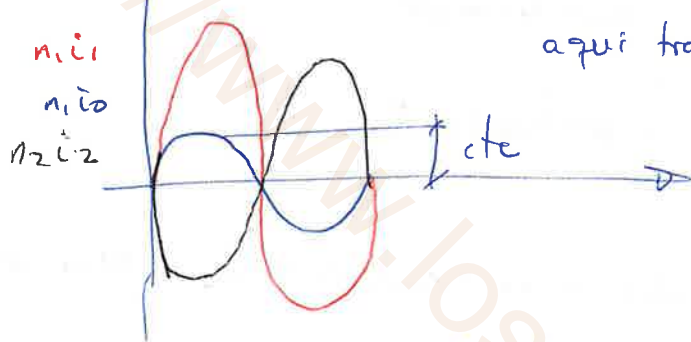
suma algebraica
suma valores instantáneos

$$n_1 i_1 + n_2 i_2 = n_1 i_o$$



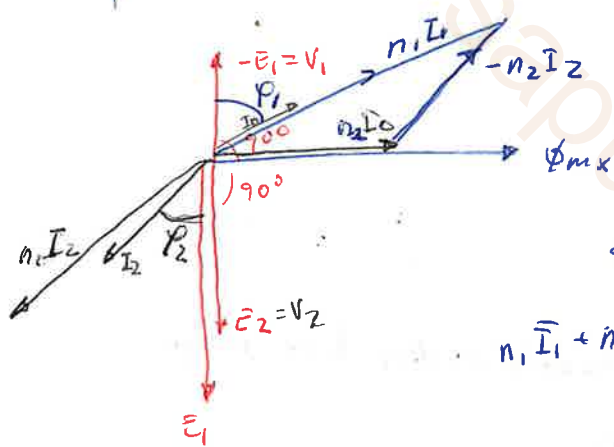
el transf. trabaja
 $\frac{1}{4}$ plena carga (P.C)

la diferencia de las dos curvas reproduce la curva del vacío.



Si aumenta $n_2 i_2$ en el secundario, aumenta en el primario
 aquí trabaja a plena carga.

cuando aumente en el secundario aumenta
 el primario produciéndose la misma
 que en la gráfica anterior. \Rightarrow la diferencia de las
 dos curvas reproduce la curva del vacío.



del flujo y la corriente de vacío van en fase
 del secundario

supongamos que la corriente esté desfasada

$$n_1 \bar{I}_1 + n_2 \bar{I}_2 = n_1 \bar{I}_0$$

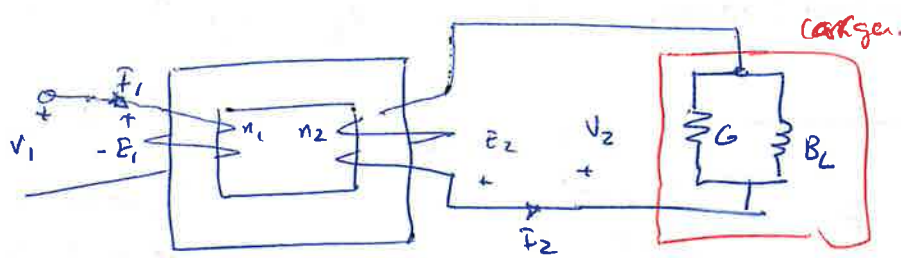
La corriente primaria I_1 debe ser de un valor que equilibre a I_2 y ademas



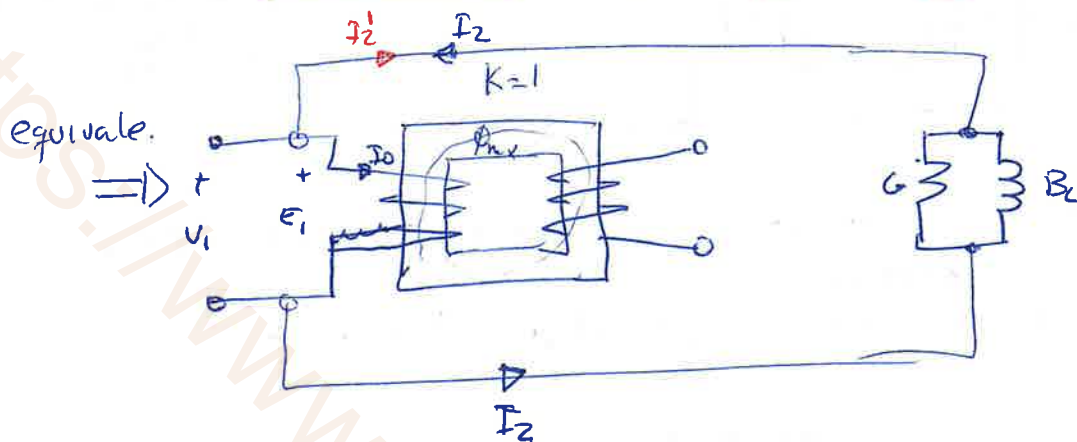
el flujo y la corriente de vacío van en fase

Relación de transformación vale $K=1$ $K=1 \Rightarrow \frac{n_1}{n_2}$

Balances de t



como $\frac{n_1}{n_2}$ se puede poner
d arriba.



$$n_1 \bar{I}_1 + n_2 \bar{I}_2 = n_1 \bar{I}_0 \quad \text{como} \quad \frac{n_1}{n_2} = 1 \Rightarrow$$

$$\Rightarrow \bar{I}_1 + \bar{I}_2 = \bar{I}_0$$

$$\bar{I}_1 = \bar{I}_0 - \bar{I}_2 = \bar{I}_0 + \bar{I}_2' \quad \text{corriente del secundario reducida al primero}$$

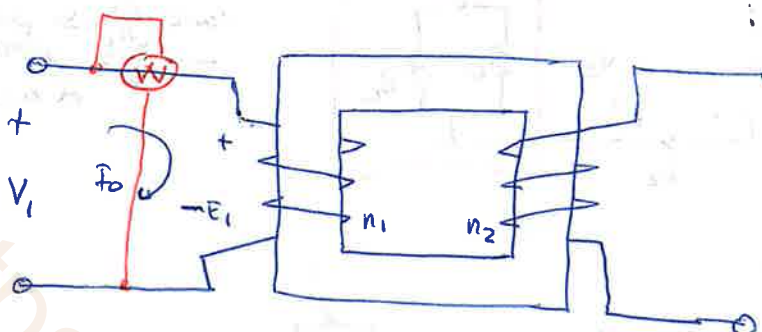
en el caso que $K \neq 1$ es decir la relación de transformación $\frac{n_1}{n_2} \neq 1$

$$n_1 \bar{I}_1 + n_2 \bar{I}_2 = n_1 \bar{I}_0 \quad \text{dividiendo por } n_1 \quad \bar{I}_2 = -\frac{\bar{I}_2}{K}$$

$$\bar{I}_1 = \bar{I}_0 - \frac{n_2}{n_1} \bar{I}_2 = \bar{I}_0 - \frac{\bar{I}_2}{K} = \bar{I}_0 + \bar{I}_2'$$

ADMITANCIA DE EXCITACION, IMPEDANCIA DE EXCITACION

en un transf. ideal, no tiene P_h y P_F

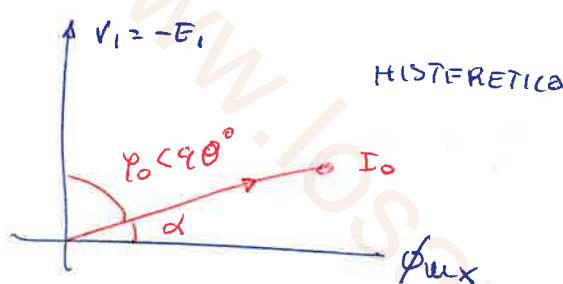


$$V_1 = -E_1$$

$$\varphi_{aux} = 90^\circ$$

la potencia activa es P_o
porque $\varphi_o = 90^\circ$ en el transf.
ideal.
 $P = V_1 I_o \cos \varphi_o = 0$

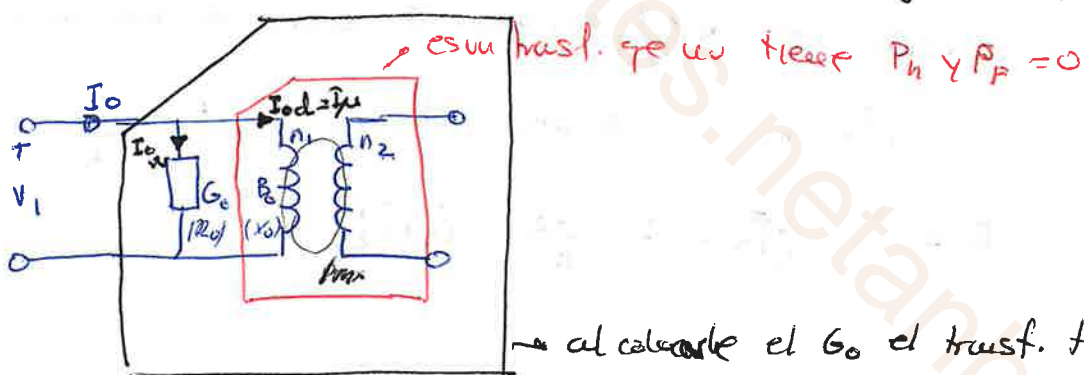
Si ahora el transf. va a tener presentes P_h y $P_F \neq 0$, colocando un variámetro, el variámetro va a medir la pot-activa, $P = V_1 I_o \cos \varphi_o$ con:



Si en el primario le ponemos en paralelo una conductancia G_o (Síntesis),

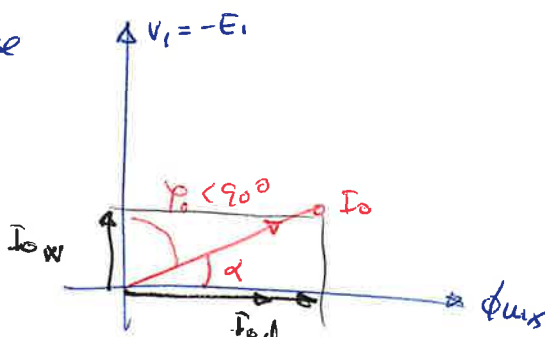
$$P = G_o V_1^2$$

I_{aux} = corriente magnetizante.



→ al calcularlo el G_o el transf. tiene P_h y $P_F \neq 0$

I_{aux} es en fase con V_1



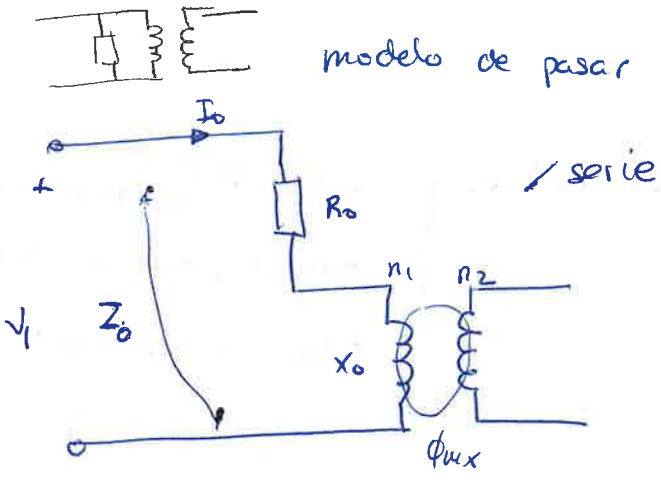
$$\bar{Y} = G_o - j B_o$$

$$\bar{V}\bar{Y} = \bar{V}G_o - j \bar{V}B_o$$

$$I_o = I_{aux} - j I_{cd}$$

$$I_o = \sqrt{I_{aux}^2 + I_{cd}^2}$$

I_o virtuale I_o debidat.



modelo de pasar de brzo paralelo a serie

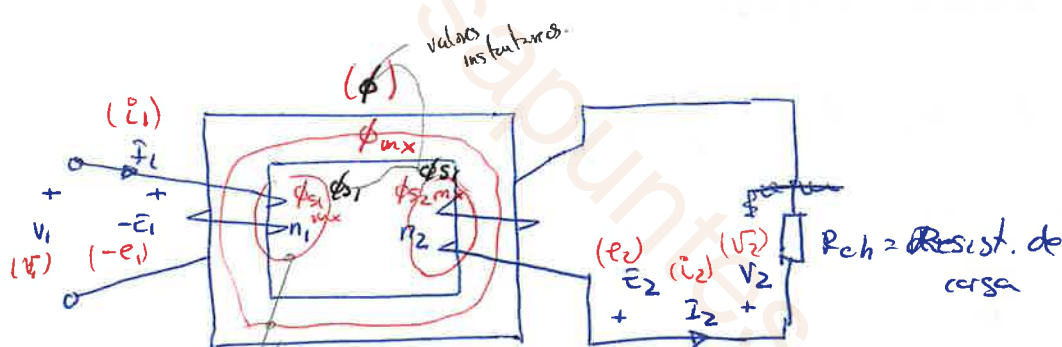
/ serie

$$Z_0 = \frac{1}{Y_0} = \frac{1}{G_0 - jB_0} = \frac{G_0 + jB_0}{G_0^2 + B_0^2} = \frac{G_0}{G_0^2 + B_0^2} + j \frac{B_0}{G_0^2 + B_0^2} = R_0 + jX_0$$

$$R_0 = \frac{G_0}{G_0^2 + B_0^2}$$

$$X_0 = \frac{B_0}{G_0^2 + B_0^2}$$

TRANSFORMADOR REAL.



Al considerar $V_1 > 1$ se tiene un flujo de dispersi6n primario
y habr6 un flujo de dispersi6n en el primario
..... secundario

y se la usue para
presa en el
secundario.

y com6n en ambos devanados.

$$\phi_t = \phi + \phi_{si} \Rightarrow \phi = \frac{V_1 \phi}{1 + \frac{\phi_{si}}{\phi}} = V_1 \phi$$

\downarrow
 $e_1 = e_{si}$

$$i_1 = \frac{\sum e'}{\sum R} = \frac{V_1 + e_1 + e_{si}}{R_1} \rightarrow \text{asistencia del devanado primario.}$$

$$e_1 = -n_1 \frac{d\phi}{dt}$$

esta en un circuito no saturado.

$$e_{si} = -n_1 \frac{d\phi_{si}}{dt} \sim \text{f.e.m motor de inducci6n.}$$

$$= -n_1 \frac{d}{dt} \frac{\phi_{si}}{n_1} = -i_1 \frac{d\phi_{si}}{dt}$$

$$\downarrow i_1 = \frac{n_1 \phi_{si}}{e_1}$$

$$e_{s1} = -l_1 \frac{di_1}{dt} \quad l_1 = \text{coef. de autoinducción}$$

$$-e_{s1} = l_1 \frac{di_1}{dt} \quad \text{carga reactiva.} \quad \left\{ \begin{array}{l} -e_{s1} = l_1 \frac{d}{dt} I_{1mx} \sin \omega t \\ -e_{s1} = l_1 w I_{1mx} \cos \omega t \\ -e_{s1} = e_{s1mx} \cos \omega t \end{array} \right.$$

$$\bar{e}_{s1mx} = l_1 w I_{1mx} \angle 90^\circ = j w l_1 \bar{I}_{1mx} \quad \bar{e}_{s1} = j l_1 w \bar{I}_1$$

$$\bar{I}_1 = \frac{\bar{V}_1 + \bar{E}_1 + \bar{e}_{s1}}{R_1}$$

$$V_1 = -E_1 + R_1 \bar{I}_1 + \bar{e}_{s1}$$

$$V_1 = -E_1 + R_1 \bar{I}_1 + j w l_1 \bar{I}_1$$

$$\bar{I}_1 = \frac{\sum \bar{E}}{\sum \bar{Z}} = \frac{\bar{V}_1 + \bar{E}_1}{R_1 + j w l_1}$$

en el devanado secundario,

$$\phi_{r2} = \phi + \phi_{s2} = \phi \left[1 + \frac{\phi_{s2}}{\phi} \right] = V_2 \phi$$

$$e_2 = -n_2 \frac{d\phi}{dt}$$

$$e_{s2} = -n_2 \frac{d\phi_{s2}}{dt} = -l_2 \frac{di_2}{dt}, \quad e_{s2} = +l_2 \frac{di_2}{dt}$$

$$l_2 = \frac{n_2 \phi_{s2}}{i_2}$$

$$i_2 = \frac{\sum \bar{E}}{\sum \bar{R}} = \frac{e_2 + e_{s2}}{R_2 + R_{ch}}$$

existencia
del devanado
secundario

$$e_2 = R_2 i_2 + R_{ch} i_2 - e_{s2}$$

$$e_2 = R_2 i_2 + \frac{R_{ch} i_2}{V_2} + l_2 \frac{di_2}{dt}$$

$$e_2 = \bar{V}_2 + R_2 i_2 + l_2 \frac{di_2}{dt}$$

ecuación de
segundo del
transformador

$$\bar{e}_2 = \bar{V}_2 + \bar{I}_2 [R_2 + j w l_2] = \bar{V}_2 + \bar{Z}_2 \bar{I}_2$$

para el devanado primario:

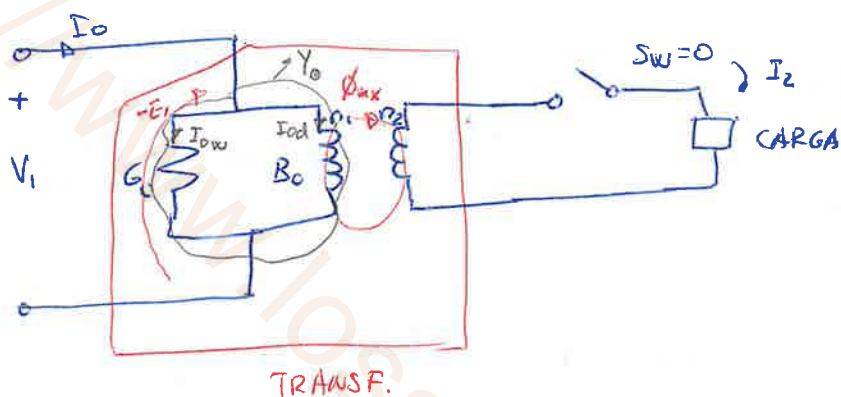
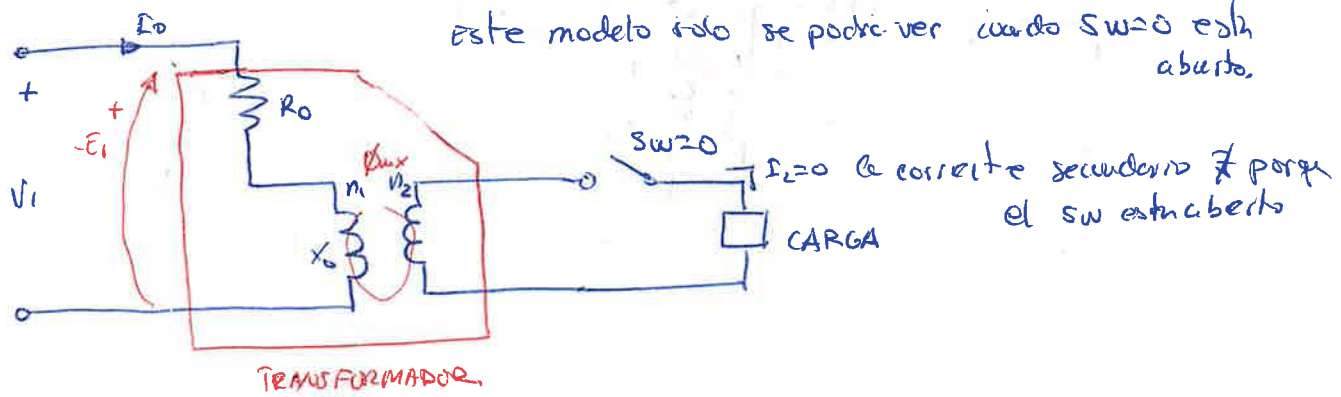
$$V_1 = -E_1 + R_1 i_1 - e_{s1} = -E_1 + R_1 i_1 + l_1 \frac{di_1}{dt}$$

$$V_1 = -E_1 + R_1 i_1 + l_1 \frac{di_1}{dt}$$

tensión instantánea del primario.

$$\bar{V}_1 = -\bar{E}_1 + \bar{I}_1 [R_1 + j w l_1] = -\bar{E}_1 + \bar{Z}_1 \bar{I}_1$$

Pasar de la serie al paralelo.



$$\bar{Z}_0 = R_0 + jX_0 \rightarrow \bar{Y}_0 = G_0 - jB_0$$

$$\bar{Y}_0 = \frac{1}{\bar{Z}_0} = \frac{1}{R_0 + jX_0} = \frac{R_0 - jX_0}{R_0^2 + X_0^2} = \frac{R_0}{R_0^2 + X_0^2} - j \frac{X_0}{R_0^2 + X_0^2} = G_0 - jB_0$$

$$G_0 = \frac{R_0}{R_0^2 + X_0^2}$$

$$B_0 = \frac{X_0}{R_0^2 + X_0^2}$$

CONTINUACION TRANSF. REAL.

$$\bar{V}_1 = -\bar{E}_1 + \bar{Z}_1 \bar{I}_1$$

estas dos expresiones definen el eje α

$$\bar{Z}_1 = R_1 + j\omega L_1 = Z_1 \quad (P_{cc1} = R_1 + jX_1)$$

$$Z_1 = \sqrt{R_1^2 + (\omega L_1)^2} \quad (P_{cc1} = t_s^{-1} \frac{V_1}{R_1})$$

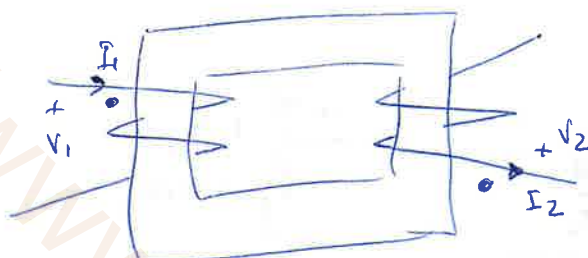
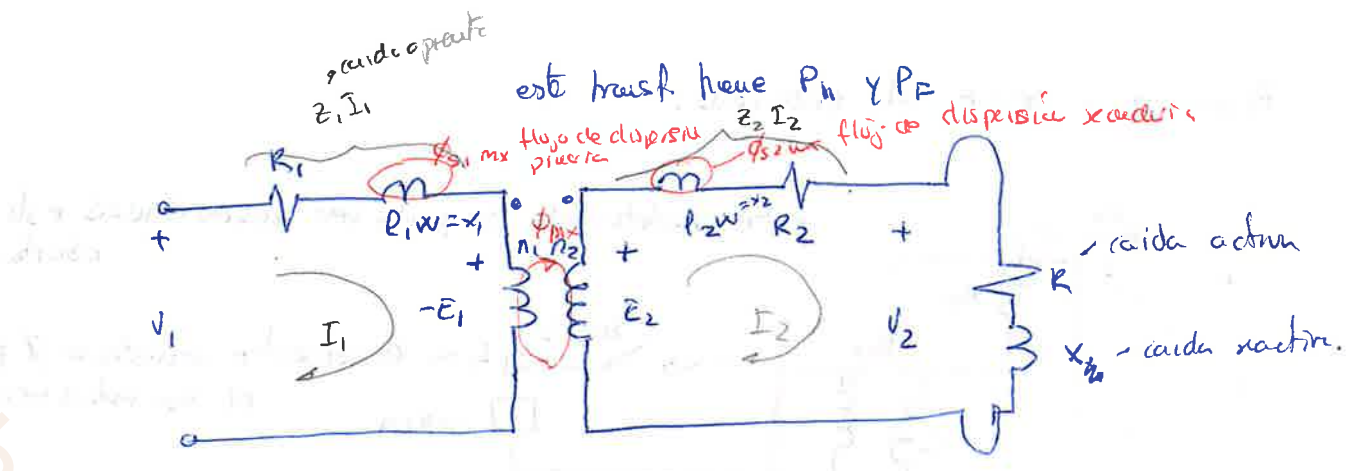
$$\omega L_1 = X_1$$

el primario del transformador.

$$\bar{V}_2 = \bar{E}_2 - \bar{Z}_2 \bar{I}_2$$

$$\bar{Z}_2 = R_2 + j\omega L_2 = R_2 + jX_2 = \sqrt{R_2^2 + X_2^2} \quad (P_{cc2} = t_s^{-1} \frac{X_2}{R_2})$$

el secundario del transformador.



los putos quieren decir donde entra la corriente en el primario sale por el ultimo punto el secundario

E. vectoriales

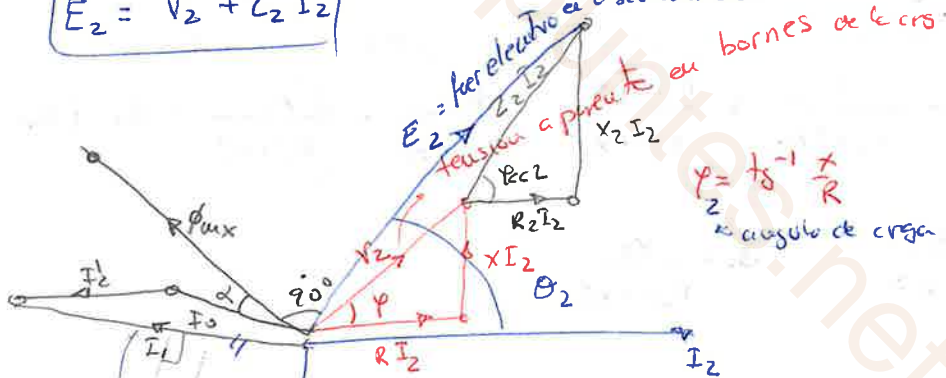
$$\bar{V}_1 = -\bar{E}_1 + \bar{Z}_1 \bar{I}_1$$

$$\bar{E}_2 = \bar{V}_2 + \bar{Z}_2 \bar{I}_2$$

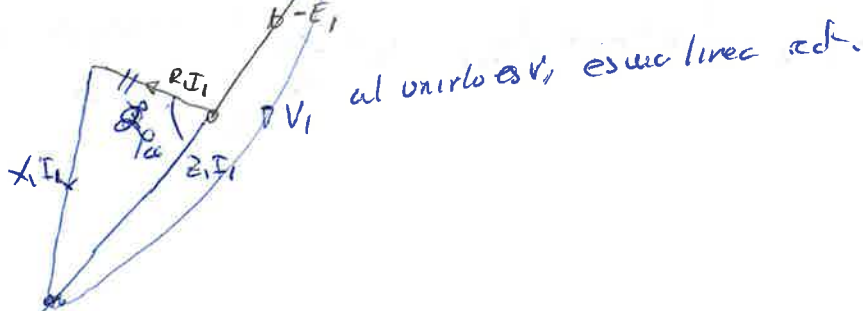
$$n_1 \bar{I}_1 + n_2 \bar{I}_2 = n_1 \bar{I}_o \quad \text{cuando } K = \frac{n_1}{n_2}$$

$$\bar{I}_1 = \bar{I}_o + \bar{I}_2'$$

$$\bar{I}_2' = -\frac{\bar{I}_2}{K}$$



el ϕ va en atraso 90° con el E_2 , la corriente de vacío va adelante
que avanza al del ϕ de vacío
 I_2' este en fase con I_2 pero opuesto



CIRCUITO EQUIVALENTE AL TRANSFORMADOR.

$$\bar{V}_1 = -\bar{E}_1 + \bar{Z}_1 \bar{I}_1$$

$$\bar{E}_2 = \bar{V}_2 + \bar{Z}_2 \bar{I}_2$$

ec. de la f-electronica

$$\bar{I}_1 = \bar{E}_0 + \bar{I}_2' \quad (1)$$

$$\bar{E}_2' = -\frac{\bar{I}_2}{K}$$

$$\bar{E}_2 = \bar{Z} \bar{I}_2 + \bar{Z}_2 \bar{I}_2 = \bar{I}_2 [\bar{Z} + \bar{Z}_2] \text{ multiplicado por } (-K)$$

$$K = \frac{E_1}{E_2} = \frac{n_1}{n_2}$$

$$-KE_2 = -K \bar{I}_2 [\bar{Z} + \bar{Z}_2]$$

$$\text{con } \bar{I}_2' = \frac{\bar{I}_2}{K} \quad -K\bar{E}_2 = K^2 \bar{I}_2' [\bar{Z} + \bar{Z}_2]$$

$$-K\bar{E}_2 = \bar{I}_2' [K^2 \bar{Z} + K^2 \bar{Z}_2]$$

$K^2 \bar{Z} = \bar{Z}' =$ impedancia carga reducida al primario

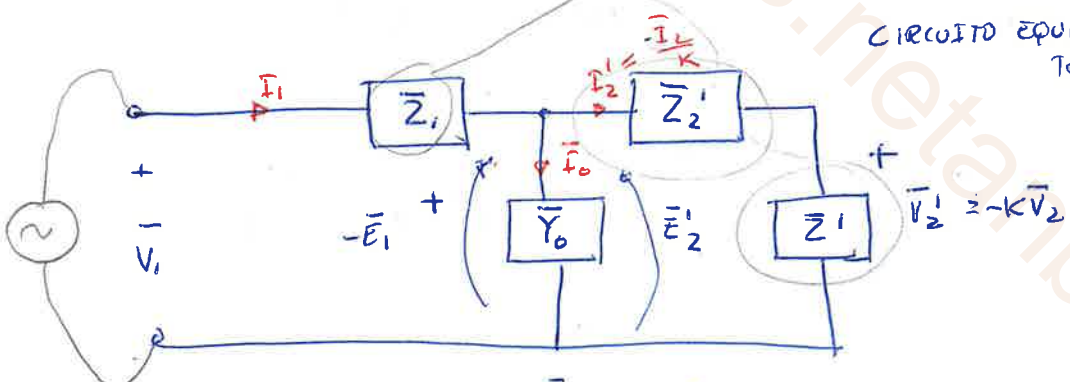
$K^2 \bar{Z}_2 = \bar{Z}_2' = \dots$ secundaria " " "

$$K = \frac{E_1}{E_2} \quad E_1 = KE_2$$

$$-KE_2 = \bar{I}_2' [\bar{Z}' + \bar{Z}_2']$$

$$\bar{V}_1 = \bar{I}_2' [\bar{Z}' + \bar{Z}_2'] + \bar{Z}_1 \bar{I}_1 \quad (1) \text{ (2)} \rightarrow \text{define el circuito equivalente del transformador}$$

CIRCUITO EQUIV. EXACTO DEL Transformador.



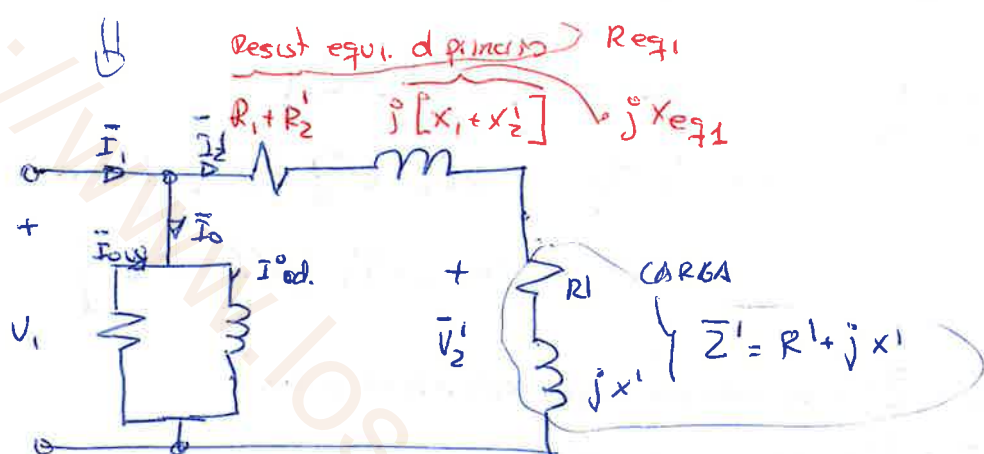
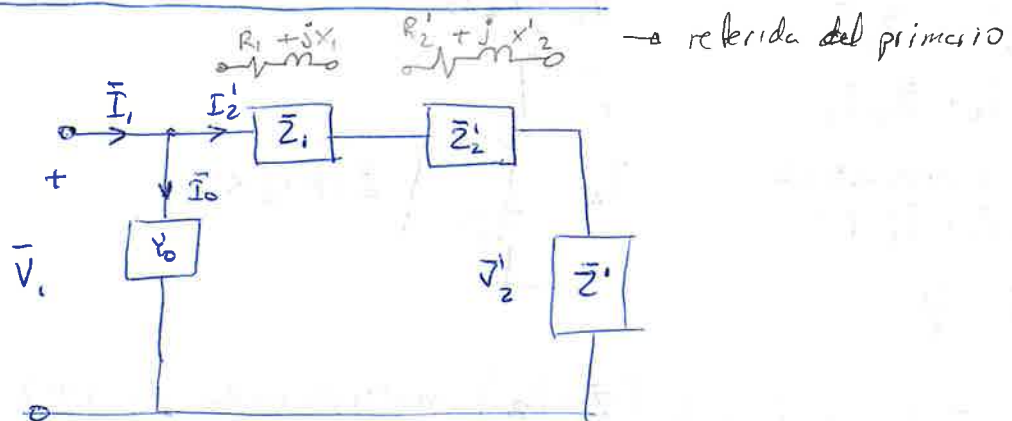
$$\bar{V}_2' = \bar{Z}' \bar{I}_2' = [K^2 \bar{Z}] \left[-\frac{\bar{I}_2}{K} \right] = -\bar{Z} \bar{I}_2 K = -K \bar{V}_2$$

$$\bar{E}_2' = \bar{I}_2' [\bar{Z}_2' + \bar{Z}'] = \left[-\frac{1}{K} \right] K^2 [\bar{Z}_2 + \bar{Z}] = -K \bar{I}_2 (\bar{Z}_2 + \bar{Z}) = -K \bar{E}_2$$



como \bar{Z}_1 es despreciable muy pequeño entre \bar{Y}_0 lo cierra a la entrada con \bar{V}_1 y da un circ. equiv. \leftarrow proximado.

CIRCUITO EQUIVALENTE APROXIMADO.



todo esto reducido al devanado primario. cuando la máquina este en carga & I_0 es tan pequeña frente \bar{I}_1, \bar{I}_2' entonces normalmente I_0 ^{corriente vacío} se desprecia. (X_0 se ignora)

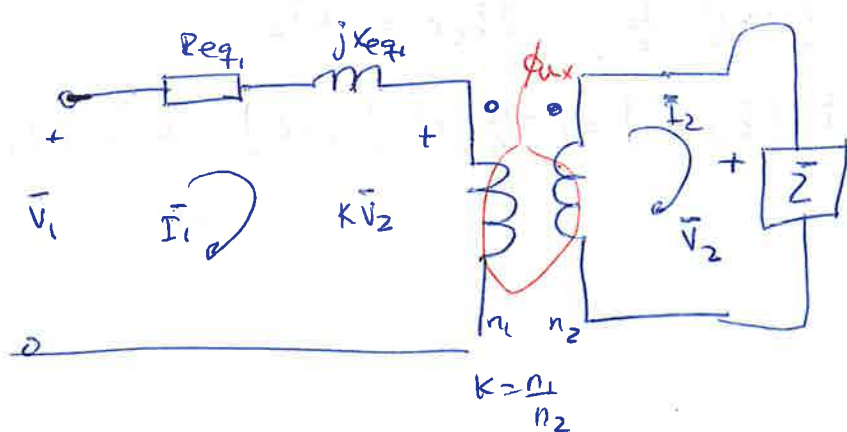
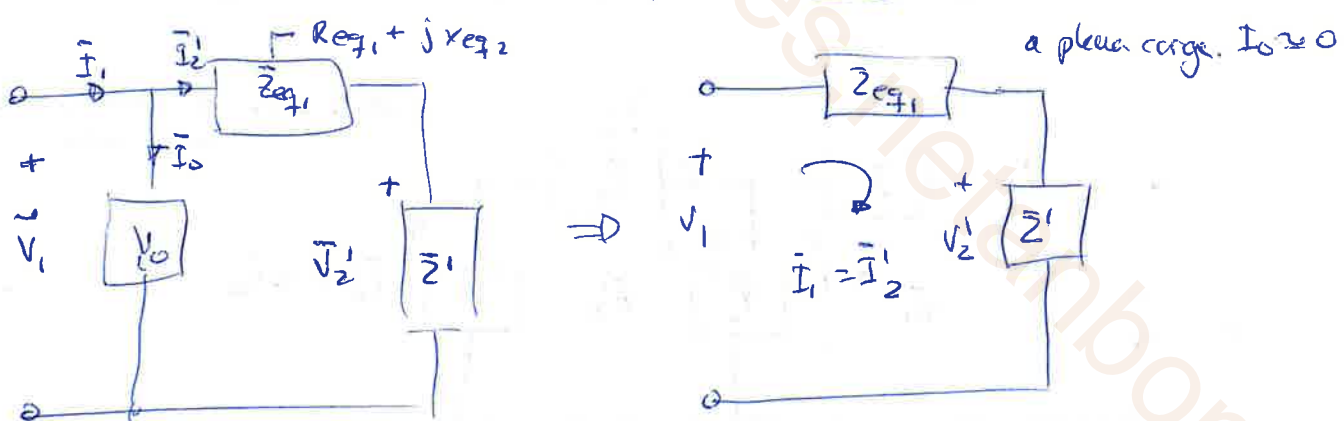
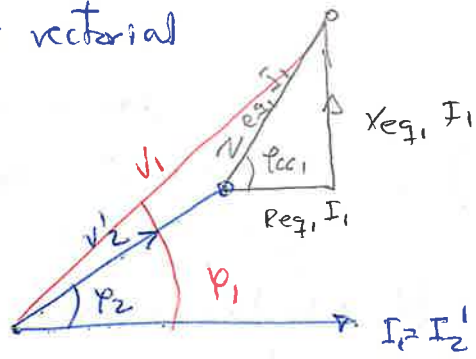
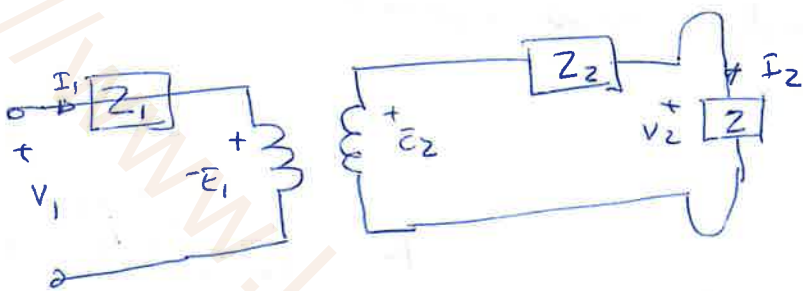


Diagrama vectorial

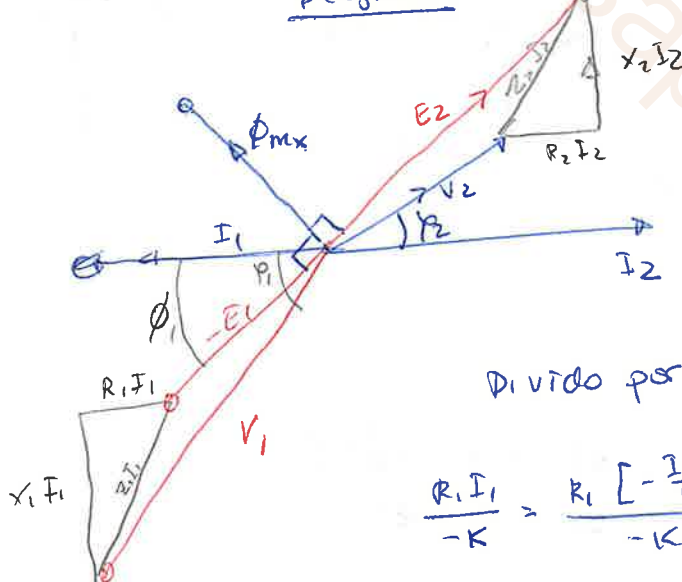


Suponemos $I_o = 0$

$$n_1 I_1 + n_2 I_2 = 0 \quad (1)$$



Diagramas



Dividido por $-K$

$$\frac{R_1 I_1}{-K} = \frac{R_1 \left[-\frac{I_2}{K} \right]}{-K} = -\frac{R_1}{K^2} I_2$$

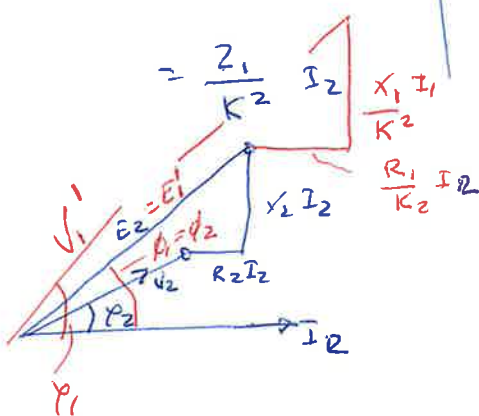
$$\frac{X_1 I_1}{-K} = \frac{X_1}{K^2} I_2$$

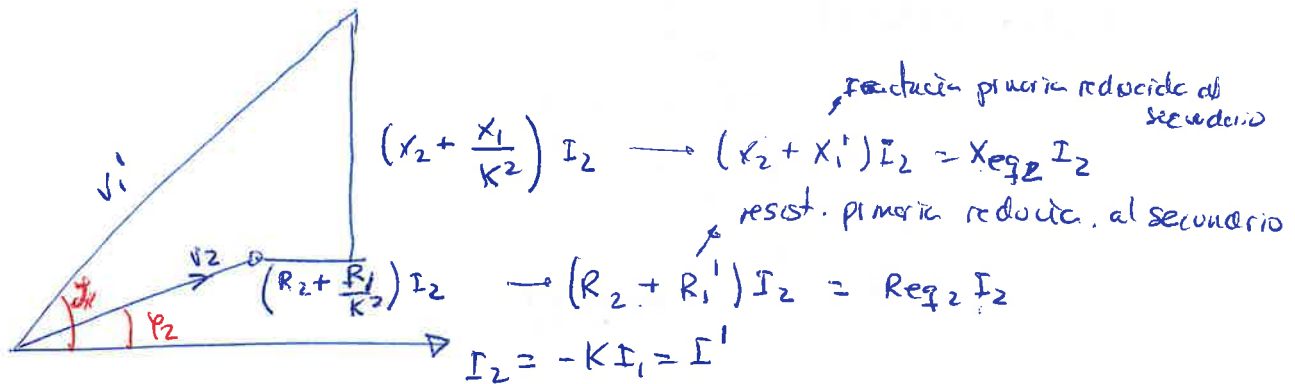
$$\frac{Z_1 I_1}{-K}$$

$$\frac{-E_1}{-K} = \frac{E_1}{K} = E_2 = (E'_1)$$

$$\frac{-V_1}{-K} = \frac{V_1}{K} = V'_1$$

entonces el diagrama vectorial se invierte 180°



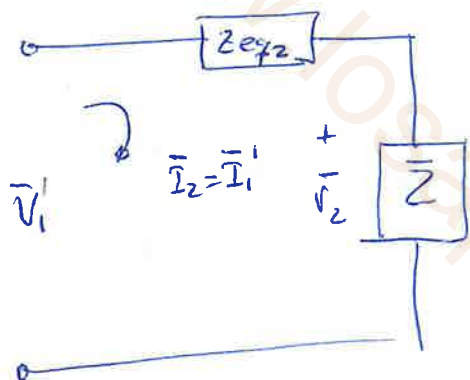


$$R_1' = \frac{R_1}{K^2} \quad x_1' = \frac{x_1}{K^2}$$

se ve mediante un escenario equivalente.

$$Z_{eq2} = \sqrt{R_{eq2}^2 + x_{eq2}^2}$$

$$I_0 = 0$$



$I_2 = I_1'$ intensidad del secundario reducida al primario

Capítulo 28 del Parker.

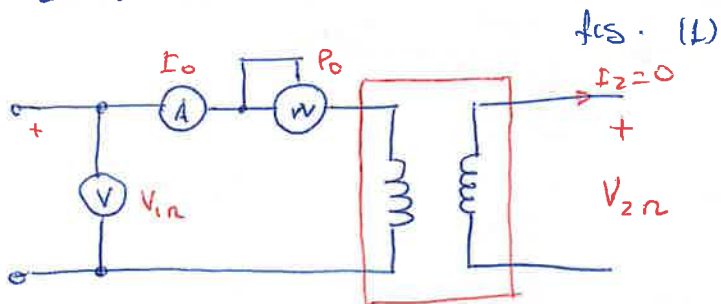
Problema 35

- a) pide $R_2' = ?$
- b) pide $R_1' = ?$
- c) R_{eq2}

Problema 37, 38, 39, 42

PARAMETROS DE EXCITACION.

ENSAYO DE VACIO

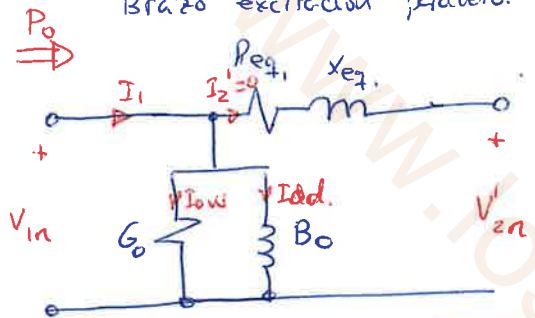


(V) Indica tensión nominal del primario. (V_{1n})

(A) " la corriente de vacío

(W) " " " potencia en vacío

Brazo excitación paralelo. $G_0 B_0$.



la potencia activa consumida por el circuito paralelo.

$$P_0 = I_{0w} \cdot V_{1n} = (V_{1n} G_0) V_{1n}$$

$$G_0 = P_0 / V_{1n}^2 \quad \text{Siemens.}$$

$$Y_0 = I_0 / V_{1n} \quad (\text{S})$$

$$B_0 = \sqrt{Y_0^2 - G_0^2} \quad (\text{Siemens})$$

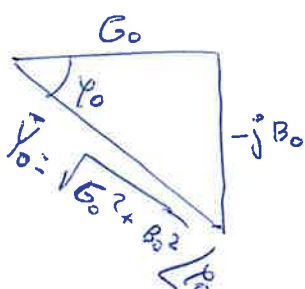
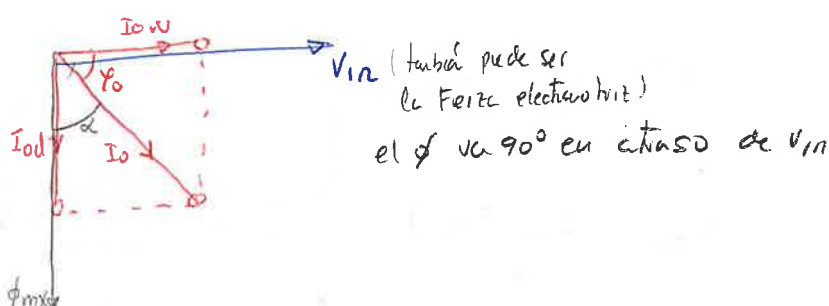


diagrama vectorial

$$\cos \varphi_0 = \frac{P_0}{S_0} = \frac{V_{1n} I_0 \cos \varphi_0}{V_{1n} I_0}$$

$$\cos \varphi_0 = \frac{P_0}{V_{1n} I_0}$$

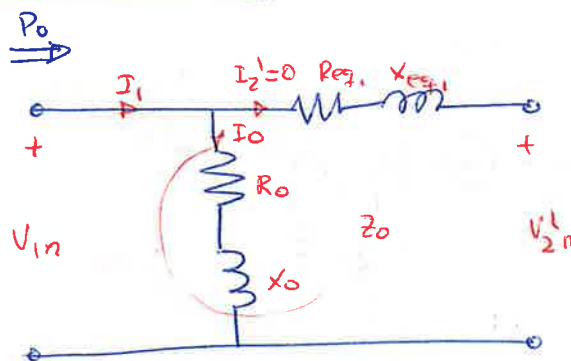
diagrama vectorial



BRAZO SE EXCITACIÓN SERIE R L.

aquí tiene el mismo
fig. (L)

fig (L) \Rightarrow



$$I_1 = I_0 \quad I_2^L = 0$$

$$P_0 = R_0 I_0^2$$

$$R_0 = \frac{P_0}{I_0^2}$$

$$Z_0 = \frac{V_{1n}}{I_0}$$

$$X_0 = \sqrt{Z_0^2 - R_0^2}$$

$$\cos \varphi_0 = \frac{P_0}{V_{1n} I_0}$$

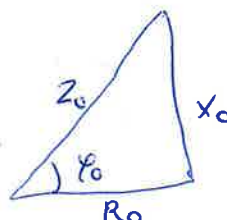
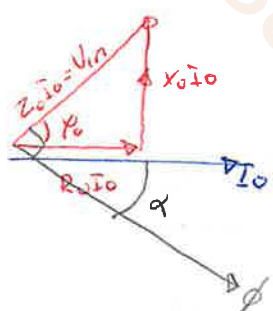


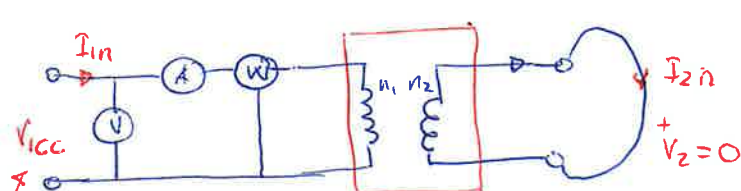
Diagrama vectorial.

el ϕ tiene que ir 90° en anteaos con la dir. de potencia aplicada.



AHORA ENSAYO EN CORTOCIRCUITO.

el montaje es idéntico a la fig. (L) pero el secundario puesto en cortocircuito

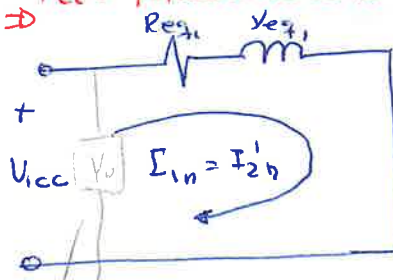


La máquina está trabajando con valores nominales de corriente.

Tensión de corto del primario

se puede poner reducida

$P_{cc} =$ potencia de corto consumida



$$P_{cc} = R_{eq1} I_1^2 n$$

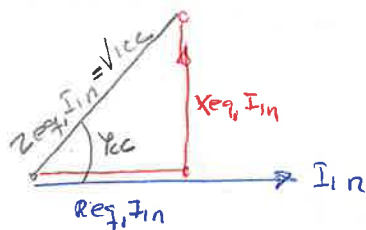
$$R_{eq1} = \frac{P_{cc}}{I_1^2 n}$$

$$Z_{eq1} = \frac{V_{1cc}}{I_1 n}$$

cuando esta en corto X_0 se desprecia porque el $\phi_m \approx 0 \Rightarrow$ el brinco de excitación se despega.

Diagrama vectorial de ensayo en corto.

$$X_{eq,1} = \sqrt{Z_{eq,1}^2 - R_{eq,1}^2}$$



según los
aparatos de
medidas

$$\cos \phi_{cc} = \frac{P_{cc}}{V_{icc} I_{in}}$$

Como en el secundario del transfr. es $\bar{E}_2 = \bar{V}_2 + \bar{Z}_2 \bar{I}_2$ y como \bar{V}_2 esta
en corto $\Rightarrow \bar{E}_2 = \bar{Z}_2 \bar{I}_2$ $E_2 = Z_2 I_2$ la caída $Z_2 I_2 \approx 0$. $\Rightarrow \boxed{E_2 \approx 0}$

$$E_2 = \frac{2n}{V_2} f \Phi_{max} n_2 \approx 0$$

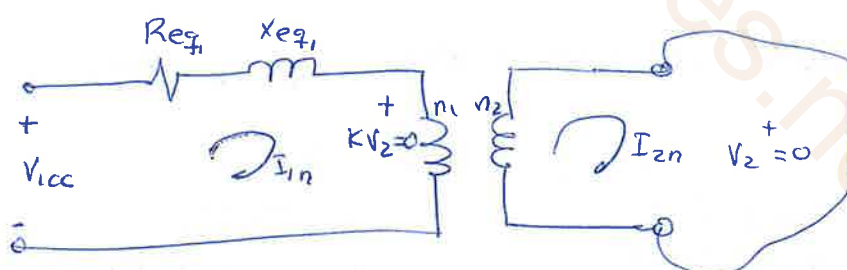
no siendo nulo el n.º de espiras ni la frecuencia, pero $\Phi_{max} \approx 0$.

- con el ensayo en vacío se mide las perdidas del hierro.
- " " " " en corto " " " " del Factor L.

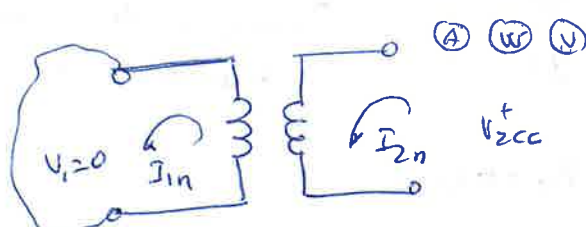
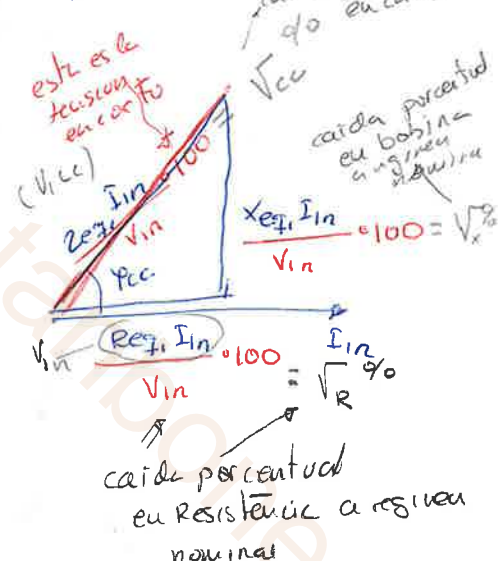
TENSÓN DE CORTOCIRCUITO.

V_n valor nominal.

V_n es la tensión máxima permitida para que
no se estropee el transformador



multiplica todos los lados del triángulo $\times \frac{100}{V_{in}}$



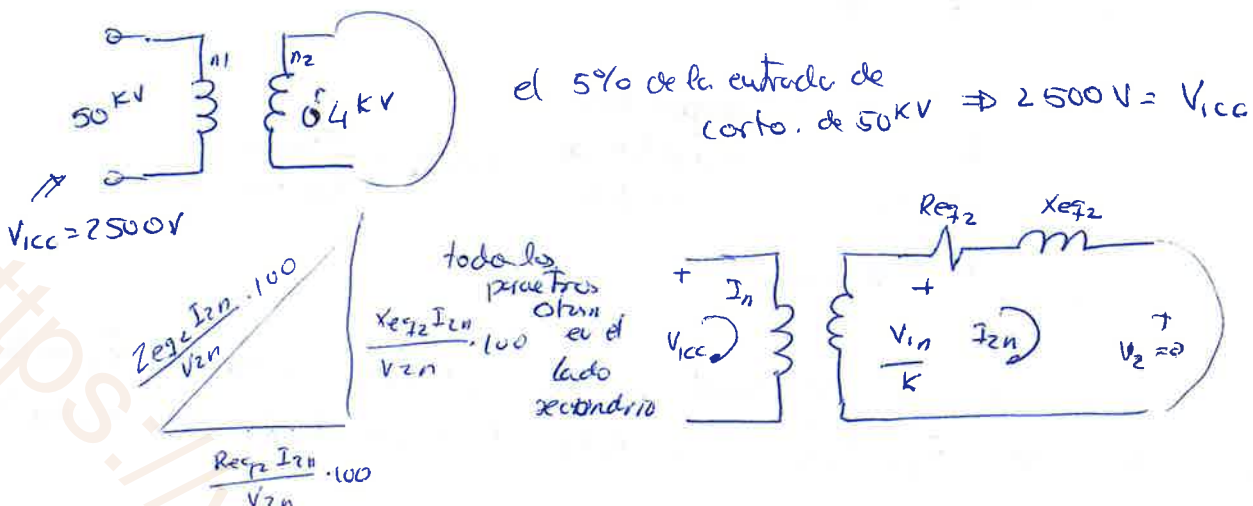
la tensión de corto es $R_{eq,1}$
mismo pero en este caso es el debanado
primario. (es mejor ponerlo en el primario que en
el secundario)

$$K = \frac{n_1}{n_2}$$

$$V_{cc} \% = \frac{Z_{eq,1} I_{in}}{V_{in}} \cdot 100 = \frac{Z_{eq,1} \left[\frac{I_{2n}}{K} \right]}{V_{2n}} \cdot 100 = \frac{Z_{eq,2} \cdot I_{2n}}{V_{2n}} \cdot 100 \Rightarrow$$

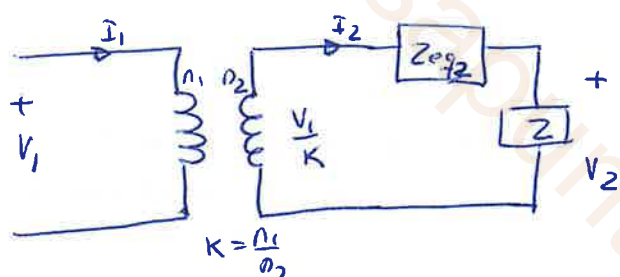
$$\boxed{V_{cc} \% = V_{in} \% = V_{2n} \%}$$

5% 50.000 V / 400 V corto circuitado en el primario

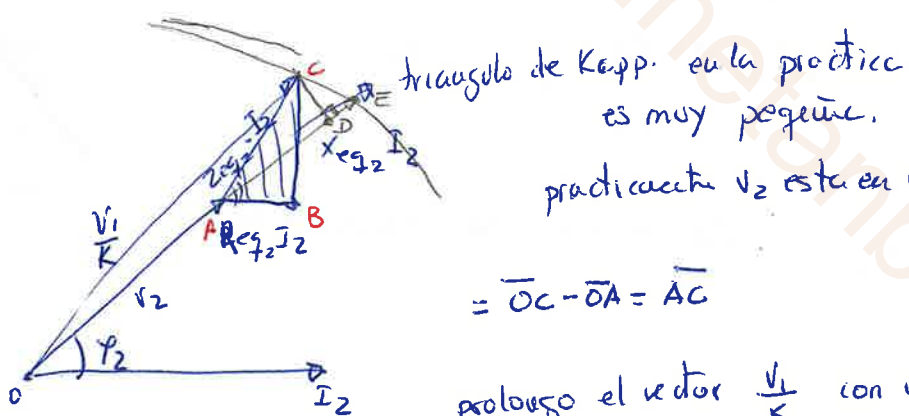


DETERMINACION DE LA RENDIDA DE TENSION PARA UN TRANSFORMADOR

transf. con todos los parámetros reducido al lado secundario.



$$\text{rendida interna aparente del transformador } \frac{V_1}{K} - V_2 = Z_{eq2} \cdot I_2$$



$$= \overline{OC} - \overline{OA} = \overline{AC}$$

prolongo el vector $\frac{V_1}{K}$ con un arco y lo pongo en linea con V_2 y trazo des de C una \perp

$$\frac{V_1}{K} - V_2 = \overline{OE} - \overline{OA} \approx \overline{OD} - \overline{OA} = \overline{AD}$$

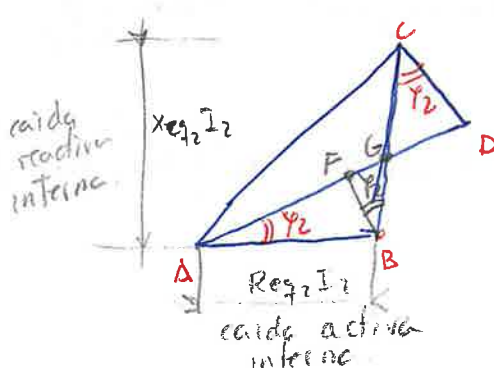
$$= \overline{AD} = \overline{AF} + \overline{FG} + \overline{GD}$$

trazo des de el punto B una \perp a \overline{AD}

$$\overline{AD} = \overline{AB} \cos \varphi_2 + \overline{BG} \sin \varphi_2 + \overline{GC} \sin \varphi_2$$

$$\overline{AD} = \overline{AB} \cos \varphi_2 + \overline{BC} \sin \varphi_2$$

$$\overline{AD} = R_{eq2} I_2 \cos \varphi_2 + X_{eq2} I_2 \sin \varphi_2 = \text{rendida de tensión}$$



caída de tensión
en tanto por ciento
(en el transformador)

$$\epsilon\% = \frac{\frac{V_1}{K} - V_2}{\frac{V_1}{K}} \cdot 100 = \frac{R_{eq2} I_2 \cos \varphi_2 + X_{eq2} I_2 \sin \varphi_2}{\frac{V_1}{K}} \cdot 100$$

$$\epsilon\% = \frac{R_{eq2} I_2}{\frac{V_1}{K}} \cdot 100 \cos \varphi_2 + \frac{X_{eq2} I_2}{\frac{V_1}{K}} \cdot 100 \sin \varphi_2$$

caída porcentual
resistencia $V_R\%$

$V_x\%$ caída porcentual en
reactancia.

$$\epsilon\% = V_R\% \cos \varphi_2 + V_x\% \sin \varphi_2.$$

$$\text{caída de tensión en resist. relativa} \rightarrow V_R\% = \frac{R_{eq2} I_2}{\frac{V_1}{K}} \cdot 100$$

$$V_x\% = \frac{X_{eq2} I_2}{\frac{V_1}{K}} \cdot 100.$$

Regulación

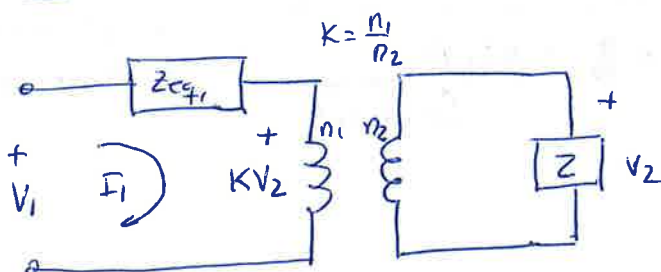
$$\text{Reg. } \% = \frac{\frac{V_1}{K} - V_2}{V_2} \cdot 100 = V_R\% \cos \varphi_2 + V_x\% \sin \varphi_2.$$

regulación en porcentaje

$$\text{caída activa } V_R\% = \frac{R_{eq2} I_2}{V_2} \cdot 100$$

$$\text{caída reactiva } V_x\% = \frac{X_{eq2} I_2}{V_2} \cdot 100$$

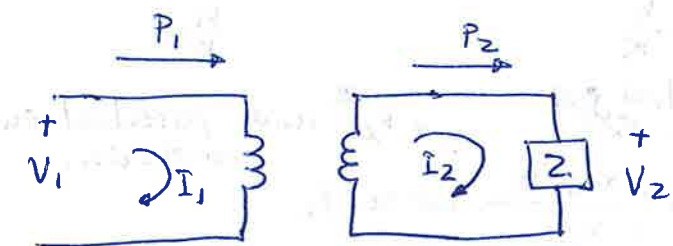
Ahora en el lado primario.



$$\epsilon\% = \frac{V_1 - KV_2}{V_1} \cdot 100$$

$$\text{Reg. } \% = \frac{V_1 - KV_2}{KV_2} \cdot 100$$

Rendimiento del transformador.



$$\eta = \frac{P_2}{P_1} = \frac{\text{potencia activa de salida}}{\text{potencia activa de entrada}}$$

$$= \frac{P_2}{P_2 + \text{perdidas (perdida en el hierro y perdidas en el cobre)}} =$$

$$\eta \% = \frac{P_2}{P_2 + P_{Cu} + P_{Fer}} \cdot 100$$

rendimiento del transformador

P_{Fer} $\xrightarrow{\text{perdida en hierro}}$ Ensayo Vacío. - $P_{ter} = \text{cte}$ ya que $V_1 = \text{cte}$

$$P_{Cu} \xrightarrow{\text{perdida en cobre}} \approx P_{Cu} = R_1 I_1^2 + R_2 I_2^2 = R_{eq1} I_1^2 = R_{eq2} I_2^2$$

factor de sobre carga.

$$K_{ch} = \frac{I_1}{I_{1n}} = \frac{I_2}{I_{2n}}$$

$$K_{ch} = \frac{V_{1n} I_1}{V_{1n} I_{1n}} = \frac{S}{S_n} = \frac{\text{potencia aparente}}{\text{potencia nominal aparente}}$$

$$K_{ch} = \frac{V_{2n} I_2}{V_{2n} I_{2n}}$$

$$\eta \% = \frac{K_{ch} S_n \cos \varphi_2}{K_{ch} S_n \cos \varphi_2 + P_{ter} + K_{ch}^2 P_{Cu,nominal}} \cdot 100.$$

rendimiento del transformador mas acoplado.

$$P_{Cu,n} = R_{eq1} I_{1n}^2 = R_{eq2} I_{2n}^2$$

$$P_{Cu} = K_{ch}^2 P_{Cu,n}$$

PROBLEMA 28.45. PARKER. (de regulación)

Perd. ohmica = 1% de S_2

caída reactancia = 5% de V_2

a) 0'8 ind. soluciones (3'8%)

b) 1 " (1%)

c) 0'8 cap. " (-2,2%)

$$\text{coef. de regulación} \quad R_{\text{eq}} \% = \frac{R_{\text{eq}} I_2}{V_2} \cdot 100 \cos \varphi_2 + \frac{X_{\text{eq}} I_2}{V_2} \cdot 100 \sin \varphi_2 \quad (1)$$

$$\text{perdida ohmica} \quad R_{\text{eq}} I_2^2 = \frac{1}{100} S_2 = \frac{1}{100} \cdot V_2 I_2 \quad \boxed{R_{\text{eq}} I_2 = \frac{1}{100} V_2} \quad (2)$$

$$X_{\text{eq}} I_2 = \frac{5}{100} V_2 \quad \text{caída de reactancia,} \quad (3)$$

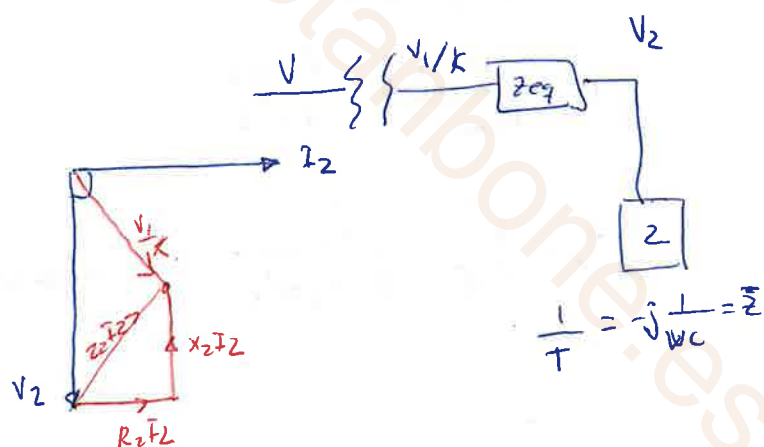
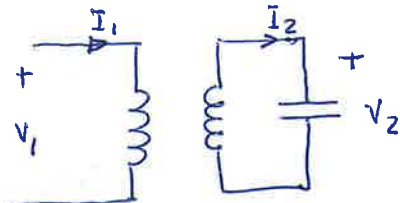
sustituyéndole en (1) la ecuación (2) y (3)

$$\text{a) 0'8 ind.} \quad \boxed{R_{\text{eq}} \% = \cos \varphi_2 + 5 \underbrace{\sin \varphi_2}_{0\%} = 0'8 + 3 = 3'8\%}$$

$$\text{b) } \cos \varphi_2 = 1 \quad \boxed{R_{\text{eq}} \% = \cos \varphi_2 + 5 \sin \varphi_2 = 1 + 0 = 1\%}$$

$$\text{c) } \cos \varphi_2 = 0'8 \text{ cap.} \quad \boxed{R_{\text{eq}} \% = \cos \varphi_2 + 5 \sin \varphi_2 = 0'8 - (5) \cdot 0'6 = -2'2\%}$$

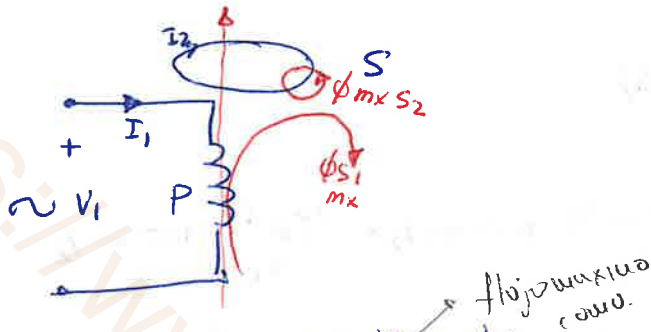
↑
como es capacitivo y es el circuito serie RC.



TRANSFORMADORES ESPECIALES.

ESPIRA DE FRAGER.

- el secundario está en corto
- el circuito magnético es el aire.
- la dispersión magnética es fuerte. es muy grande



flote total, redondo de la espira
de la bobina 2 +

$$\Phi_{t2} = \Phi_{mx} + \Phi_{m \times s2}$$

ecuación compleja

Ecuaciones para valores instantáneos.

$$\Phi_{t2} = \Phi + \Phi_{s2}$$

$$-\frac{d\Phi_{t2}}{dt} = -\frac{d\Phi}{dt} - \frac{d\Phi_{s2}}{dt}$$

$$e_{t2} = e_2 + e_{s2}$$

$$\bar{I}_2 = \frac{\sum \bar{E}}{\sum Z} = \frac{\bar{E}_{t2}}{R} = \frac{\bar{E}_2 + \bar{E}_{s2}}{R}$$

$$\bar{E}_2 = R \bar{I}_2 - \bar{E}_{s2}$$

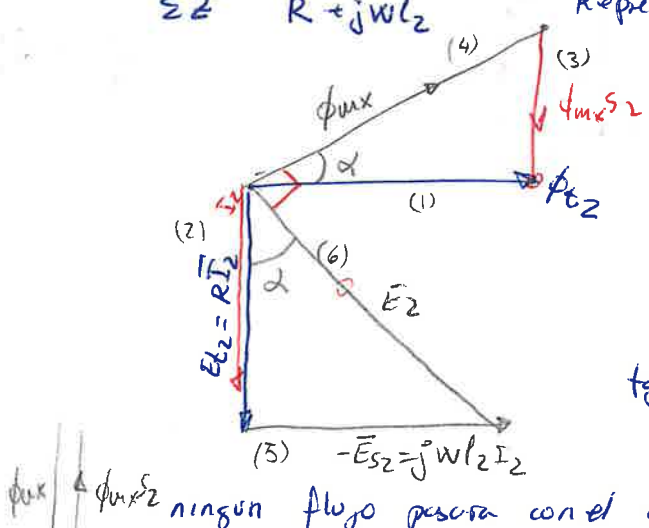
$$\boxed{\bar{E}_2 = (R + j \omega l_2) \bar{I}_2}$$

$$-\bar{E}_{s2} = j \omega l_2 \bar{I}_2$$

$$I_2 = \frac{n_2 \Phi_{m \times s2}}{l_2 \sqrt{2}} = \frac{\Phi_{m \times s2}}{l_2 \sqrt{2}}$$

$$\bar{I}_2 = \frac{\sum \bar{E}}{\sum Z} = \frac{\bar{E}_2}{R + j \omega l_2}$$

Representación



\bar{E}_{t2} está en atraso 90° del \bar{E}_2 y antikorriente.
el flujo de dispersión Φ_{s2} se pone con la corriente I_2

\bar{E}_{s2} va en adelante 90° con la I_2

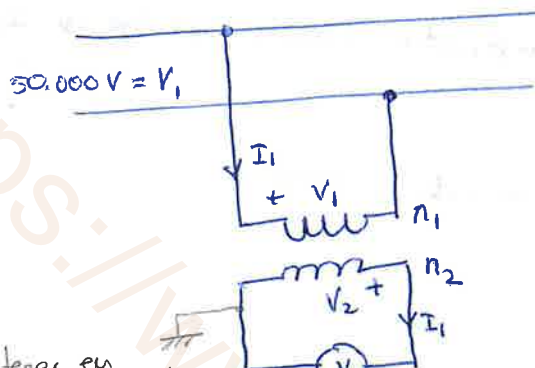
el vector (4) y (6) están en atraso 90° con el \bar{E}_2 .
 $tg \alpha = \frac{\omega l_2}{R} \quad \left. \right\} R=0 \Rightarrow \alpha=90^\circ$

ningún flujo pasa por el espira cuando la resist. es = 0. y el \bar{E}_{t2} desaparece

- TRANSFOR. DE MEDIDAS (dentro de los transf. espaciales)

a) transf. de tensión.

Suponer una red de alta tensión y queremos hacer la medida. (se mide a través de un transformador).



Hay que tener en cuenta las características del transf para poder colgar los apagafuegos sin estropear el transf.

$$\begin{aligned} V_1 &= -E_1 \\ V_2 &= E_2 \end{aligned} \quad \left\{ \frac{V_1}{V_2} = \frac{-E_1}{E_2} = -K \rightarrow V_1 = -KV_2 \right.$$

$$\begin{aligned} \bar{V}_1 &= -\bar{E}_1 + \bar{Z}_1 I_1 \Rightarrow V_1 = -E_1 I_1 \text{ y } I_2 \text{ son corriente muy bajas se pueden despreciar} \\ V_2 &= \bar{E}_2 - \bar{Z}_2 I_2 \Rightarrow V_2 = E_2 \end{aligned}$$

$\uparrow \sim 0 \quad \uparrow \sim 0 \quad K = \frac{n_1}{n_2} \text{ en la pract. } n_1 > n_2$

en el secundario del transf. siempre será 100V.

Ejemplo vamos a tomar un transf. $K = \frac{50000 \text{ V}}{100 \text{ V}}$ entonces si el voltímetro mide 100V entonces en la red tenemos 50000V.

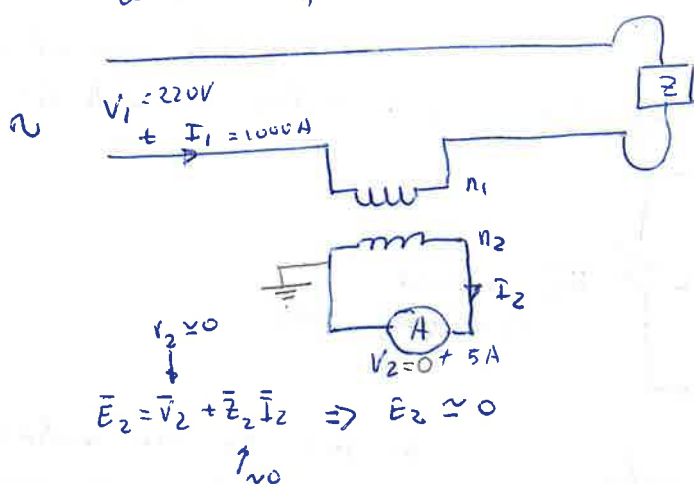
$$V_1 = \frac{50000}{100} V_2$$

$$V_1 = \frac{50000}{100} \cdot 50 = 25000 \text{ V}$$

si la tensión en el voltímetro es 50V entonces la tensión en la red es de 25000V.

- para evitar la descarga siempre se conecta a tierra.

b) transf. de intensidad. tiene su debajo primario conectado a la red. donde se quiere medir la corriente.



Amperímetro: es un aparato de baja impedancia entonces en el secundario se encuentra práct. en corto $\Rightarrow \bar{V}_L = 0$

y nota

$$E_2 = 4'44 f \phi_m \times n_2 \approx 0 \text{ no siendo nula ni } n_2 \text{ pero } \phi_{max} \approx 0$$

y si $\phi_{max} \approx 0$ entonces se puede poner de la siguiente manera $\frac{\phi_{max} = 0}{I_0 \approx 0}$

$$n_1 \bar{I}_1 + n_2 \bar{I}_2 = n_1 I_0 \Rightarrow n_1 \bar{I}_1 + n_2 \bar{I}_2 = 0 \quad \bar{I}_1 = -\frac{n_2 \bar{I}_2}{n_1} = -\frac{I_2}{n_1/n_2} = -\frac{I_2}{K}$$

$$K = \frac{n_1}{n_2}$$

$$I_1 = -\frac{I_2}{K} = -I_2 K_a$$

$$\boxed{I_1 = -I_2 K_a}$$

$$K_a = \frac{1}{K}$$

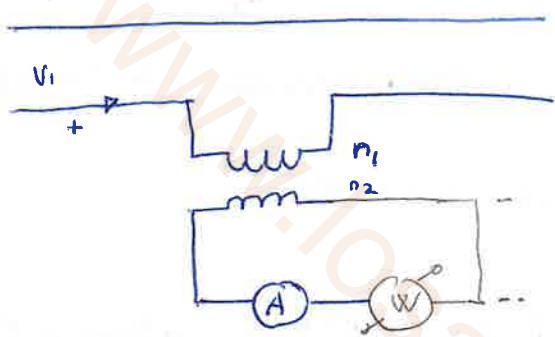
K amperimétrica.

$$K_a = \frac{I_1}{I_2}$$

$$K_a = \frac{1000 A}{5 A}$$

$$I_1 = -I_2 \frac{1000 A}{5 A} \quad \text{si por el amperímetro circula } I_2 = 5 A \Rightarrow I_1 = 100 A \text{ en el principio.}$$

En el caso de alta tensión también se conecta a tierra.

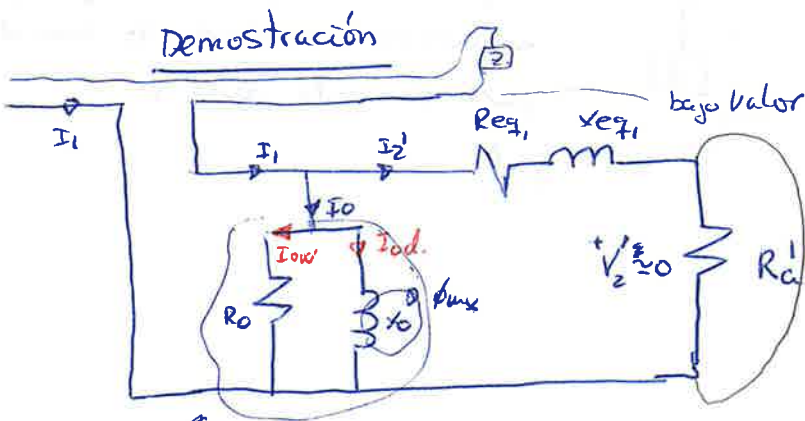


Si conectamos muchos aparatos amperimétricos en serie se va separando el resguardo de corto para hacerse el resguardo de vacío y se puede quemarse y electrocutarse alguien.

ya que si sumamos las caídas de impedancia de cada aparato \Rightarrow supone ya que están en serie una impedancia mayor.

- si quitamos los aparatos debemos de puentear el secundario ya que entonces se estropearía el transformador (en el caso de medir intensidad)
- al conmutar del anterior que tiene que estar abierto del transf. de tensión.

Demostración



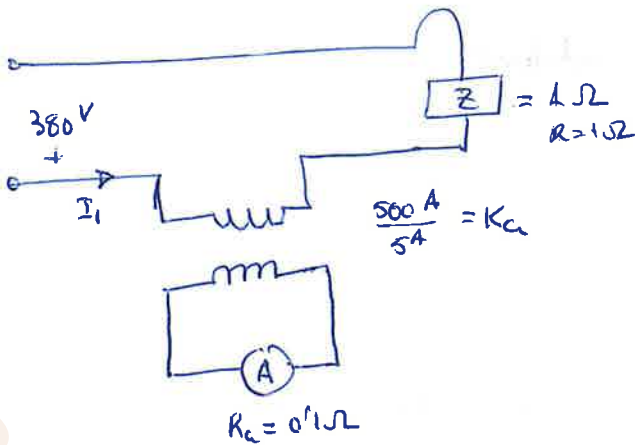
tuerce valor
circuito equiv. del transf.

la activa es la goma al transf.
y la reactiva la centralita.

R_a' o resist
es muy bajo. valor

si quit. R_a sin puentearlo todo
la caída de tensión se queda en R_0
y se calienta y se quema el transf.

Ejemplo



$$I_1 = \frac{V_1}{R + R'_a} = \frac{V_1}{R + K^2 R_a} = \frac{V_1}{R + \left[\frac{1}{K_a}\right]^2 R_a} = \frac{380}{1 + \left[\frac{1}{100}\right]^2 0.1} = 380A.$$

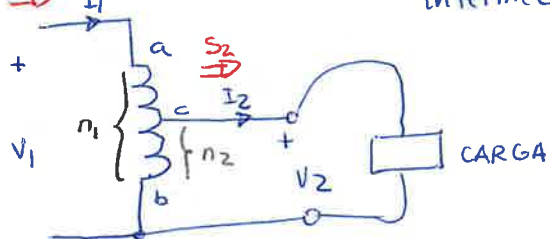
si quitamos el -@ sin puentearlo \Rightarrow

$$V_2 = \frac{V_1}{K} = K_a V_1 = \frac{500}{5} V_1 = 100 V_1 = (100) / 380 = 38000V \approx \text{tensión de traust.}$$

AUTOTRANSFORMADOR HOMOGENEO

Se puede considerar como una bobina enrollada sobre un núcleo ferromagnético y que tiene una toma intermedia.

transformador reductor, al conectarlo en la toma intermedia.



Suponemos q es un traust. ideal. $\Rightarrow S_1 = S_2$

$P_{Fer} = 0$ perdidas en el hierro = 0

$P_{Cu} = 0$ " " " cobre = 0

$I_0 = 0$ corriente de vacío = 0

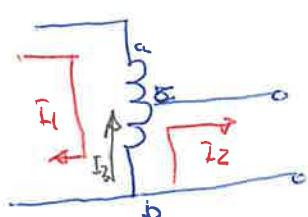
$$V_1 = E_1$$

$$V_2 = E_2$$

$$K = \frac{n_1}{n_2} = \frac{E_1}{E_2} = \frac{V_1}{V_2}$$

$S_1 = S_2$ pot. aparente primario igual pot. aparente secund. $V_1 I_1 = V_2 I_2$ por ser un traust. ideal.

estas corrientes están en oposición



$$I_3 = I_2 - I_1$$

en el debanado a-c $(n_1 - n_2) I_1$

" " " debanado c-b $(n_2 I_3)$ \Rightarrow

$$\begin{aligned} (n_1 - n_2) I_1 &= n_2 I_3 \\ (n_1 - n_2) I_1 &= n_2 (I_2 - I_1) \end{aligned} \quad \left\{ \begin{array}{l} n_1 I_1 = n_2 I_2 \\ n_1 I_1 = n_2 I_3 \end{array} \right.$$

autotransf. es una maquina mas economico q el transformador

$$S = S_1 = S_2 \quad \text{pot. aparente autotransf.}$$

$$S = V_2 I_2$$

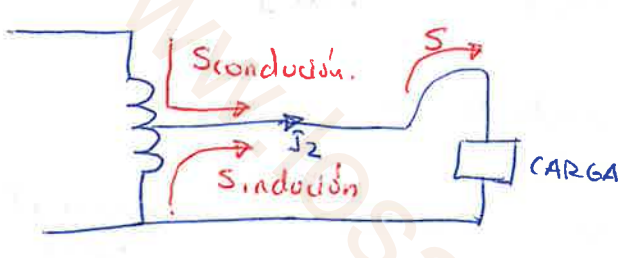
$$S = V_2 I_2 + V_2 I_1 - V_2 I_1$$

$$S = \frac{V_2 (I_2 - I_1)}{\downarrow} + \frac{V_2 I_1}{\downarrow}$$

$$S = S_{\text{ind.}} + S_{\text{conducción o enlace galvánico}}$$

potencia aparente de inducción

potencia aparente

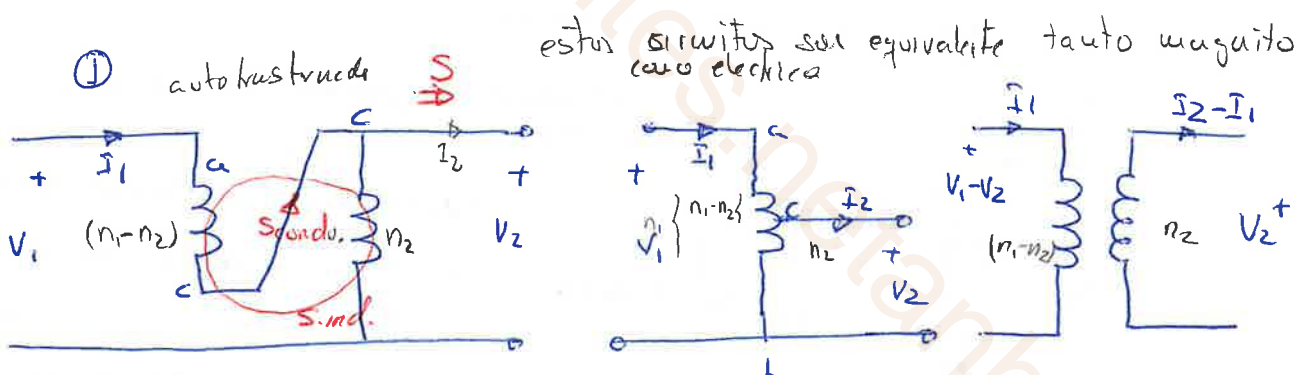


$$\frac{S_{\text{ind.}}}{S} = \frac{V_2 (I_2 - I_1)}{V_2 I_2} = 1 - \frac{I_1}{I_2} = 1 - \frac{1}{K} = \frac{K-1}{K}$$

$$\frac{S_{\text{cond.}}}{S} = \frac{V_2 I_1}{V_2 I_2} = \frac{I_1}{I_2} = \frac{1}{K}$$

COMPARACIÓN DEL TRANSF. Y AUTO TRANSF.

Las dens. magnét. y los dens. eléctricos son iguales.



considero circuito ① al ser transf. ideales los $\Rightarrow S_1 = S_2$

$$S = V_1 I_1 = V_2 I_2$$

$$S_{\text{transf.}} = (V_1 - V_2) I_1 = (I_2 - I_1) V_2$$

$$\frac{S_{\text{transf.}}}{S} = \frac{(I_2 - I_1) V_2}{V_2 I_2} = \frac{I_2 - I_1}{I_2} = 1 - \frac{1}{K} = \frac{K-1}{K} = \frac{S_{\text{ind.}}}{S}$$

OS CONVERTIR EL TRANSFOR NORMAL EN UNO DE TENSION INTERMEDIA.

